
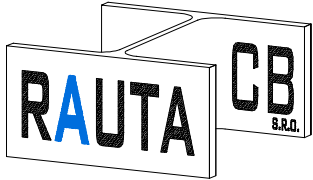


Vedoucí projektant	Odp. projektant	Vypracoval	Kreslil
Ing. Filip DUDA	Ing. Jan BUDIL	Ing. Jan BUDIL	Ing. Jan BUDIL
			
Investor	POVODÍ VLTAVY, státní podnik, Holečkova 8, 150 24 Praha 5		
Objednavatel	DudaProjekt, s.r.o., Vrbenská 197/23, 370 01 České Budějovice		
Místo stavby	Hněvkovice		
Akce: <b>VD HNĚVKOVICE-ROZŠÍŘENÍ PROVOZNÍ BUDOVY</b>			
Výkres: <b>STATICKÝ VÝPOČET</b>			



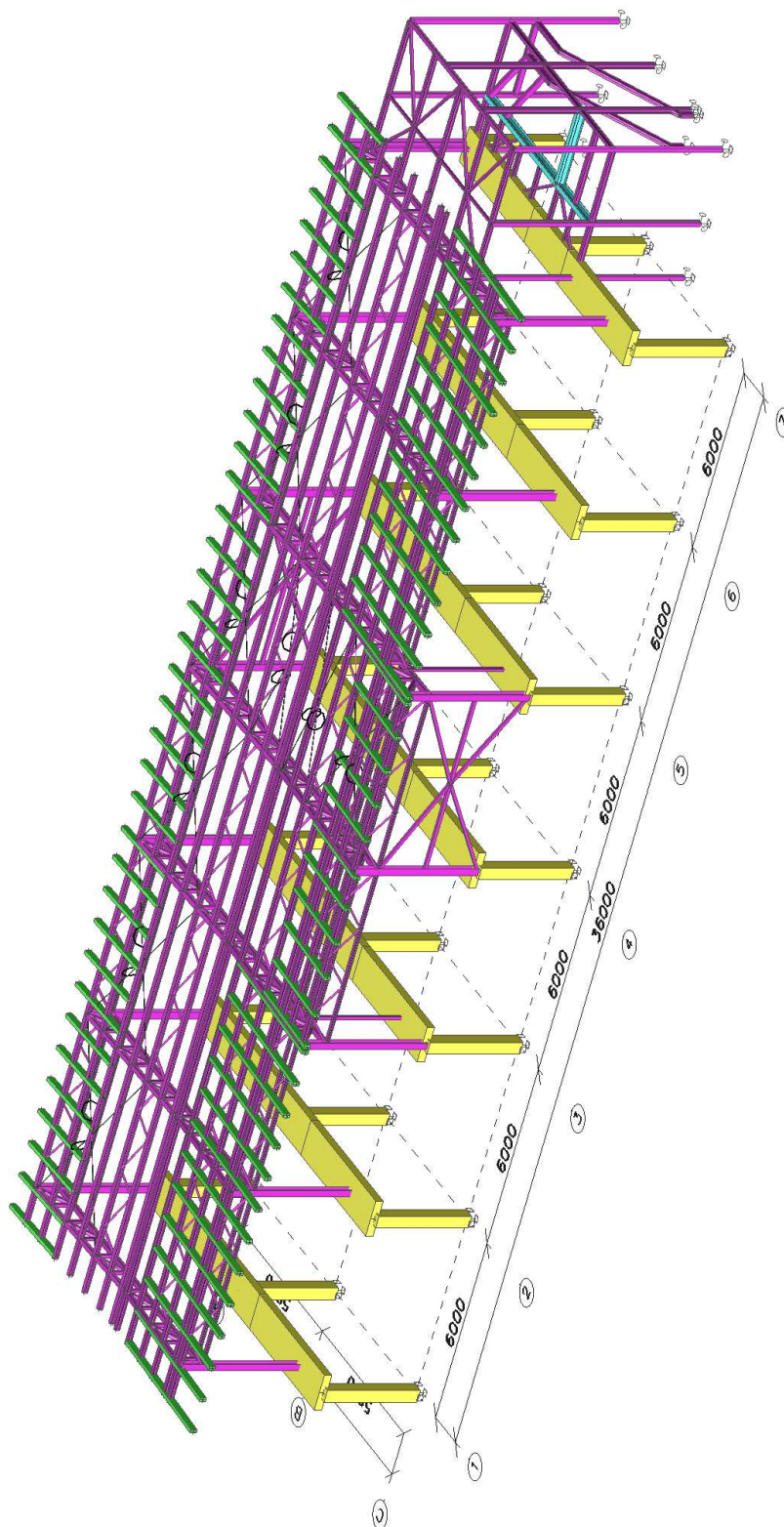
Dobrovodská 2054/53a, 370 06 České Budějovice  
tel. +420 602 536 426, budil@jbstatika.cz, www.rautacb.cz

Formát	<b>81x A4</b>	Paré:
Datum:	<b>12/2019</b>	
Stupeň:	<b>DPS</b>	
Měřítko:	<b>-</b>	
Č. zakázky:	<b>Z-19_061</b>	
Číslo výkresu: <b>D.1.2.1.B01</b>		Revize: <b>-</b>

## 1. Obsah

1. Obsah	1
2. Konstrukční model	2
3. POPIS KONSTRUKČNÍHO SYSTÉMU	3
4. Materiály	3
5. Průřezy	3
6. Zatěžovací stavy	19
7. Zatížení	20
8. Skupiny zatížení	22
9. Kombinace	22
10. Klíč kombinace	23
11. PŘÍČNÉ VAZBY	25
11.1. Popis prutů	25
11.2. Prvky	26
11.3. Posudek ocelových prvků na MSÚ EC-EN 1993	26
11.4. Vnitřní síly na prutu	28
11.5. Požární odolnost ocelových prvků EC-EN 1993 - 15 minut	32
11.6. Deformace na prutu; uz	35
12. Vaznice + pohled	36
12.1. Prvky	36
12.2. Posudek ocelových prvků na MSÚ EC-EN 1993	38
12.3. Vnitřní síly na prutu	38
12.4. Požární odolnost ocelových prvků EC-EN 1993 - 15 minut	51
12.5. Relativní deformace	52
13. ZTUŽENÍ	53
13.1. Popis prutů	53
13.2. Prvky	54
13.3. Posudek ocelových prvků na MSÚ EC-EN 1993	56
13.4. Vnitřní síly na prutu	56
13.5. Požární odolnost ocelových prvků EC-EN 1993 - 15 minut	62
14. Krokve	63
14.1. Popis prutů	63
14.2. Prvky	64
14.3. Posudek dřeva podle MSÚ	65
15. Přístavba	67
15.1. Popis prutů	67
15.2. Prvky	68
15.3. Posudek ocelových prvků na MSÚ EC-EN 1993	68
15.4. Požární odolnost ocelových prvků EC-EN 1993 - 15 minut	70
16. REAKCE	72
16.1. Popis podpor	72
16.2. Podpory v uzlech	73
16.3. Reakce	73
17. KOTVENÍ	74
18. ZÁKLAD - PŘÍSTAVBA	78
19. Závěr	81

## 2. Konstrukční model



### 3. POPIS KONSTRUKČNÍHO SYSTÉMU

#### 1.NP:

Základy : žlb. patky (stávající)

1.NP : Prefa systém MS-71 (stávající)

#### 2.NP:

Sloupy : válcované, kloubově kotvené

Střecha : příhradový vazník - rámový

Ztužení : svislé ztužení v podélných stěnách, zavětování v rovině střechy, systém rozpěr

Vaznice + podhled: válcované, prosté nosníky

#### Přístavba:

Sloupy : válcované, kloubově kotvené

Střecha : válcované, kloubově kotvené

Podesta: válcované průvlaky + stropnice, plechobetonová deska

Schodiště: válcované schodnice + plechobetonová deska s nabetonovanými stupni

Ztužení : zavětování v rovině střechy, systém rozpěr

### 4. Materiály

Ocel EC3

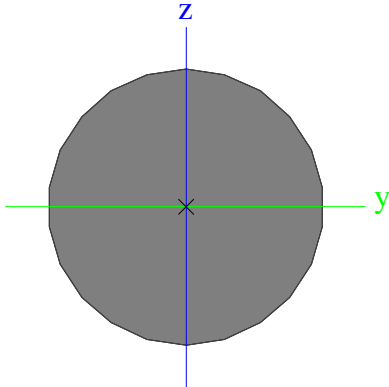
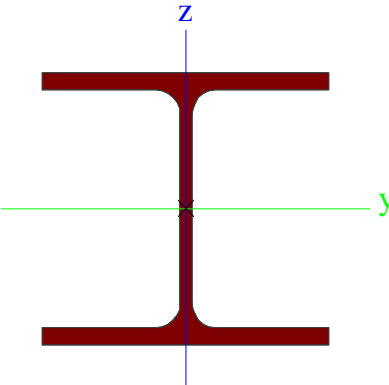
Jméno	Jednotková hmotnost [kg/m <sup>3</sup> ]	E [MPa] G [MPa]	Poisson - nu Tep.roztaž. [m/mK]	Dolní mez [mm]	Horní mez [mm]	Fy (rozsah) [MPa]	Fu (rozsah) [MPa]
S 235	7850,0	2,1000e+05 8,0769e+04	0.3 0,00	0 40	40 80	235,0 215,0	360,0 360,0
S 355	7850,0	2,1000e+05 8,0769e+04	0.3 0,00	0 40	40 80	355,0 335,0	490,0 470,0

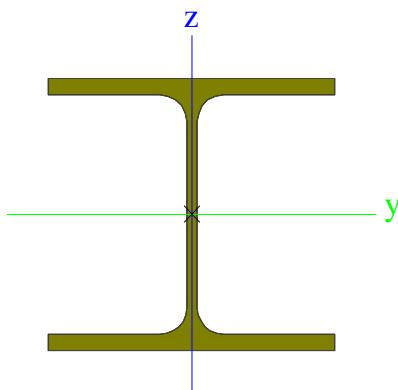
Timber EC5

Jméno	Jednotková hmotnost [kg/m <sup>3</sup> ]	E [MPa] Poisson - nu	Tep.roztaž. [m/mK]	Ohyb (fm,k) [MPa] Tah (ft,0,k) [MPa]	Tlak (fc,0,k) [MPa] Tlak (fc,90,k) [MPa]
Typ					
Typ dřeva		G [MPa]		Tah (ft,90,k) [MPa]	Smyk (fv,k) [MPa]
GL24h	380,0	1,1600e+04	0,00	24,0	24,0
Dřevo		0		16,5	2,7
Lepené, laminované		7,2000e+02		0,4	2,7

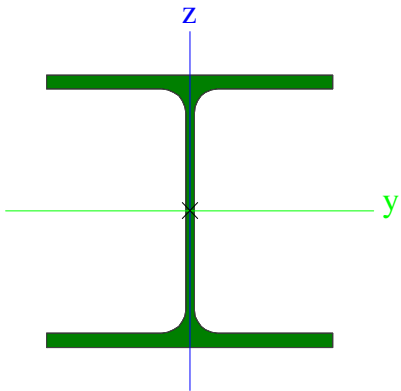
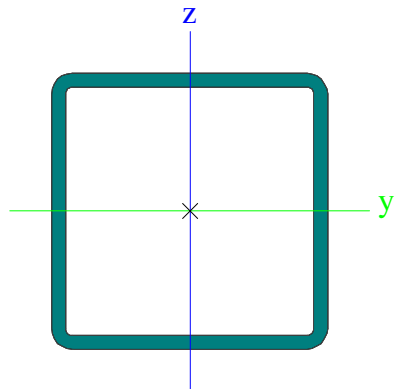
### 5. Průřezy

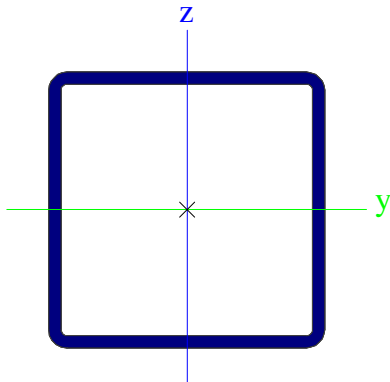
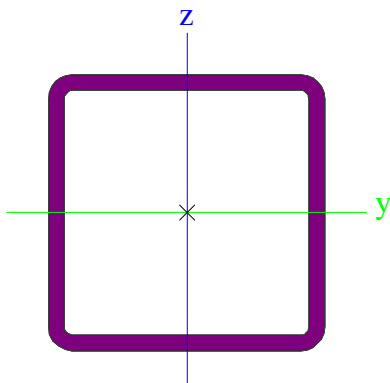
CS1		
Typ	RD16	
Kód tvaru	11 - Plný kruhový průřez	
Typ tvaru	Tlustostěnný	
Materiál	S 235	
Výroba	válcovaný	
Posudek rovinného vzpěru y-y, Posudek rovinného vzpěru z-z	c	c
A [m <sup>2</sup> ]	2,0096e-04	
A <sub>y</sub> [m <sup>2</sup> ], A <sub>z</sub> [m <sup>2</sup> ]	1,8047e-04	1,8047e-04
A <sub>L</sub> [m <sup>2</sup> /m], A <sub>D</sub> [m <sup>2</sup> /m]	5,0133e-02	5,0263e-02
C <sub>y,UCS</sub> [mm], C <sub>z,UCS</sub> [mm]	8	8
α [deg]	0,00	
I <sub>y</sub> [m <sup>4</sup> ], I <sub>z</sub> [m <sup>4</sup> ]	3,1496e-09	3,1496e-09
i <sub>y</sub> [mm], i <sub>z</sub> [mm]	4	4
W <sub>el,y</sub> [m <sup>3</sup> ], W <sub>el,z</sub> [m <sup>3</sup> ]	3,9370e-07	3,9370e-07

<div>W<sub>pl.y</sub> [m<sup>3</sup>], W<sub>pl.z</sub> [m<sup>3</sup>] M<sub>pl.y.+</sub> [Nm], M<sub>pl.y.-</sub> [Nm] M<sub>pl.z.+</sub> [Nm], M<sub>pl.z.-</sub> [Nm] d<sub>y</sub> [mm], d<sub>z</sub> [mm] I<sub>t</sub> [m<sup>4</sup>], I<sub>w</sub> [m<sup>6</sup>] β<sub>y</sub> [mm], β<sub>z</sub> [mm] Obrázek</div>	<div>6,7190e-07 1,60e+02 1,60e+02 0 6,4452e-09 0</div>	<div>6,7190e-07 1,60e+02 1,60e+02 0 1,0235e-23 0</div>
<div></div>		
CS2		
<div>Typ Kód tvaru Typ tvaru Materiál Výroba Posudek rovinného vzpěru y-y, Posudek rovinného vzpěru z-z A [m<sup>2</sup>] A<sub>y</sub> [m<sup>2</sup>], A<sub>z</sub> [m<sup>2</sup>] A<sub>L</sub> [m<sup>2</sup>/m], A<sub>D</sub> [m<sup>2</sup>/m] C<sub>y,UCS</sub> [mm], C<sub>z,UCS</sub> [mm] α [deg] I<sub>y</sub> [m<sup>4</sup>], I<sub>z</sub> [m<sup>4</sup>] i<sub>y</sub> [mm], i<sub>z</sub> [mm] W<sub>el.y</sub> [m<sup>3</sup>], W<sub>el.z</sub> [m<sup>3</sup>] W<sub>pl.y</sub> [m<sup>3</sup>], W<sub>pl.z</sub> [m<sup>3</sup>] M<sub>pl.y.+</sub> [Nm], M<sub>pl.y.-</sub> [Nm] M<sub>pl.z.+</sub> [Nm], M<sub>pl.z.-</sub> [Nm] d<sub>y</sub> [mm], d<sub>z</sub> [mm] I<sub>t</sub> [m<sup>4</sup>], I<sub>w</sub> [m<sup>6</sup>] β<sub>y</sub> [mm], β<sub>z</sub> [mm] Obrázek</div>	<div>HEA140 1 - I průřez Tenkostěnný S 235 válcovaný b  3,1400e-03 2,2882e-03 7,9400e-01 70 0,00 1,0300e-05 57 1,5500e-04 1,7333e-04 4,08e+04 1,99e+04 0 8,1300e-08 0</div>	<div>     c   7,8192e-04 7,9430e-01 66  3,8900e-06 35 5,5600e-05 8,5000e-05 4,08e+04 1,99e+04 0 1,5064e-08 0</div>
<div></div>		
CS3		
<div>Typ Kód tvaru Typ tvaru Materiál</div>	<div>HEA160 1 - I průřez Tenkostěnný S 235</div>	

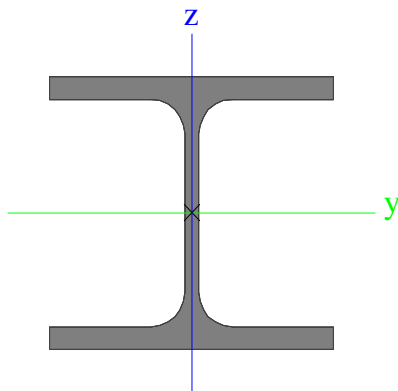
Výroba	válcovaný	
Posudek rovinného vzpěru y-y, Posudek rovinného vzpěru z-z	b	c
A [m²]	3,8800e-03	
A <sub>y</sub> [m²], A <sub>z</sub> [m²]	2,8071e-03	9,8390e-04
A <sub>L</sub> [m²/m], A <sub>D</sub> [m²/m]	9,0600e-01	9,0613e-01
C <sub>y,UCS</sub> [mm], C <sub>z,UCS</sub> [mm]	80	76
α [deg]	0,00	
I <sub>y</sub> [m⁴], I <sub>z</sub> [m⁴]	1,6700e-05	6,1600e-06
i <sub>y</sub> [mm], i <sub>z</sub> [mm]	66	40
W <sub>el,y</sub> [m³], W <sub>el,z</sub> [m³]	2,2000e-04	7,7000e-05
W <sub>pl,y</sub> [m³], W <sub>pl,z</sub> [m³]	2,4500e-04	1,1750e-04
M <sub>pl,y,+</sub> [Nm], M <sub>pl,y,-</sub> [Nm]	5,77e+04	5,77e+04
M <sub>pl,z,+</sub> [Nm], M <sub>pl,z,-</sub> [Nm]	2,77e+04	2,77e+04
d <sub>y</sub> [mm], d <sub>z</sub> [mm]	0	0
I <sub>t</sub> [m⁴], I <sub>w</sub> [m⁶]	1,2200e-07	3,1410e-08
β <sub>y</sub> [mm], β <sub>z</sub> [mm]	0	0
Obrázek		

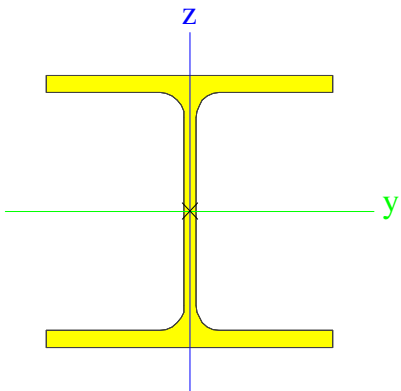
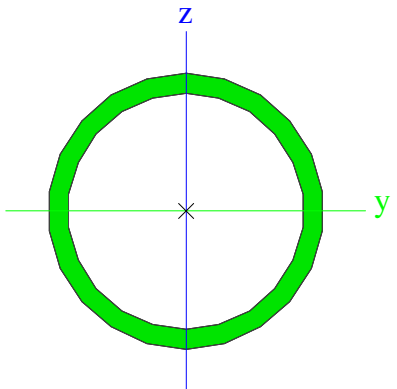
CS4		
Typ	HEA220	
Kód tvaru	1 - I průřez	
Typ tvaru	Tenkostěnný	
Materiál	S 235	
Výroba	válcovaný	
Posudek rovinného vzpěru y-y, Posudek rovinného vzpěru z-z	b	c
A [m²]	6,4300e-03	
A <sub>y</sub> [m²], A <sub>z</sub> [m²]	4,6326e-03	1,5689e-03
A <sub>L</sub> [m²/m], A <sub>D</sub> [m²/m]	1,2600e+00	1,2550e+00
C <sub>y,UCS</sub> [mm], C <sub>z,UCS</sub> [mm]	110	105
α [deg]	0,00	
I <sub>y</sub> [m⁴], I <sub>z</sub> [m⁴]	5,4100e-05	1,9600e-05
i <sub>y</sub> [mm], i <sub>z</sub> [mm]	92	55
W <sub>el,y</sub> [m³], W <sub>el,z</sub> [m³]	5,1500e-04	1,7800e-04
W <sub>pl,y</sub> [m³], W <sub>pl,z</sub> [m³]	5,6667e-04	2,7042e-04
M <sub>pl,y,+</sub> [Nm], M <sub>pl,y,-</sub> [Nm]	1,34e+05	1,34e+05
M <sub>pl,z,+</sub> [Nm], M <sub>pl,z,-</sub> [Nm]	6,36e+04	6,36e+04
d <sub>y</sub> [mm], d <sub>z</sub> [mm]	0	0
I <sub>t</sub> [m⁴], I <sub>w</sub> [m⁶]	2,8500e-07	1,9327e-07
β <sub>y</sub> [mm], β <sub>z</sub> [mm]	0	0

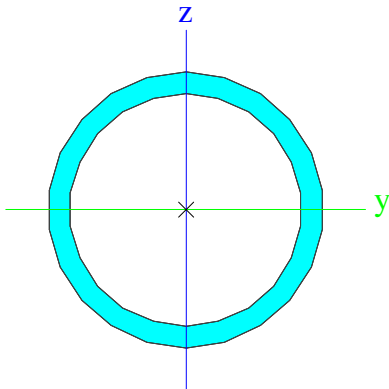
Obrázek		
<b>CS5</b> Typ SHS100/100/5.0 Kód tvaru 2 - Obdélníkové uzavřené průřezy Typ tvaru Tenkostěnný Materiál S 235 Výroba válcovaný Posudek rovinného vzpěru y-y, Posudek rovinného vzpěru z-z A [m <sup>2</sup> ] A <sub>y</sub> [m <sup>2</sup> ], A <sub>z</sub> [m <sup>2</sup> ] A <sub>L</sub> [m <sup>2</sup> /m], A <sub>D</sub> [m <sup>2</sup> /m] c <sub>y,ucs</sub> [mm], c <sub>z,ucs</sub> [mm] α [deg] I <sub>y</sub> [m <sup>4</sup> ], I <sub>z</sub> [m <sup>4</sup> ] i <sub>y</sub> [mm], i <sub>z</sub> [mm] W <sub>el,y</sub> [m <sup>3</sup> ], W <sub>el,z</sub> [m <sup>3</sup> ] W <sub>pl,y</sub> [m <sup>3</sup> ], W <sub>pl,z</sub> [m <sup>3</sup> ] M <sub>pl,y,+</sub> [Nm], M <sub>pl,y,-</sub> [Nm] M <sub>pl,z,+</sub> [Nm], M <sub>pl,z,-</sub> [Nm] d <sub>y</sub> [mm], d <sub>z</sub> [mm] I <sub>t</sub> [m <sup>4</sup> ], I <sub>w</sub> [m <sup>6</sup> ] β <sub>y</sub> [mm], β <sub>z</sub> [mm] Obrázek	a 1,8700e-03 9,2814e-04 3,8700e-01 50 0,00 2,7900e-06 39 5,5900e-05 6,5655e-05 1,54e+04 1,54e+04 0 4,3900e-06 0 	a 9,2814e-04 7,4275e-01 50 2,7900e-06 39 5,5900e-05 6,5655e-05 1,54e+04 1,54e+04 0 4,1667e-09 0
<b>CS6</b> Typ MSH90x90x4.0 Kód tvaru 2 - Obdélníkové uzavřené průřezy Typ tvaru Tenkostěnný Materiál S 235 Výroba válcovaný Posudek rovinného vzpěru y-y, Posudek rovinného vzpěru z-z A [m <sup>2</sup> ] A <sub>y</sub> [m <sup>2</sup> ], A <sub>z</sub> [m <sup>2</sup> ] A <sub>L</sub> [m <sup>2</sup> /m], A <sub>D</sub> [m <sup>2</sup> /m]	a 1,3600e-03 6,7401e-04 3,5000e-01	a 6,7401e-04 6,7420e-01

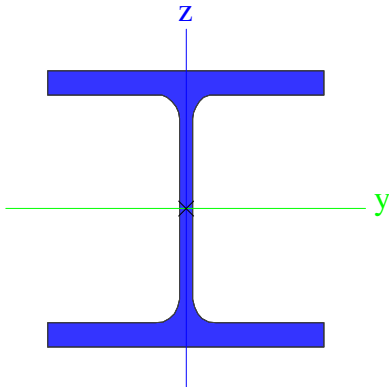
<p>CY.UCS [mm], CZ.UCS [mm] α [deg] I<sub>y</sub> [m<sup>4</sup>], I<sub>z</sub> [m<sup>4</sup>] i<sub>y</sub> [mm], i<sub>z</sub> [mm] W<sub>el.y</sub> [m<sup>3</sup>], W<sub>el.z</sub> [m<sup>3</sup>] W<sub>pl.y</sub> [m<sup>3</sup>], W<sub>pl.z</sub> [m<sup>3</sup>] M<sub>pl.y.+</sub> [Nm], M<sub>pl.y.-</sub> [Nm] M<sub>pl.z.+</sub> [Nm], M<sub>pl.z.-</sub> [Nm] d<sub>y</sub> [mm], d<sub>z</sub> [mm] I<sub>t</sub> [m<sup>4</sup>], I<sub>w</sub> [m<sup>6</sup>] β<sub>y</sub> [mm], β<sub>z</sub> [mm] Obrázek</p>	<p>45 0,00 1,6600e-06 35 3,7000e-05 4,3600e-05 1,01e+04 1,01e+04 0 2,6000e-06 0</p> 	<p>45 1,6600e-06 35 3,7000e-05 4,3600e-05 1,01e+04 1,01e+04 0 1,9683e-09 0</p>
<b>CS7</b>		
<p>Typ Kód tvaru Typ tvaru Materiál Výroba Posudek rovinného vzpěru y-y, Posudek rovinného vzpěru z-z A [m<sup>2</sup>] A<sub>y</sub> [m<sup>2</sup>], A<sub>z</sub> [m<sup>2</sup>] A<sub>L</sub> [m<sup>2</sup>/m], A<sub>D</sub> [m<sup>2</sup>/m] CY.UCS [mm], CZ.UCS [mm] α [deg] I<sub>y</sub> [m<sup>4</sup>], I<sub>z</sub> [m<sup>4</sup>] i<sub>y</sub> [mm], i<sub>z</sub> [mm] W<sub>el.y</sub> [m<sup>3</sup>], W<sub>el.z</sub> [m<sup>3</sup>] W<sub>pl.y</sub> [m<sup>3</sup>], W<sub>pl.z</sub> [m<sup>3</sup>] M<sub>pl.y.+</sub> [Nm], M<sub>pl.y.-</sub> [Nm] M<sub>pl.z.+</sub> [Nm], M<sub>pl.z.-</sub> [Nm] d<sub>y</sub> [mm], d<sub>z</sub> [mm] I<sub>t</sub> [m<sup>4</sup>], I<sub>w</sub> [m<sup>6</sup>] β<sub>y</sub> [mm], β<sub>z</sub> [mm] Obrázek</p>	<p>MSH70x70x4.0 2 - Obdélníkové uzavřené průřezy Tenkostěnný S 235 válcovaný a 1,0400e-03 5,1401e-04 2,7000e-01 35 0,00 7,4700e-07 27 2,1300e-05 2,5500e-05 5,93e+03 5,93e+03 0 1,1800e-06 0</p> 	<p>a 5,1401e-04 5,1420e-01 35 7,4700e-07 27 2,1300e-05 2,5500e-05 5,93e+03 5,93e+03 0 5,6023e-10 0</p>

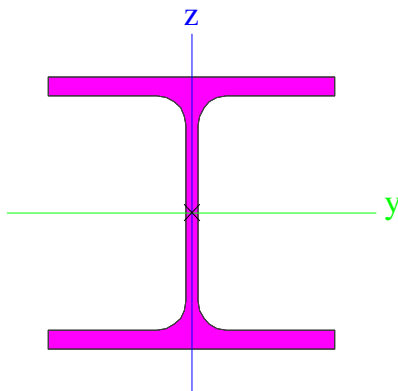


CS8			
Typ	HEA100		
Kód tvaru	1 - I průřez		
Typ tvaru	Tenkostěnný		
Materiál	S 235		
Výroba	válcovaný		
Posudek rovinného vzpěru y-y, Posudek rovinného vzpěru z-z	b	c	
A [m <sup>2</sup> ]	2,1200e-03		
A <sub>y</sub> [m <sup>2</sup> ], A <sub>z</sub> [m <sup>2</sup> ]	1,6076e-03		5,3156e-04
A <sub>L</sub> [m <sup>2</sup> /m], A <sub>D</sub> [m <sup>2</sup> /m]	5,6100e-01		5,6130e-01
C <sub>y,UCS</sub> [mm], C <sub>z,UCS</sub> [mm]	50		48
α [deg]	0,00		
I <sub>y</sub> [m <sup>4</sup> ], I <sub>z</sub> [m <sup>4</sup> ]	3,4900e-06		1,3400e-06
i <sub>y</sub> [mm], i <sub>z</sub> [mm]	41		25
W <sub>el,y</sub> [m <sup>3</sup> ], W <sub>el,z</sub> [m <sup>3</sup> ]	7,2800e-05		2,6800e-05
W <sub>pl,y</sub> [m <sup>3</sup> ], W <sub>pl,z</sub> [m <sup>3</sup> ]	8,2917e-05		4,1125e-05
M <sub>pl,y,+</sub> [Nm], M <sub>pl,y,-</sub> [Nm]	1,95e+04		1,95e+04
M <sub>pl,z,+</sub> [Nm], M <sub>pl,z,-</sub> [Nm]	9,67e+03		9,67e+03
d <sub>y</sub> [mm], d <sub>z</sub> [mm]	0		0
I <sub>t</sub> [m <sup>4</sup> ], I <sub>w</sub> [m <sup>6</sup> ]	5,2400e-08		2,5813e-09
β <sub>y</sub> [mm], β <sub>z</sub> [mm]	0		0
Obrázek			
CS9			
Typ	HEA140		
Kód tvaru	1 - I průřez		
Typ tvaru	Tenkostěnný		
Materiál	S 235		
Výroba	válcovaný		
Posudek rovinného vzpěru y-y, Posudek rovinného vzpěru z-z	b	c	
A [m <sup>2</sup> ]	3,1400e-03		
A <sub>y</sub> [m <sup>2</sup> ], A <sub>z</sub> [m <sup>2</sup> ]	2,2882e-03		7,8192e-04
A <sub>L</sub> [m <sup>2</sup> /m], A <sub>D</sub> [m <sup>2</sup> /m]	7,9400e-01		7,9430e-01
C <sub>y,UCS</sub> [mm], C <sub>z,UCS</sub> [mm]	70		66
α [deg]	0,00		
I <sub>y</sub> [m <sup>4</sup> ], I <sub>z</sub> [m <sup>4</sup> ]	1,0300e-05		3,8900e-06
i <sub>y</sub> [mm], i <sub>z</sub> [mm]	57		35
W <sub>el,y</sub> [m <sup>3</sup> ], W <sub>el,z</sub> [m <sup>3</sup> ]	1,5500e-04		5,5600e-05
W <sub>pl,y</sub> [m <sup>3</sup> ], W <sub>pl,z</sub> [m <sup>3</sup> ]	1,7333e-04		8,5000e-05
M <sub>pl,y,+</sub> [Nm], M <sub>pl,y,-</sub> [Nm]	4,08e+04		4,08e+04
M <sub>pl,z,+</sub> [Nm], M <sub>pl,z,-</sub> [Nm]	1,99e+04		1,99e+04
d <sub>y</sub> [mm], d <sub>z</sub> [mm]	0		0
I <sub>t</sub> [m <sup>4</sup> ], I <sub>w</sub> [m <sup>6</sup> ]	8,1300e-08		1,5064e-08
β <sub>y</sub> [mm], β <sub>z</sub> [mm]	0		0

Obrázek		
<b>CS10</b> Typ RO70X5 Kód tvaru 3 - Kruhové uzavřené průřezy Typ tvaru Tenkostěnný Materiál S 235 Výroba válcovaný Posudek rovinného vzpěru y-y, Posudek rovinného vzpěru z-z A [m <sup>2</sup> ] A <sub>y</sub> [m <sup>2</sup> ], A <sub>z</sub> [m <sup>2</sup> ] A <sub>L</sub> [m <sup>2</sup> /m], A <sub>D</sub> [m <sup>2</sup> /m] c <sub>y,ucs</sub> [mm], c <sub>z,ucs</sub> [mm] α [deg] I <sub>y</sub> [m <sup>4</sup> ], I <sub>z</sub> [m <sup>4</sup> ] i <sub>y</sub> [mm], i <sub>z</sub> [mm] W <sub>el,y</sub> [m <sup>3</sup> ], W <sub>el,z</sub> [m <sup>3</sup> ] W <sub>pl,y</sub> [m <sup>3</sup> ], W <sub>pl,z</sub> [m <sup>3</sup> ] M <sub>pl,y,+</sub> [Nm], M <sub>pl,y,-</sub> [Nm] M <sub>pl,z,+</sub> [Nm], M <sub>pl,z,-</sub> [Nm] d <sub>y</sub> [mm], d <sub>z</sub> [mm] I <sub>t</sub> [m <sup>4</sup> ], I <sub>w</sub> [m <sup>6</sup> ] β <sub>y</sub> [mm], β <sub>z</sub> [mm]	a 1,0200e-03 6,5000e-04 2,2000e-01 35 0,00 5,4200e-07 23 1,5500e-05 2,1125e-05 4,97e+03 4,97e+03 0 1,0840e-06 0	a 6,5000e-04 4,0839e-01 35 5,4200e-07 23 1,5500e-05 2,1125e-05 4,97e+03 4,97e+03 0 5,3982e-43 0
Obrázek		
<b>CS11</b> Typ RO51X4 Kód tvaru 3 - Kruhové uzavřené průřezy Typ tvaru Tenkostěnný Materiál S 235 Výroba válcovaný Posudek rovinného vzpěru y-y, Posudek rovinného vzpěru z-z A [m <sup>2</sup> ] A <sub>y</sub> [m <sup>2</sup> ], A <sub>z</sub> [m <sup>2</sup> ] A <sub>L</sub> [m <sup>2</sup> /m], A <sub>D</sub> [m <sup>2</sup> /m]	a 5,9100e-04 3,7600e-04 1,6000e-01	a 3,7600e-04 2,9529e-01

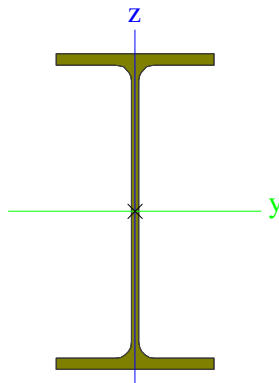
Cy.UCS [mm], Cz.UCS [mm]	26	26
α [deg]	0,00	
Iy [m <sup>4</sup> ], Iz [m <sup>4</sup> ]	1,6400e-07	1,6400e-07
iy [mm], iz [mm]	17	17
Wel.y [m <sup>3</sup> ], Wel.z [m <sup>3</sup> ]	6,4400e-06	6,4400e-06
Wpl.y [m <sup>3</sup> ], Wpl.z [m <sup>3</sup> ]	8,8360e-06	8,8360e-06
Mpl.y.+ [Nm], Mpl.y.- [Nm]	2,08e+03	2,08e+03
Mpl.z.+ [Nm], Mpl.z.- [Nm]	2,08e+03	2,08e+03
dy [mm], dz [mm]	0	0
It [m <sup>4</sup> ], Iw [m <sup>6</sup> ]	3,2800e-07	1,4759e-43
βy [mm], βz [mm]	0	0
Obrázek		

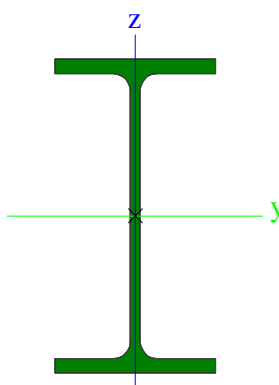
CS12		
Typ	HEB140	
Kód tvaru	1 - I průřez	
Typ tvaru	Tenkostěnný	
Materiál	S 235	
Výroba	válcovaný	
Posudek rovinného vzpěru y-y, Posudek rovinného vzpěru z-z	b	c
A [m <sup>2</sup> ]	4,2960e-03	
Ay [m <sup>2</sup> ], Az [m <sup>2</sup> ]	3,2127e-03	1,0456e-03
AL [m <sup>2</sup> /m], AD [m <sup>2</sup> /m]	8,0500e-01	8,0530e-01
Cy.UCS [mm], Cz.UCS [mm]	70	70
α [deg]	0,00	
Iy [m <sup>4</sup> ], Iz [m <sup>4</sup> ]	1,5090e-05	5,4970e-06
iy [mm], iz [mm]	59	36
Wel.y [m <sup>3</sup> ], Wel.z [m <sup>3</sup> ]	2,1560e-04	7,8520e-05
Wpl.y [m <sup>3</sup> ], Wpl.z [m <sup>3</sup> ]	2,4540e-04	1,1980e-04
Mpl.y.+ [Nm], Mpl.y.- [Nm]	5,77e+04	5,77e+04
Mpl.z.+ [Nm], Mpl.z.- [Nm]	2,82e+04	2,82e+04
dy [mm], dz [mm]	0	0
It [m <sup>4</sup> ], Iw [m <sup>6</sup> ]	2,0060e-07	2,2479e-08
βy [mm], βz [mm]	0	0
Obrázek		

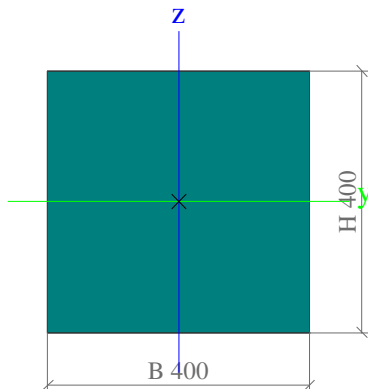
CS13			
Typ	HEA120		
Kód tvaru	1 - I průřez		
Typ tvaru	Tenkostěnný		
Materiál	S 235		
Výroba	válcovaný		
Posudek rovinného vzpěru y-y, Posudek rovinného vzpěru z-z	b	c	
A [m <sup>2</sup> ]	2,5300e-03		
A <sub>y</sub> [m <sup>2</sup> ], A <sub>z</sub> [m <sup>2</sup> ]	1,8775e-03		6,1698e-04
A <sub>L</sub> [m <sup>2</sup> /m], A <sub>D</sub> [m <sup>2</sup> /m]	6,7700e-01		6,7730e-01
C <sub>y,UCS</sub> [mm], C <sub>z,UCS</sub> [mm]	60		57
α [deg]	0,00		
I <sub>y</sub> [m <sup>4</sup> ], I <sub>z</sub> [m <sup>4</sup> ]	6,0600e-06		2,3100e-06
i <sub>y</sub> [mm], i <sub>z</sub> [mm]	49		30
W <sub>el,y</sub> [m <sup>3</sup> ], W <sub>el,z</sub> [m <sup>3</sup> ]	1,0600e-04		3,8500e-05
W <sub>pl,y</sub> [m <sup>3</sup> ], W <sub>pl,z</sub> [m <sup>3</sup> ]	1,1958e-04		5,8750e-05
M <sub>pl,y,+</sub> [Nm], M <sub>pl,y,-</sub> [Nm]	2,81e+04		2,81e+04
M <sub>pl,z,+</sub> [Nm], M <sub>pl,z,-</sub> [Nm]	1,38e+04		1,38e+04
d <sub>y</sub> [mm], d <sub>z</sub> [mm]	0		0
I <sub>t</sub> [m <sup>4</sup> ], I <sub>w</sub> [m <sup>6</sup> ]	5,9900e-08		6,4719e-09
β <sub>y</sub> [mm], β <sub>z</sub> [mm]	0		0
Obrázek			

CS14			
Typ	2U komora		
Detailní	U160		
Typ tvaru	Tenkostěnný		
Materiál	S 235		
Výroba	svařovaný		
Posudek rovinného vzpěru y-y, Posudek rovinného vzpěru z-z	b	b	
A [m <sup>2</sup> ]	4,8042e-03		
A <sub>y</sub> [m <sup>2</sup> ], A <sub>z</sub> [m <sup>2</sup> ]	2,4312e-03		2,3997e-03
A <sub>L</sub> [m <sup>2</sup> /m], A <sub>D</sub> [m <sup>2</sup> /m]	5,8000e-01		1,0782e+00
C <sub>y,UCS</sub> [mm], C <sub>z,UCS</sub> [mm]	65		80
α [deg]	0,00		
I <sub>y</sub> [m <sup>4</sup> ], I <sub>z</sub> [m <sup>4</sup> ]	1,8500e-05		1,2138e-05
i <sub>y</sub> [mm], i <sub>z</sub> [mm]	62		50
W <sub>el,y</sub> [m <sup>3</sup> ], W <sub>el,z</sub> [m <sup>3</sup> ]	2,3125e-04		1,8674e-04
W <sub>pl,y</sub> [m <sup>3</sup> ], W <sub>pl,z</sub> [m <sup>3</sup> ]	2,7516e-04		2,2393e-04
M <sub>pl,y,+</sub> [Nm], M <sub>pl,y,-</sub> [Nm]	6,47e+04		6,47e+04
M <sub>pl,z,+</sub> [Nm], M <sub>pl,z,-</sub> [Nm]	5,26e+04		5,26e+04
d <sub>y</sub> [mm], d <sub>z</sub> [mm]	0		0
I <sub>t</sub> [m <sup>4</sup> ], I <sub>w</sub> [m <sup>6</sup> ]	2,1364e-05		2,3025e-09
β <sub>y</sub> [mm], β <sub>z</sub> [mm]	0		0

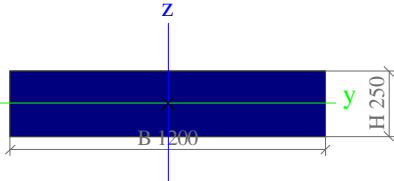
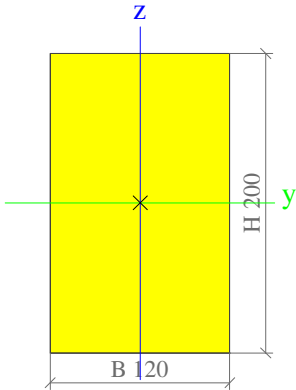


Cy,UCS [mm], Cz,UCS [mm]	75	150
$\alpha$ [deg]	0,00	
$I_y$ [m <sup>4</sup> ], $I_z$ [m <sup>4</sup> ]	8,3560e-05	6,0400e-06
$i_y$ [mm], $i_z$ [mm]	125	34
$W_{el,y}$ [m <sup>3</sup> ], $W_{el,z}$ [m <sup>3</sup> ]	5,5700e-04	8,0500e-05
$W_{pl,y}$ [m <sup>3</sup> ], $W_{pl,z}$ [m <sup>3</sup> ]	6,2800e-04	1,2500e-04
$M_{pl,y,+}$ [Nm], $M_{pl,y,-}$ [Nm]	2,23e+05	2,23e+05
$M_{pl,z,+}$ [Nm], $M_{pl,z,-}$ [Nm]	4,45e+04	4,45e+04
$d_y$ [mm], $d_z$ [mm]	0	0
$I_t$ [m <sup>4</sup> ], $I_w$ [m <sup>6</sup> ]	2,0100e-07	1,2600e-07
$\beta_y$ [mm], $\beta_z$ [mm]	0	0
Obrázek		

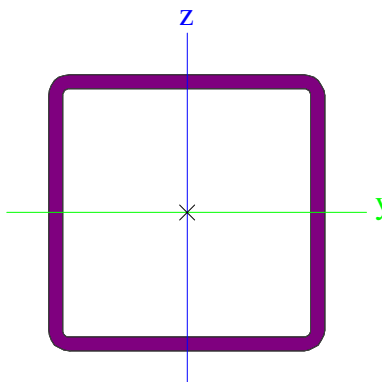
CS17		
Typ	IPE160	
Kód tvaru	1 - I průřez	
Typ tvaru	Tenkostěnný	
Materiál	S 235	
Výroba	válcovaný	
Posudek rovinného vzpěru y-y, Posudek rovinného vzpěru z-z	a	b
A [m <sup>2</sup> ]	2,0100e-03	
$A_y$ [m <sup>2</sup> ], $A_z$ [m <sup>2</sup> ]	1,2605e-03	8,1173e-04
$A_L$ [m <sup>2</sup> /m], $A_D$ [m <sup>2</sup> /m]	6,2248e-01	6,2248e-01
Cy,UCS [mm], Cz,UCS [mm]	41	80
$\alpha$ [deg]	0,00	
$I_y$ [m <sup>4</sup> ], $I_z$ [m <sup>4</sup> ]	8,6900e-06	6,8300e-07
$i_y$ [mm], $i_z$ [mm]	66	18
$W_{el,y}$ [m <sup>3</sup> ], $W_{el,z}$ [m <sup>3</sup> ]	1,0900e-04	1,6700e-05
$W_{pl,y}$ [m <sup>3</sup> ], $W_{pl,z}$ [m <sup>3</sup> ]	1,2400e-04	2,6100e-05
$M_{pl,y,+}$ [Nm], $M_{pl,y,-}$ [Nm]	2,91e+04	2,91e+04
$M_{pl,z,+}$ [Nm], $M_{pl,z,-}$ [Nm]	6,14e+03	6,14e+03
$d_y$ [mm], $d_z$ [mm]	0	0
$I_t$ [m <sup>4</sup> ], $I_w$ [m <sup>6</sup> ]	3,6000e-08	3,9600e-09
$\beta_y$ [mm], $\beta_z$ [mm]	0	0
Obrázek		

CS18			
Typ	Obdélník		
Detailní	400; 400		
Typ tvaru	Tlustostěnný		
Materiál	C12/15		
Výroba	beton		
A [m²]	1,6000e-01		
A <sub>y</sub> [m²], A <sub>z</sub> [m²]	1,3333e-01		1,3333e-01
A <sub>L</sub> [m²/m], A <sub>D</sub> [m²/m]	1,6000e+00		1,6000e+00
C <sub>y,UCS</sub> [mm], C <sub>z,UCS</sub> [mm]	200		200
α [deg]	0,00		
I <sub>y</sub> [m⁴], I <sub>z</sub> [m⁴]	2,1333e-03		2,1333e-03
i <sub>y</sub> [mm], i <sub>z</sub> [mm]	115		115
W <sub>el,y</sub> [m³], W <sub>el,z</sub> [m³]	1,0667e-02		1,0667e-02
W <sub>pl,y</sub> [m³], W <sub>pl,z</sub> [m³]	0,0000e+00		0,0000e+00
M <sub>pl,y,+</sub> [Nm], M <sub>pl,y,-</sub> [Nm]	0,00e+00		0,00e+00
M <sub>pl,z,+</sub> [Nm], M <sub>pl,z,-</sub> [Nm]	0,00e+00		0,00e+00
d <sub>y</sub> [mm], d <sub>z</sub> [mm]	0		0
I <sub>t</sub> [m⁴], I <sub>w</sub> [m⁶]	3,5938e-03		5,1662e-07
β <sub>y</sub> [mm], β <sub>z</sub> [mm]	0		0
Obrázek			

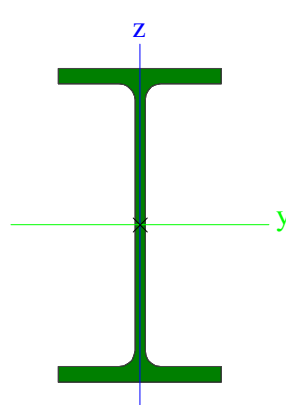
CS19			
Typ	Obdélník		
Detailní	250; 1200		
Typ tvaru	Tlustostěnný		
Materiál	C12/15		
Výroba	beton		
A [m²]	3,0000e-01		
A <sub>y</sub> [m²], A <sub>z</sub> [m²]	2,5000e-01		2,5000e-01
A <sub>L</sub> [m²/m], A <sub>D</sub> [m²/m]	2,9000e+00		2,9000e+00
C <sub>y,UCS</sub> [mm], C <sub>z,UCS</sub> [mm]	600		125
α [deg]	0,00		
I <sub>y</sub> [m⁴], I <sub>z</sub> [m⁴]	1,5625e-03		3,6000e-02
i <sub>y</sub> [mm], i <sub>z</sub> [mm]	72		346
W <sub>el,y</sub> [m³], W <sub>el,z</sub> [m³]	1,2500e-02		6,0000e-02
W <sub>pl,y</sub> [m³], W <sub>pl,z</sub> [m³]	0,0000e+00		0,0000e+00
M <sub>pl,y,+</sub> [Nm], M <sub>pl,y,-</sub> [Nm]	0,00e+00		0,00e+00
M <sub>pl,z,+</sub> [Nm], M <sub>pl,z,-</sub> [Nm]	0,00e+00		0,00e+00
d <sub>y</sub> [mm], d <sub>z</sub> [mm]	0		0
I <sub>t</sub> [m⁴], I <sub>w</sub> [m⁶]	5,4104e-03		1,5281e-04
β <sub>y</sub> [mm], β <sub>z</sub> [mm]	0		0

Obrázek		
<b>CS20</b> Typ Detailní Typ tvaru Materiál Výroba $A$ [m <sup>2</sup> ] $A_y$ [m <sup>2</sup> ], $A_z$ [m <sup>2</sup> ] $A_L$ [m <sup>2</sup> /m], $A_D$ [m <sup>2</sup> /m] $C_{Y,UCS}$ [mm], $C_{Z,UCS}$ [mm] $\alpha$ [deg] $I_y$ [m <sup>4</sup> ], $I_z$ [m <sup>4</sup> ] $i_y$ [mm], $i_z$ [mm] $W_{el,y}$ [m <sup>3</sup> ], $W_{el,z}$ [m <sup>3</sup> ] $W_{pl,y}$ [m <sup>3</sup> ], $W_{pl,z}$ [m <sup>3</sup> ] $M_{pl,y,+}$ [Nm], $M_{pl,y,-}$ [Nm] $M_{pl,z,+}$ [Nm], $M_{pl,z,-}$ [Nm] $d_y$ [mm], $d_z$ [mm] $I_t$ [m <sup>4</sup> ], $I_w$ [m <sup>6</sup> ] $\beta_y$ [mm], $\beta_z$ [mm] Obrázek	OBDEL 120; 200 Tlustostěnný GL24h dřevo  2,4000e-02 2,0000e-02 6,4000e-01 60 0,00 8,0000e-05 58 8,0000e-04 9,7778e-04 2,35e+04 1,41e+04 0 7,1976e-05 0  	  2,0000e-02 6,4000e-01 100 2,8800e-05 35 4,8000e-04 5,8667e-04 2,35e+04 1,41e+04 0 2,2015e-08 0
<b>CS21</b> Typ Kód tvaru Typ tvaru Materiál Výroba Posudek rovinného vzpěru y-y, Posudek rovinného vzpěru z-z $A$ [m <sup>2</sup> ] $A_y$ [m <sup>2</sup> ], $A_z$ [m <sup>2</sup> ] $A_L$ [m <sup>2</sup> /m], $A_D$ [m <sup>2</sup> /m] $C_{Y,UCS}$ [mm], $C_{Z,UCS}$ [mm] $\alpha$ [deg]	MSH100x100x5.0 2 - Obdélníkové uzavřené průřezy Tenkostěnný S 235 válcovaný a  1,8700e-03 9,2814e-04 3,8700e-01 50 0,00	   a  9,2814e-04 7,4275e-01 50



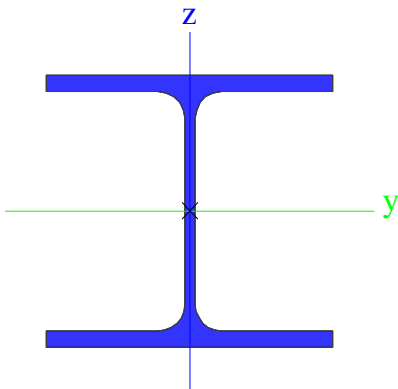
$I_y$ [m <sup>4</sup> ], $I_z$ [m <sup>4</sup> ]	2,7900e-06	2,7900e-06
$i_y$ [mm], $i_z$ [mm]	39	39
$W_{el.y}$ [m <sup>3</sup> ], $W_{el.z}$ [m <sup>3</sup> ]	5,5900e-05	5,5900e-05
$W_{pl.y}$ [m <sup>3</sup> ], $W_{pl.z}$ [m <sup>3</sup> ]	6,6400e-05	6,6400e-05
$M_{pl.y,+}$ [Nm], $M_{pl.y,-}$ [Nm]	1,54e+04	1,54e+04
$M_{pl.z,+}$ [Nm], $M_{pl.z,-}$ [Nm]	1,54e+04	1,54e+04
$d_y$ [mm], $d_z$ [mm]	0	0
$I_t$ [m <sup>4</sup> ], $I_w$ [m <sup>6</sup> ]	4,3900e-06	4,1667e-09
$\beta_y$ [mm], $\beta_z$ [mm]	0	0
Obrázek		

#### CS22

Typ	IPE140	
Kód tvaru	1 - I průřez	
Typ tvaru	Tenkostěnný	
Materiál	S 235	
Výroba	válcovaný	
Posudek rovinného vzpěru y-y, Posudek rovinného vzpěru z-z	a	b
$A$ [m <sup>2</sup> ]	1,6400e-03	
$A_y$ [m <sup>2</sup> ], $A_z$ [m <sup>2</sup> ]	1,0343e-03	6,6249e-04
$A_L$ [m <sup>2</sup> /m], $A_D$ [m <sup>2</sup> /m]	5,5053e-01	5,5053e-01
$c_{y,ucs}$ [mm], $c_{z,ucs}$ [mm]	36	70
$\alpha$ [deg]	0,00	
$I_y$ [m <sup>4</sup> ], $I_z$ [m <sup>4</sup> ]	5,4100e-06	4,4900e-07
$i_y$ [mm], $i_z$ [mm]	57	17
$W_{el.y}$ [m <sup>3</sup> ], $W_{el.z}$ [m <sup>3</sup> ]	7,7300e-05	1,2300e-05
$W_{pl.y}$ [m <sup>3</sup> ], $W_{pl.z}$ [m <sup>3</sup> ]	8,8300e-05	1,9300e-05
$M_{pl.y,+}$ [Nm], $M_{pl.y,-}$ [Nm]	2,08e+04	2,08e+04
$M_{pl.z,+}$ [Nm], $M_{pl.z,-}$ [Nm]	4,52e+03	4,52e+03
$d_y$ [mm], $d_z$ [mm]	0	0
$I_t$ [m <sup>4</sup> ], $I_w$ [m <sup>6</sup> ]	2,4500e-08	1,9800e-09
$\beta_y$ [mm], $\beta_z$ [mm]	0	0
Obrázek		

#### CS23

Typ	HEA160	
-----	--------	--

Kód tvaru	1 - I průřez	
Typ tvaru	Tenkostěnný	
Materiál	S 235	
Výroba	válcovaný	
Posudek rovinného vzpěru y-y, Posudek rovinného vzpěru z-z	b	c
A [m <sup>2</sup> ]	3,8800e-03	
A <sub>y</sub> [m <sup>2</sup> ], A <sub>z</sub> [m <sup>2</sup> ]	2,8071e-03	9,8390e-04
A <sub>L</sub> [m <sup>2</sup> /m], A <sub>D</sub> [m <sup>2</sup> /m]	9,0600e-01	9,0613e-01
C <sub>y,UCS</sub> [mm], C <sub>z,UCS</sub> [mm]	80	76
α [deg]	0,00	
I <sub>y</sub> [m <sup>4</sup> ], I <sub>z</sub> [m <sup>4</sup> ]	1,6700e-05	6,1600e-06
i <sub>y</sub> [mm], i <sub>z</sub> [mm]	66	40
W <sub>el,y</sub> [m <sup>3</sup> ], W <sub>el,z</sub> [m <sup>3</sup> ]	2,2000e-04	7,7000e-05
W <sub>pl,y</sub> [m <sup>3</sup> ], W <sub>pl,z</sub> [m <sup>3</sup> ]	2,4500e-04	1,1750e-04
M <sub>pl,y,+</sub> [Nm], M <sub>pl,y,-</sub> [Nm]	5,77e+04	5,77e+04
M <sub>pl,z,+</sub> [Nm], M <sub>pl,z,-</sub> [Nm]	2,77e+04	2,77e+04
d <sub>y</sub> [mm], d <sub>z</sub> [mm]	0	0
I <sub>t</sub> [m <sup>4</sup> ], I <sub>w</sub> [m <sup>6</sup> ]	1,2200e-07	3,1410e-08
β <sub>y</sub> [mm], β <sub>z</sub> [mm]	0	0
Obrázek		

Vysvětlivky symbolů	
Kód tvaru	d - Průměr
A	Plocha
A <sub>y</sub>	Smyková plocha ve směru hlavní osy y - Vypočteno 2D MKP analýzou
A <sub>z</sub>	Smyková plocha ve směru hlavní osy z - Vypočteno 2D MKP analýzou
A <sub>L</sub>	Obvodový povrch na jednotku délky
A <sub>D</sub>	Vysýchající povrch na jednotku délky
C <sub>y,UCS</sub>	Souřadnice těžiště ve směru osy Y zadávacího systému
C <sub>z,UCS</sub>	Souřadnice těžiště ve směru osy Z zadávacího systému
I <sub>y,LCS</sub>	Moment setrvačnosti kolem osy YLSS
I <sub>z,LCS</sub>	Moment setrvačnosti kolem osy ZLSS
I <sub>yz,LCS</sub>	Moment setrvačnosti I <sub>yz</sub> v LSS
α	Úhel pootočení hlavní osy
I <sub>y</sub>	Moment setrvačnosti kolem hlavní osy y
I <sub>z</sub>	Moment setrvačnosti kolem hlavní osy z
i <sub>y</sub>	Poloměr setrvačnosti kolem hlavní osy y

Vysvětlivky symbolů	
i <sub>z</sub>	Poloměr setrvačnosti kolem hlavní osy z
W <sub>el,y</sub>	Pružný modul průřezu k hlavní ose y
W <sub>el,z</sub>	Pružný modul průřezu k hlavní ose z
W <sub>pl,y</sub>	Plastický modul průřezu k hlavní ose y
W <sub>pl,z</sub>	Plastický modul průřezu k hlavní ose z
M <sub>pl,y,+</sub>	Plastický moment kolem hlavní osy y pro kladný moment M <sub>y</sub>
M <sub>pl,y,-</sub>	Plastický moment kolem hlavní osy y pro záporný moment M <sub>y</sub>
M <sub>pl,z,+</sub>	Plastický moment kolem hlavní osy z pro kladný moment M <sub>z</sub>
M <sub>pl,z,-</sub>	Plastický moment kolem hlavní osy z pro záporný moment M <sub>z</sub>
d <sub>y</sub>	Souřadnice středu smyku ve směru hlavní osy y měřená od těžiště - Vypočteno 2D MKP analýzou
d <sub>z</sub>	Souřadnice středu smyku ve směru hlavní osy z měřená od těžiště - Vypočteno 2D MKP analýzou
I <sub>t</sub>	Moment setrvačnosti v prostém kroucení - Vypočteno 2D MKP analýzou
I <sub>w</sub>	Výsečový moment setrvačnosti - Vypočteno 2D MKP analýzou
β <sub>y</sub>	Mono-symetrická konstanta kolem hlavní osy y
β <sub>z</sub>	Mono-symetrická konstanta kolem hlavní osy z



Projekt VD HNĚVKOVICE - ROZŠÍŘENÍ PROVOZNÍ BUDOVY  
Část Konstrukční část - STATICKÝ VÝPOČET  
Popis Z-19\_061  
Autor Ing. Jan Budil

Národní norma EC - EN  
Národní dodatek Česká CSN-EN NA  
Číslo licence 554958  
Verze SCIA Engineer 17.1.2029

Ing. Jan Budil, Dobrovodská 2054/53a, 370 06 České Budějovice, mobil: +420 602 536 426, email: budil@jbstatika.cz, web: www.rautacb.cz

#### Vysvětlivky symbolů

hlavní osy z

## 6. Zatěžovací stavy

Jméno	Popis	Typ působení	Skupina zatížení	Směr	Působení	Řídící zat. stav
	Spec	Typ zatížení				
vl.tíha		Stálé Vlastní tíha	D	-Z		
stálé		Stálé Standard	D			
sníhC	Standard	Proměnné Statické	S		Krátkodobé	Žádný
užitné		Stálé Standard	D			
VPŘ1	+X Standard	Proměnné Statické	W		Krátkodobé	Žádný
VPŘ2	+X Standard	Proměnné Statické	W		Krátkodobé	Žádný
VPŘ3	-X Standard	Proměnné Statické	W		Krátkodobé	Žádný
VPŘ4	-X Standard	Proměnné Statické	W		Krátkodobé	Žádný
VPO1	+Y Standard	Proměnné Statické	W		Krátkodobé	Žádný
VPO2	+Y Standard	Proměnné Statické	W		Krátkodobé	Žádný
VPO3	-Y Standard	Proměnné Statické	W		Krátkodobé	Žádný
VPO4	-Y Standard	Proměnné Statické	W		Krátkodobé	Žádný

## 7. Zatížení

A) STÁLÉ: STŘECHA: FOLIE PVC ..... 0,050  
 tep. izolace EPS 260mm ..... 0,150  
 OSB desky 22mm ..... 0,150  
 TECHNOLOGIE ..... 0,100  


---

 $\Sigma \underline{\underline{0,450 \text{ kN/m}^2}}$

PODMUKY: PASTROVÁ PODMUKA .....  $\underline{\underline{0,100 \text{ kN/m}^2}}$   
 PLOŠKOVÁ KNA

STĚNY: 2x SDA 15mm ..... 0,400  
 tl. vata 100mm ..... 0,100  
 PET ..... 0,250  
 OSB desky 20mm ..... 0,300  
 kontaktní izol. 200 ..... 0,300  
 TECHNOLOGIE ..... 0,100  


---

 $\Sigma \underline{\underline{1,450 \text{ kN/m}^2}}$

PODLAHA TĚŽKÝ: BETON. DĚŽKA 40mm .....	1,000
PVC FOLIE .....	0,050
TĚP. IZOLACE 240mm .....	0,050
VYROVNÁVACÍ POTĚL 30mm .....	0,700
ŽLB. POKLAD 250 mm .....	4,600
<hr/>	
$\Sigma$ <u>6,400 kV<sub>L</sub>2</u>	

PODLAHA PŘÍSTAVBA: KBL. DĚŽKA DO TŘECH 15mm .....	0,300
ANHYDRIT 60mm .....	1,360
KROVÍK IZOL. 30mm .....	0,100
ŽLB. DĚŽKA DO TŘECH 80mm .....	2,000
TŘ. POKLAD .....	0,100
PODKLAD DÍV. VLNA .....	0,100
TECHNOLOGIE .....	0,100
<hr/>	
$\Sigma$ <u>4,020 kV<sub>L</sub>2</u>	

SCHODIŠTĚ: ŽLB. DĚŽKA 240mm .....	6,000
DĚŽKA DO TŘECH 15mm .....	0,300
TECHNOLOGIE .....	0,200
<hr/>	
$\Sigma$ <u>6,500 kV<sub>L</sub>2</u>	

B<sub>1</sub>) PROSTOROVÝ: součet:  $s_{\Sigma} = 0,700 \text{ kN/m}^2 \dots S = \underline{\underline{0,560 \text{ kN/m}^2}}$   
 $\mu_r = 0,8$

užitkový: kancelář ..... 2,500 kN/m<sup>2</sup>

řetězec ..... 1,000 kN/m<sup>2</sup>

schodiště ..... 3,000 kN/m<sup>2</sup>

terasa ..... 3,000 kN/m<sup>2</sup>

spisovna ..... 7,500 kN/m<sup>2</sup>

vítr:  $v_{k0} = 25,0 \text{ m/s}$

kat. tvrdost: II.

$q_{k0} = 0,855 \text{ kN/m}^2$

## 8. Skupiny zatížení

Jméno	Zatížení	Vztah	Typ
D	Stálé		
U	Proměnné	Standard	Kat E : sklady
S	Proměnné	Výběrová	Sníh
W	Proměnné	Výběrová	Vítr

## 9. Kombinace

Jméno	Popis	Typ	Zatěžovací stavy	Souč. [-]
MSÚ-B		EN-MSÚ (STR/GEO) Soubor B	vl.tíha	1,00
			stálé	1,00
			sníhC	1,00
			užitné	1,00
			VPŘ1 - +X	1,00
			VPŘ2 - +X	1,00
			VPŘ3 - -X	1,00
			VPŘ4 - -X	1,00
			VPO1 - +Y	1,00

Jméno	Popis	Typ	Zatěžovací stavy	Souč. [-]
			VPO2 - +Y	1,00
			VPO3 - -Y	1,00
			VPO4 - -Y	1,00
POŽÁR		EN-mimořádné 1	vl.tíha	1,00
			stálé	1,00
			sníhC	1,00
			užitné	1,00
			VPŘ1 - +X	1,00
			VPŘ2 - +X	1,00
			VPŘ3 - -X	1,00
			VPŘ4 - -X	1,00
			VPO1 - +Y	1,00
			VPO2 - +Y	1,00
			VPO3 - -Y	1,00
			VPO4 - -Y	1,00
MSP		EN-MSP charakteristická	vl.tíha	1,00
			stálé	1,00
			sníhC	1,00
			užitné	1,00
			VPŘ1 - +X	1,00
			VPŘ2 - +X	1,00
			VPŘ3 - -X	1,00
			VPŘ4 - -X	1,00
			VPO1 - +Y	1,00
			VPO2 - +Y	1,00
			VPO3 - -Y	1,00
			VPO4 - -Y	1,00

## 10. Klíč kombinace

Klíč kombinace

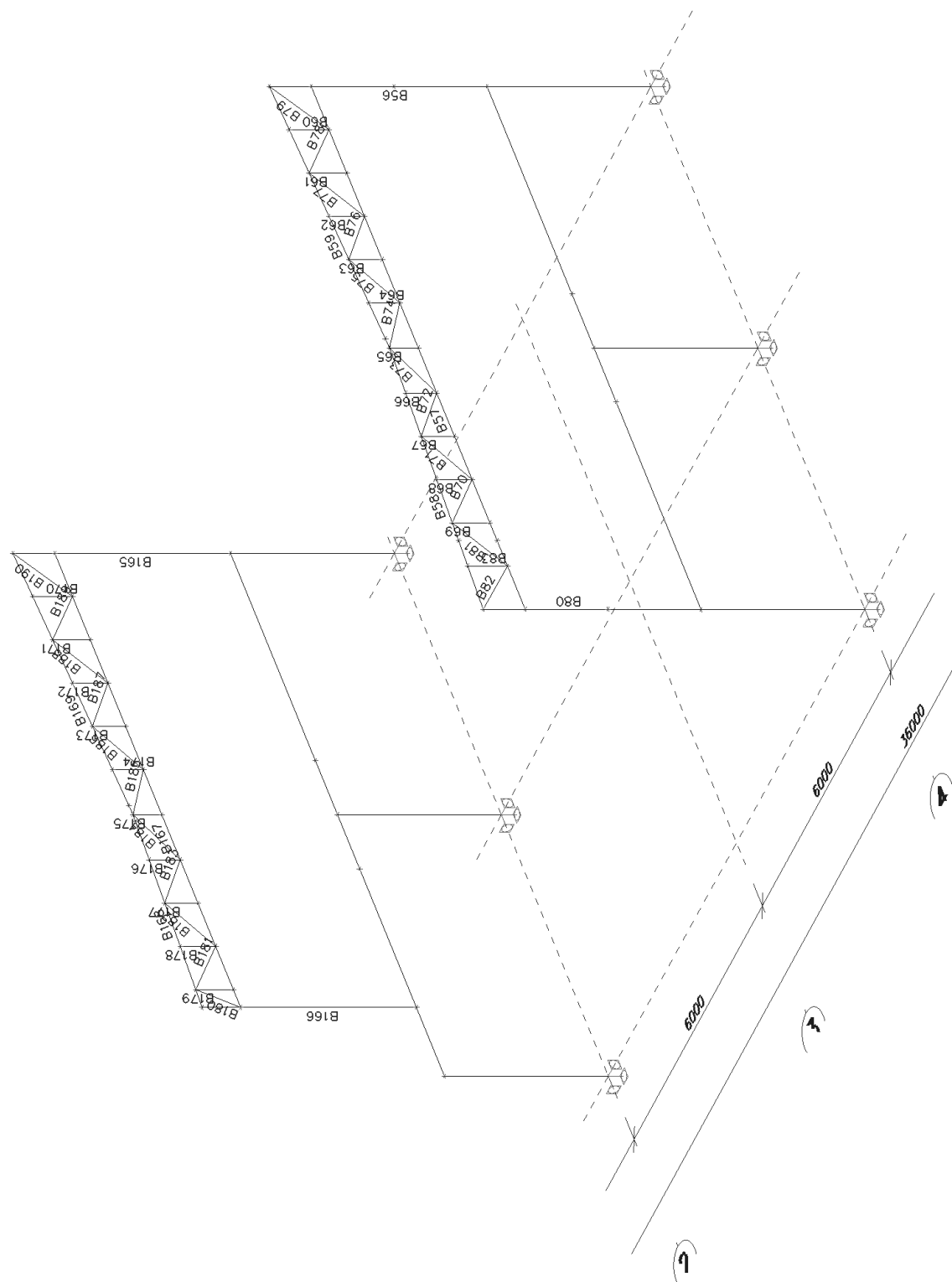
Jméno	Popis kombinací
1	vl.tíha*1,15 +VPŘ1*1,50 +sníhC*0,75 +užitné*1,15 +stálé*1,15
2	vl.tíha*1,00 +užitné*1,00 +stálé*1,00 +VPO1*1,50
3	vl.tíha*1,15 +sníhC*0,75 +užitné*1,15 +stálé*1,15 +VPO2*1,50
4	vl.tíha*1,00 +VPŘ1*1,50 +užitné*1,00 +stálé*1,00
5	vl.tíha*1,00 +užitné*1,00 +stálé*1,00 +VPO2*1,50
6	vl.tíha*1,35 +sníhC*0,75 +užitné*1,35 +stálé*1,35 +VPO4*0,90
7	vl.tíha*1,00 +užitné*1,00 +stálé*1,00 +VPŘ2*1,50
8	vl.tíha*1,35 +sníhC*0,75 +užitné*1,35 +stálé*1,35 +VPŘ4*0,90
9	vl.tíha*1,15 +sníhC*0,75 +užitné*1,15 +stálé*1,15 +VPŘ4*1,50
10	vl.tíha*1,15 +sníhC*0,75 +užitné*1,15 +stálé*1,15 +VPŘ2*1,50
11	vl.tíha*1,15 +sníhC*0,75 +užitné*1,15 +stálé*1,15 +VPO1*1,50
12	vl.tíha*1,00 +užitné*1,00 +stálé*1,00 +VPŘ3*1,50
13	vl.tíha*1,35 +užitné*1,35 +stálé*1,35 +VPO1*0,90
14	vl.tíha*1,00 +sníhC*0,75 +užitné*1,00 +stálé*1,00 +VPŘ4*1,50
15	vl.tíha*1,00 +užitné*1,00 +stálé*1,00 +VPŘ4*1,50
16	vl.tíha*1,15 +užitné*1,15 +stálé*1,15 +VPO1*1,50
17	vl.tíha*1,35 +sníhC*0,75 +užitné*1,35 +stálé*1,35 +VPŘ2*0,90
18	vl.tíha*1,15 +sníhC*1,50 +užitné*1,15 +stálé*1,15 +VPO2*0,90
19	vl.tíha*1,15 +sníhC*1,50 +užitné*1,15 +stálé*1,15 +VPŘ4*0,90
20	vl.tíha*1,15 +VPŘ1*1,50 +užitné*1,15 +stálé*1,15
21	vl.tíha*1,00 +sníhC*1,50 +užitné*1,00 +stálé*1,00
22	vl.tíha*1,00 +užitné*1,00 +stálé*1,00 +VPO3*1,50
23	vl.tíha*1,15 +sníhC*1,50 +užitné*1,15 +stálé*1,15 +VPO4*0,90
24	vl.tíha*1,35 +sníhC*0,75 +užitné*1,35 +stálé*1,35
25	vl.tíha*1,15 +sníhC*0,75 +užitné*1,15 +stálé*1,15 +VPO4*1,50
26	vl.tíha*1,35 +VPŘ1*0,90 +užitné*1,35 +stálé*1,35
27	vl.tíha*1,15 +sníhC*1,50 +užitné*1,15 +stálé*1,15 +VPŘ2*0,90
28	vl.tíha*1,00 +sníhC*0,75 +užitné*1,00 +stálé*1,00 +VPO4*1,50
29	vl.tíha*1,35 +užitné*1,35 +stálé*1,35 +VPŘ4*0,90
30	vl.tíha*1,15 +užitné*1,15 +stálé*1,15 +VPŘ3*1,50
31	vl.tíha*1,35 +sníhC*0,75 +užitné*1,35 +stálé*1,35 +VPO2*0,90



Jméno	Popis kombinací
32	vl.tíha*1,15 +užitné*1,15 +stálé*1,15 +VPO3*1,50
33	vl.tíha*1,35 +užitné*1,35 +stálé*1,35 +VPŘ2*0,90
34	vl.tíha*1,15 +užitné*1,15 +stálé*1,15 +VPŘ2*1,50
35	vl.tíha*1,15 +sníhC*1,50 +užitné*1,15 +stálé*1,15
36	vl.tíha*1,00 +sníhC*1,00 +užitné*1,00 +stálé*1,00 +VPO2*0,60
37	vl.tíha*1,35 +užitné*1,35 +stálé*1,35
38	vl.tíha*1,00 +užitné*1,00 +stálé*1,00 +VPO4*1,50
39	vl.tíha*1,35 +užitné*1,35 +stálé*1,35 +VPO4*0,90
40	vl.tíha*1,15 +užitné*1,15 +stálé*1,15 +VPO4*1,50
41	vl.tíha*1,35 +užitné*1,35 +stálé*1,35 +VPO3*0,90
42	vl.tíha*1,35 +užitné*1,35 +stálé*1,35 +VPŘ3*0,90
43	vl.tíha*1,15 +užitné*1,15 +stálé*1,15 +VPŘ4*1,50
44	vl.tíha*1,00 +užitné*1,00 +stálé*1,00
45	vl.tíha*1,15 +VPŘ1*0,90 +sníhC*1,50 +užitné*1,15 +stálé*1,15
46	vl.tíha*1,35 +VPŘ1*0,90 +sníhC*0,75 +užitné*1,35 +stálé*1,35
47	vl.tíha*1,00 +VPŘ1*1,50 +sníhC*0,75 +užitné*1,00 +stálé*1,00
48	vl.tíha*1,35 +sníhC*0,75 +užitné*1,35 +stálé*1,35 +VPŘ3*0,90
49	vl.tíha*1,00 +sníhC*1,50 +užitné*1,00 +stálé*1,00 +VPO4*0,90
50	vl.tíha*1,00 +sníhC*1,50 +užitné*1,00 +stálé*1,00 +VPO2*0,90
51	vl.tíha*1,00 +sníhC*0,75 +užitné*1,00 +stálé*1,00 +VPŘ2*1,50
52	vl.tíha*1,00 +sníhC*0,75 +užitné*1,00 +stálé*1,00 +VPO2*1,50
53	vl.tíha*1,00 +sníhC*1,50 +užitné*1,00 +stálé*1,00 +VPŘ2*0,90

## 11. PŘÍČNÉ VAZBY

### 11.1. Popis prutů



## 11.2. Prvky

Jméno	Průřez	Materiál	Délka [m]	Poč. uzel	Konc. uzel	Typ
B56	CS4 - HEA220	S 235	4,152	N57	N58	nosník (80)
B57	CS3 - HEA160	S 235	11,600	N59	N60	nosník (80)
B58	CS3 - HEA160	S 235	5,805	N61	N62	nosník (80)
B59	CS3 - HEA160	S 235	5,805	N62	N58	nosník (80)
B60	CS6 - MSH90x90x4.0	S 235	0,758	N63	N64	nosník (80)
B61	CS6 - MSH90x90x4.0	S 235	0,717	N65	N66	nosník (80)
B62	CS6 - MSH90x90x4.0	S 235	0,675	N67	N68	nosník (80)
B63	CS6 - MSH90x90x4.0	S 235	0,633	N69	N70	nosník (80)
B64	CS6 - MSH90x90x4.0	S 235	0,591	N71	N72	nosník (80)
B65	CS7 - MSH70x70x4.0	S 235	0,548	N73	N62	nosník (80)
B66	CS6 - MSH90x90x4.0	S 235	0,591	N74	N75	nosník (80)
B67	CS6 - MSH90x90x4.0	S 235	0,633	N76	N77	nosník (80)
B68	CS6 - MSH90x90x4.0	S 235	0,675	N78	N79	nosník (80)
B69	CS6 - MSH90x90x4.0	S 235	0,717	N80	N81	nosník (80)
B70	CS5 - SHS100/100/5.0	S 235	1,198	N81	N78	nosník (80)
B71	CS5 - SHS100/100/5.0	S 235	1,150	N78	N77	nosník (80)
B72	CS6 - MSH90x90x4.0	S 235	1,150	N77	N74	nosník (80)
B73	CS6 - MSH90x90x4.0	S 235	1,140	N74	N62	nosník (80)
B74	CS7 - MSH70x70x4.0	S 235	1,140	N62	N72	nosník (80)
B75	CS7 - MSH70x70x4.0	S 235	1,150	N72	N70	nosník (80)
B76	CS5 - SHS100/100/5.0	S 235	1,150	N70	N67	nosník (80)
B77	CS5 - SHS100/100/5.0	S 235	1,198	N67	N66	nosník (80)
B78	CS5 - SHS100/100/5.0	S 235	1,198	N66	N64	nosník (80)
B79	CS5 - SHS100/100/5.0	S 235	1,250	N64	N58	nosník (80)
B80	CS4 - HEA220	S 235	4,152	N61	N82	nosník (80)
B81	CS5 - SHS100/100/5.0	S 235	1,198	N81	N83	nosník (80)
B82	CS5 - SHS100/100/5.0	S 235	1,250	N83	N61	nosník (80)
B83	CS6 - MSH90x90x4.0	S 235	0,758	N84	N83	nosník (80)
B165	CS4 - HEA220	S 235	4,152	N167	N168	nosník (80)
B166	CS4 - HEA220	S 235	4,086	N169	N170	nosník (80)
B167	CS2 - HEA140	S 235	10,075	N171	N172	nosník (80)
B168	CS2 - HEA140	S 235	4,279	N170	N173	nosník (80)
B169	CS2 - HEA140	S 235	5,805	N173	N168	nosník (80)
B170	CS6 - MSH90x90x4.0	S 235	0,758	N174	N175	nosník (80)
B171	CS6 - MSH90x90x4.0	S 235	0,717	N176	N177	nosník (80)
B172	CS6 - MSH90x90x4.0	S 235	0,675	N178	N179	nosník (80)
B173	CS6 - MSH90x90x4.0	S 235	0,633	N180	N181	nosník (80)
B174	CS6 - MSH90x90x4.0	S 235	0,591	N182	N183	nosník (80)
B175	CS7 - MSH70x70x4.0	S 235	0,548	N184	N173	nosník (80)
B176	CS6 - MSH90x90x4.0	S 235	0,591	N185	N186	nosník (80)
B177	CS6 - MSH90x90x4.0	S 235	0,633	N187	N188	nosník (80)
B178	CS6 - MSH90x90x4.0	S 235	0,675	N189	N190	nosník (80)
B179	CS6 - MSH90x90x4.0	S 235	0,717	N191	N192	nosník (80)
B180	CS6 - MSH90x90x4.0	S 235	0,818	N192	N171	nosník (80)
B181	CS5 - SHS100/100/5.0	S 235	1,198	N192	N189	nosník (80)
B182	CS5 - SHS100/100/5.0	S 235	1,150	N189	N188	nosník (80)
B183	CS6 - MSH90x90x4.0	S 235	1,150	N188	N185	nosník (80)
B184	CS6 - MSH90x90x4.0	S 235	1,140	N185	N173	nosník (80)
B185	CS7 - MSH70x70x4.0	S 235	1,140	N173	N183	nosník (80)
B186	CS7 - MSH70x70x4.0	S 235	1,150	N183	N181	nosník (80)
B187	CS5 - SHS100/100/5.0	S 235	1,150	N181	N178	nosník (80)
B188	CS5 - SHS100/100/5.0	S 235	1,198	N178	N177	nosník (80)
B189	CS5 - SHS100/100/5.0	S 235	1,198	N177	N175	nosník (80)
B190	CS5 - SHS100/100/5.0	S 235	1,250	N175	N168	nosník (80)

## 11.3. Posudek ocelových prvků na MSÚ EC-EN 1993

Lineární výpočet

Kombinace: MSÚ-B

Souřadný systém: Hlavní

Extrém 1D: Dílec

Výběr: Pojmenovaný výběr - rámy

**Celkový posudek**

Jméno	dx [m]	Stav	Průřez	Materiál	UC <sub>Celkový</sub> [-]	UC <sub>Průřez</sub> [-]	UC <sub>Stabilita</sub> [-]
B56	3,352-	MSÚ-B/1	CS4 - HEA220	S 235	<b>0,38</b>	0,38	0,28
B57	4,800+	MSÚ-B/2	CS3 - HEA160	S 235	<b>0,36</b>	0,36	0,00
B58	5,655-	MSÚ-B/2	CS3 - HEA160	S 235	<b>0,47</b>	0,34	0,47
B59	0,000	MSÚ-B/2	CS3 - HEA160	S 235	<b>0,48</b>	0,34	0,48
B60	0,000	MSÚ-B/2	CS6 - MSH90x90x4.0	S 235	<b>0,12</b>	0,12	0,07
B61	0,000	MSÚ-B/2	CS6 - MSH90x90x4.0	S 235	<b>0,12</b>	0,12	0,00
B62	0,675	MSÚ-B/2	CS6 - MSH90x90x4.0	S 235	<b>0,11</b>	0,11	0,07
B63	0,633	MSÚ-B/2	CS6 - MSH90x90x4.0	S 235	<b>0,12</b>	0,12	0,00
B64	0,000	MSÚ-B/2	CS6 - MSH90x90x4.0	S 235	<b>0,12</b>	0,12	0,08
B65	0,000	MSÚ-B/2	CS7 - MSH70x70x4.0	S 235	<b>0,02</b>	0,02	0,02
B66	0,591	MSÚ-B/3	CS6 - MSH90x90x4.0	S 235	<b>0,10</b>	0,10	0,07
B67	0,633	MSÚ-B/3	CS6 - MSH90x90x4.0	S 235	<b>0,10</b>	0,10	0,00
B68	0,675	MSÚ-B/3	CS6 - MSH90x90x4.0	S 235	<b>0,10</b>	0,10	0,06
B69	0,717	MSÚ-B/3	CS6 - MSH90x90x4.0	S 235	<b>0,10</b>	0,10	0,00
B70	0,000	MSÚ-B/3	CS5 - SHS100/100/5.0	S 235	<b>0,18</b>	0,18	0,00
B71	0,000	MSÚ-B/2	CS5 - SHS100/100/5.0	S 235	<b>0,19</b>	0,16	0,19
B72	0,000	MSÚ-B/3	CS6 - MSH90x90x4.0	S 235	<b>0,16</b>	0,16	0,00
B73	0,000	MSÚ-B/2	CS6 - MSH90x90x4.0	S 235	<b>0,15</b>	0,09	0,15
B74	1,140	MSÚ-B/2	CS7 - MSH70x70x4.0	S 235	<b>0,16</b>	0,11	0,16
B75	1,150	MSÚ-B/2	CS7 - MSH70x70x4.0	S 235	<b>0,19</b>	0,19	0,00
B76	1,150	MSÚ-B/2	CS5 - SHS100/100/5.0	S 235	<b>0,20</b>	0,17	0,20
B77	1,198	MSÚ-B/2	CS5 - SHS100/100/5.0	S 235	<b>0,20</b>	0,20	0,00
B78	1,198	MSÚ-B/2	CS5 - SHS100/100/5.0	S 235	<b>0,25</b>	0,23	0,25
B79	1,250	MSÚ-B/2	CS5 - SHS100/100/5.0	S 235	<b>0,25</b>	0,25	0,00
B80	0,800+	MSÚ-B/4	CS4 - HEA220	S 235	<b>0,41</b>	0,41	0,30
B81	1,198	MSÚ-B/2	CS5 - SHS100/100/5.0	S 235	<b>0,25</b>	0,22	0,25
B82	1,250	MSÚ-B/3	CS5 - SHS100/100/5.0	S 235	<b>0,27</b>	0,27	0,00
B83	0,758	MSÚ-B/3	CS6 - MSH90x90x4.0	S 235	<b>0,15</b>	0,15	0,07
B165	3,352-	MSÚ-B/1	CS4 - HEA220	S 235	<b>0,34</b>	0,34	0,28
B166	3,352-	MSÚ-B/4	CS4 - HEA220	S 235	<b>0,28</b>	0,28	0,23
B167	4,275+	MSÚ-B/3	CS2 - HEA140	S 235	<b>0,29</b>	0,29	0,00
B168	4,279	MSÚ-B/3	CS2 - HEA140	S 235	<b>0,33</b>	0,24	0,33
B169	0,000	MSÚ-B/3	CS2 - HEA140	S 235	<b>0,38</b>	0,29	0,38
B170	0,000	MSÚ-B/3	CS6 - MSH90x90x4.0	S 235	<b>0,09</b>	0,09	0,06
B171	0,000	MSÚ-B/3	CS6 - MSH90x90x4.0	S 235	<b>0,09</b>	0,09	0,00
B172	0,675	MSÚ-B/3	CS6 - MSH90x90x4.0	S 235	<b>0,07</b>	0,07	0,06
B173	0,633	MSÚ-B/3	CS6 - MSH90x90x4.0	S 235	<b>0,07</b>	0,07	0,00

Jméno	dx [m]	Stav	Průřez	Materiál	UC <sub>Celkový</sub> [-]	UC <sub>Průřez</sub> [-]	UC <sub>Stabilita</sub> [-]
B174	0,000	MSÚ-B/3	CS6 - MSH90x90x4.0	S 235	<b>0,06</b>	0,06	0,05
B175	0,548	MSÚ-B/3	CS7 - MSH70x70x4.0	S 235	<b>0,04</b>	0,04	0,03
B176	0,591	MSÚ-B/3	CS6 - MSH90x90x4.0	S 235	<b>0,10</b>	0,10	0,06
B177	0,633	MSÚ-B/3	CS6 - MSH90x90x4.0	S 235	<b>0,10</b>	0,10	0,00
B178	0,675	MSÚ-B/3	CS6 - MSH90x90x4.0	S 235	<b>0,10</b>	0,10	0,04
B179	0,000	MSÚ-B/3	CS6 - MSH90x90x4.0	S 235	<b>0,09</b>	0,09	0,00
B180	0,818	MSÚ-B/3	CS6 - MSH90x90x4.0	S 235	<b>0,18</b>	0,16	0,18
B181	0,000	MSÚ-B/3	CS5 - SHS100/100/5.0	S 235	<b>0,17</b>	0,17	0,00
B182	0,000	MSÚ-B/3	CS5 - SHS100/100/5.0	S 235	<b>0,19</b>	0,17	0,19
B183	0,000	MSÚ-B/3	CS6 - MSH90x90x4.0	S 235	<b>0,16</b>	0,16	0,00
B184	0,000	MSÚ-B/3	CS6 - MSH90x90x4.0	S 235	<b>0,17</b>	0,13	0,17
B185	1,140	MSÚ-B/3	CS7 - MSH70x70x4.0	S 235	<b>0,06</b>	0,02	0,06
B186	1,150	MSÚ-B/3	CS7 - MSH70x70x4.0	S 235	<b>0,10</b>	0,10	0,00
B187	1,150	MSÚ-B/3	CS5 - SHS100/100/5.0	S 235	<b>0,14</b>	0,11	0,14
B188	1,198	MSÚ-B/3	CS5 - SHS100/100/5.0	S 235	<b>0,14</b>	0,14	0,00
B189	1,198	MSÚ-B/3	CS5 - SHS100/100/5.0	S 235	<b>0,19</b>	0,17	0,19
B190	1,250	MSÚ-B/3	CS5 - SHS100/100/5.0	S 235	<b>0,19</b>	0,19	0,00

#### 11.4. Vnitřní síly na prutu

Lineární výpočet, Extrém : Dílec, Systém : Hlavní

Výběr : Pojmenovaný výběr - rámy

Kombinace : MSÚ-B

Dílec	css	dx [m]	Stav	N [kN]	Vz [kN]	My [kNm]
B166	CS4 - HEA220	0,000	MSÚ-B/18	<b>-106,23</b>	-9,14	0,00
B166	CS4 - HEA220	3,352	MSÚ-B/4	<b>22,22</b>	-3,19	16,75
B166	CS4 - HEA220	3,352	MSÚ-B/4	0,22	<b>-22,67</b>	16,63
B166	CS4 - HEA220	3,352	MSÚ-B/9	-7,79	<b>50,07</b>	-36,74
B166	CS4 - HEA220	3,352	MSÚ-B/9	-48,86	-6,77	<b>-37,16</b>
B166	CS4 - HEA220	2,607	MSÚ-B/4	15,38	0,45	<b>17,78</b>
B167	CS2 - HEA140	9,115	MSÚ-B/10	<b>-64,41</b>	-0,54	0,64
B167	CS2 - HEA140	4,275	MSÚ-B/18	<b>214,06</b>	-1,15	3,76
B167	CS2 - HEA140	9,115	MSÚ-B/18	90,45	<b>-1,94</b>	-0,24
B167	CS2 - HEA140	1,355	MSÚ-B/18	128,05	<b>2,75</b>	-0,24
B167	CS2 - HEA140	0,395	MSÚ-B/19	-24,81	1,68	<b>-0,62</b>
B167	CS2 - HEA140	4,275	MSÚ-B/18	213,17	2,45	<b>3,99</b>
B168	CS2 - HEA140	4,279	MSÚ-B/18	<b>-179,44</b>	-3,10	3,23
B168	CS2 - HEA140	0,000	MSÚ-B/9	<b>50,42</b>	0,43	0,00
B168	CS2 - HEA140	4,279	MSÚ-B/19	-142,49	<b>-3,49</b>	2,52
B168	CS2 - HEA140	3,278	MSÚ-B/18	-179,21	<b>2,59</b>	1,59
B168	CS2 - HEA140	0,395	MSÚ-B/19	-36,87	2,12	<b>-0,95</b>
B168	CS2 - HEA140	4,129	MSÚ-B/18	-179,44	-3,06	<b>3,69</b>
B177	CS6 - MSH90x90x4.0	0,000	MSÚ-B/4	<b>-1,99</b>	<b>-0,66</b>	0,21
B177	CS6 - MSH90x90x4.0	0,633	MSÚ-B/19	<b>15,91</b>	-3,00	-0,95
B177	CS6 - MSH90x90x4.0	0,000	MSÚ-B/18	15,72	<b>-3,37</b>	<b>1,06</b>
B177	CS6 - MSH90x90x4.0	0,633	MSÚ-B/18	15,80	-3,37	<b>-1,07</b>

Dílec	css	dx [m]	Stav	N [kN]	Vz [kN]	My [kNm]
B178	CS6 - MSH90x90x4.0	0,000	MSÚ-B/20	<b>-1,04</b>	-0,64	0,21
B178	CS6 - MSH90x90x4.0	0,675	MSÚ-B/21	<b>-0,29</b>	-2,66	-0,90
B178	CS6 - MSH90x90x4.0	0,000	MSÚ-B/18	-0,52	<b>-3,09</b>	<b>1,03</b>
B178	CS6 - MSH90x90x4.0	0,000	MSÚ-B/4	-0,97	<b>-0,43</b>	0,14
B178	CS6 - MSH90x90x4.0	0,675	MSÚ-B/18	-0,44	-3,09	<b>-1,05</b>
B179	CS6 - MSH90x90x4.0	0,000	MSÚ-B/22	<b>0,71</b>	-0,59	0,22
B179	CS6 - MSH90x90x4.0	0,717	MSÚ-B/8	<b>2,84</b>	-2,27	-0,80
B179	CS6 - MSH90x90x4.0	0,000	MSÚ-B/18	2,25	<b>-2,59</b>	<b>0,95</b>
B179	CS6 - MSH90x90x4.0	0,000	MSÚ-B/4	0,88	<b>-0,58</b>	0,21
B179	CS6 - MSH90x90x4.0	0,717	MSÚ-B/18	2,34	-2,59	<b>-0,91</b>
B180	CS6 - MSH90x90x4.0	0,818	MSÚ-B/18	<b>-50,49</b>	0,36	<b>0,00</b>
B180	CS6 - MSH90x90x4.0	0,000	MSÚ-B/4	<b>-12,00</b>	0,08	-0,05
B180	CS6 - MSH90x90x4.0	0,818	MSÚ-B/22	-12,22	<b>0,03</b>	0,00
B180	CS6 - MSH90x90x4.0	0,000	MSÚ-B/19	-48,23	<b>0,42</b>	<b>-0,33</b>
B181	CS5 - SHS100/100/5.0	1,198	MSÚ-B/4	<b>13,24</b>	-0,07	0,07
B181	CS5 - SHS100/100/5.0	0,000	MSÚ-B/18	<b>75,37</b>	-0,07	0,13
B181	CS5 - SHS100/100/5.0	1,198	MSÚ-B/18	75,25	<b>-0,23</b>	-0,05
B181	CS5 - SHS100/100/5.0	0,000	MSÚ-B/20	18,76	<b>0,07</b>	0,08
B181	CS5 - SHS100/100/5.0	1,198	MSÚ-B/9	55,43	-0,18	<b>-0,09</b>
B181	CS5 - SHS100/100/5.0	0,000	MSÚ-B/23	64,80	-0,06	<b>0,14</b>
B182	CS5 - SHS100/100/5.0	0,000	MSÚ-B/18	<b>-75,15</b>	-0,07	<b>0,30</b>
B182	CS5 - SHS100/100/5.0	1,150	MSÚ-B/4	<b>-10,00</b>	-0,13	0,04
B182	CS5 - SHS100/100/5.0	1,150	MSÚ-B/24	-62,25	<b>-0,25</b>	0,08
B182	CS5 - SHS100/100/5.0	0,000	MSÚ-B/22	-13,28	<b>0,07</b>	0,07
B182	CS5 - SHS100/100/5.0	1,150	MSÚ-B/12	-23,10	-0,15	<b>-0,05</b>
B183	CS6 - MSH90x90x4.0	1,150	MSÚ-B/4	<b>12,28</b>	-0,03	0,07
B183	CS6 - MSH90x90x4.0	0,000	MSÚ-B/18	<b>51,38</b>	0,02	0,25
B183	CS6 - MSH90x90x4.0	1,150	MSÚ-B/25	33,56	<b>-0,11</b>	0,14
B183	CS6 - MSH90x90x4.0	0,000	MSÚ-B/26	27,71	<b>0,08</b>	0,11
B183	CS6 - MSH90x90x4.0	0,000	MSÚ-B/12	18,30	0,06	<b>0,01</b>
B183	CS6 - MSH90x90x4.0	0,383	MSÚ-B/18	51,35	-0,01	<b>0,26</b>
B165	CS4 - HEA220	0,000	MSÚ-B/17	<b>-122,88</b>	14,14	0,00
B165	CS4 - HEA220	4,152	MSÚ-B/12	<b>-4,84</b>	<b>22,64</b>	0,00
B165	CS4 - HEA220	4,152	MSÚ-B/10	-48,45	<b>-56,65</b>	0,00
B165	CS4 - HEA220	2,607	MSÚ-B/12	-12,99	-0,42	<b>-17,72</b>
B165	CS4 - HEA220	3,352	MSÚ-B/10	-75,60	9,12	<b>45,04</b>
B169	CS2 - HEA140	0,000	MSÚ-B/18	<b>-211,06</b>	3,63	3,19
B169	CS2 - HEA140	5,805	MSÚ-B/4	<b>14,03</b>	-0,24	0,00
B169	CS2 - HEA140	3,884	MSÚ-B/27	-124,36	<b>-2,31</b>	0,01
B169	CS2 - HEA140	0,000	MSÚ-B/27	-190,34	<b>3,84</b>	2,78
B169	CS2 - HEA140	4,845	MSÚ-B/1	5,50	-1,08	<b>-0,27</b>
B169	CS2 - HEA140	0,201	MSÚ-B/18	-210,85	-1,61	<b>3,91</b>
B170	CS6 - MSH90x90x4.0	0,758	MSÚ-B/27	<b>-6,15</b>	2,39	0,90
B170	CS6 - MSH90x90x4.0	0,000	MSÚ-B/12	<b>0,59</b>	<b>0,31</b>	-0,12
B170	CS6 - MSH90x90x4.0	0,000	MSÚ-B/18	-5,89	<b>2,45</b>	<b>-0,93</b>
B170	CS6 - MSH90x90x4.0	0,758	MSÚ-B/18	-5,98	2,45	<b>0,93</b>
B171	CS6 - MSH90x90x4.0	0,000	MSÚ-B/28	<b>1,24</b>	1,47	-0,53
B171	CS6 - MSH90x90x4.0	0,717	MSÚ-B/29	<b>2,44</b>	1,16	0,41
B171	CS6 - MSH90x90x4.0	0,000	MSÚ-B/12	1,80	<b>0,26</b>	-0,09
B171	CS6 - MSH90x90x4.0	0,000	MSÚ-B/18	1,74	<b>2,45</b>	<b>-0,89</b>
B171	CS6 - MSH90x90x4.0	0,717	MSÚ-B/18	1,83	2,45	<b>0,87</b>
B172	CS6 - MSH90x90x4.0	0,000	MSÚ-B/18	<b>-8,12</b>	<b>2,24</b>	<b>-0,75</b>
B172	CS6 - MSH90x90x4.0	0,675	MSÚ-B/15	<b>1,04</b>	0,39	0,13
B172	CS6 - MSH90x90x4.0	0,000	MSÚ-B/12	0,90	<b>0,23</b>	-0,08
B172	CS6 - MSH90x90x4.0	0,675	MSÚ-B/18	-8,04	2,24	<b>0,77</b>
B187	CS5 - SHS100/100/5.0	1,150	MSÚ-B/18	<b>-47,96</b>	0,11	<b>0,48</b>
B187	CS5 - SHS100/100/5.0	0,000	MSÚ-B/12	<b>-4,89</b>	0,10	0,06
B187	CS5 - SHS100/100/5.0	1,150	MSÚ-B/22	-14,80	<b>-0,07</b>	0,11
B187	CS5 - SHS100/100/5.0	0,000	MSÚ-B/27	-46,64	<b>0,28</b>	0,21
B187	CS5 - SHS100/100/5.0	0,000	MSÚ-B/4	-21,33	0,16	<b>0,03</b>
B188	CS5 - SHS100/100/5.0	0,000	MSÚ-B/12	<b>6,13</b>	0,05	0,07
B188	CS5 - SHS100/100/5.0	1,198	MSÚ-B/18	<b>61,48</b>	0,04	<b>0,34</b>
B188	CS5 - SHS100/100/5.0	1,198	MSÚ-B/30	10,81	<b>-0,09</b>	0,08
B188	CS5 - SHS100/100/5.0	0,000	MSÚ-B/6	50,25	<b>0,21</b>	0,14



Dílec	css	dx [m]	Stav	N [kN]	Vz [kN]	My [kNm]
B188	CS5 - SHS100/100/5.0	0,000	MSÚ-B/22	19,46	0,16	<b>0,02</b>
B189	CS5 - SHS100/100/5.0	1,198	MSÚ-B/18	<b>-75,82</b>	0,14	<b>0,26</b>
B189	CS5 - SHS100/100/5.0	0,000	MSÚ-B/12	<b>-8,31</b>	0,12	0,02
B189	CS5 - SHS100/100/5.0	1,198	MSÚ-B/22	-21,63	<b>-0,05</b>	0,05
B189	CS5 - SHS100/100/5.0	0,000	MSÚ-B/27	-74,62	<b>0,31</b>	-0,04
B189	CS5 - SHS100/100/5.0	0,000	MSÚ-B/20	-37,16	0,20	<b>-0,07</b>
B190	CS5 - SHS100/100/5.0	0,000	MSÚ-B/12	<b>9,62</b>	0,05	0,03
B190	CS5 - SHS100/100/5.0	1,250	MSÚ-B/18	<b>84,66</b>	-0,01	0,00
B190	CS5 - SHS100/100/5.0	1,250	MSÚ-B/30	16,17	<b>-0,10</b>	0,00
B190	CS5 - SHS100/100/5.0	0,000	MSÚ-B/17	78,03	<b>0,19</b>	-0,12
B190	CS5 - SHS100/100/5.0	0,000	MSÚ-B/10	72,51	0,18	<b>-0,13</b>
B190	CS5 - SHS100/100/5.0	0,417	MSÚ-B/12	9,66	0,00	<b>0,04</b>
B173	CS6 - MSH90x90x4.0	0,000	MSÚ-B/12	<b>1,86</b>	<b>0,20</b>	-0,06
B173	CS6 - MSH90x90x4.0	0,633	MSÚ-B/18	<b>12,24</b>	2,23	<b>0,72</b>
B173	CS6 - MSH90x90x4.0	0,000	MSÚ-B/18	12,16	<b>2,23</b>	<b>-0,70</b>
B174	CS6 - MSH90x90x4.0	0,591	MSÚ-B/18	<b>-8,99</b>	1,86	<b>0,52</b>
B174	CS6 - MSH90x90x4.0	0,000	MSÚ-B/12	<b>0,56</b>	<b>0,05</b>	-0,02
B174	CS6 - MSH90x90x4.0	0,000	MSÚ-B/18	-8,92	<b>1,86</b>	<b>-0,58</b>
B175	CS7 - MSH70x70x4.0	0,000	MSÚ-B/18	<b>-1,78</b>	<b>-0,88</b>	<b>0,24</b>
B175	CS7 - MSH70x70x4.0	0,548	MSÚ-B/12	<b>1,00</b>	-0,36	-0,10
B175	CS7 - MSH70x70x4.0	0,000	MSÚ-B/4	0,61	<b>-0,13</b>	0,03
B175	CS7 - MSH70x70x4.0	0,548	MSÚ-B/18	-1,73	-0,88	<b>-0,25</b>
B176	CS6 - MSH90x90x4.0	0,000	MSÚ-B/18	<b>-5,38</b>	<b>-3,53</b>	<b>1,01</b>
B176	CS6 - MSH90x90x4.0	0,591	MSÚ-B/4	<b>-0,09</b>	-0,93	-0,28
B176	CS6 - MSH90x90x4.0	0,000	MSÚ-B/4	-0,16	<b>-0,93</b>	0,27
B176	CS6 - MSH90x90x4.0	0,591	MSÚ-B/18	-5,30	-3,53	<b>-1,07</b>
B184	CS6 - MSH90x90x4.0	0,000	MSÚ-B/18	<b>-40,26</b>	<b>0,23</b>	0,27
B184	CS6 - MSH90x90x4.0	1,140	MSÚ-B/22	<b>-9,41</b>	0,03	0,18
B184	CS6 - MSH90x90x4.0	1,140	MSÚ-B/7	-18,44	<b>-0,04</b>	0,16
B184	CS6 - MSH90x90x4.0	0,000	MSÚ-B/12	-14,49	0,08	<b>0,05</b>
B184	CS6 - MSH90x90x4.0	1,140	MSÚ-B/18	-40,19	0,11	<b>0,46</b>
B185	CS7 - MSH70x70x4.0	1,140	MSÚ-B/1	<b>-6,92</b>	-0,10	0,08
B185	CS7 - MSH70x70x4.0	0,000	MSÚ-B/12	<b>1,98</b>	<b>0,03</b>	0,04
B185	CS7 - MSH70x70x4.0	1,140	MSÚ-B/31	-4,90	<b>-0,15</b>	0,12
B185	CS7 - MSH70x70x4.0	1,140	MSÚ-B/12	1,93	-0,05	<b>0,02</b>
B185	CS7 - MSH70x70x4.0	0,000	MSÚ-B/18	-5,18	-0,06	<b>0,25</b>
B186	CS7 - MSH70x70x4.0	0,000	MSÚ-B/12	<b>1,04</b>	0,03	0,03
B186	CS7 - MSH70x70x4.0	1,150	MSÚ-B/18	<b>24,93</b>	-0,06	0,13
B186	CS7 - MSH70x70x4.0	1,150	MSÚ-B/17	21,78	<b>-0,08</b>	0,10
B186	CS7 - MSH70x70x4.0	0,000	MSÚ-B/32	12,01	<b>0,06</b>	0,04
B186	CS7 - MSH70x70x4.0	1,150	MSÚ-B/12	1,09	-0,04	<b>0,02</b>
B186	CS7 - MSH70x70x4.0	0,383	MSÚ-B/18	24,89	0,00	<b>0,15</b>
B56	CS4 - HEA220	0,000	MSÚ-B/31	<b>-140,73</b>	12,74	0,00
B56	CS4 - HEA220	4,152	MSÚ-B/12	<b>-9,66</b>	<b>27,01</b>	0,00
B56	CS4 - HEA220	4,152	MSÚ-B/10	-57,53	<b>-63,55</b>	0,00
B56	CS4 - HEA220	2,958	MSÚ-B/12	-14,76	0,22	<b>-20,58</b>
B56	CS4 - HEA220	3,352	MSÚ-B/10	-83,29	10,83	<b>50,50</b>
B57	CS3 - HEA160	0,000	MSÚ-B/9	<b>-79,70</b>	0,30	0,00
B57	CS3 - HEA160	4,800	MSÚ-B/23	<b>329,72</b>	3,52	4,40
B57	CS3 - HEA160	1,920	MSÚ-B/19	93,19	<b>-11,57</b>	0,71
B57	CS3 - HEA160	0,960	MSÚ-B/18	128,40	<b>13,77</b>	-1,86
B57	CS3 - HEA160	0,960	MSÚ-B/19	92,91	13,32	<b>-2,03</b>
B57	CS3 - HEA160	5,800	MSÚ-B/23	329,64	-3,11	<b>7,78</b>
B59	CS3 - HEA160	0,000	MSÚ-B/23	<b>-311,72</b>	1,88	7,29
B59	CS3 - HEA160	5,805	MSÚ-B/4	<b>11,22</b>	-0,41	0,00
B59	CS3 - HEA160	1,962	MSÚ-B/23	-306,46	<b>-4,06</b>	2,22
B59	CS3 - HEA160	0,000	MSÚ-B/10	-203,10	<b>2,78</b>	4,38
B59	CS3 - HEA160	4,845	MSÚ-B/4	10,16	-0,86	<b>-0,22</b>
B59	CS3 - HEA160	0,201	MSÚ-B/23	-311,72	1,82	<b>7,66</b>
B60	CS6 - MSH90x90x4.0	0,758	MSÚ-B/27	<b>-6,64</b>	3,12	1,18
B60	CS6 - MSH90x90x4.0	0,000	MSÚ-B/12	<b>0,69</b>	<b>0,59</b>	-0,22
B60	CS6 - MSH90x90x4.0	0,000	MSÚ-B/23	-6,47	<b>3,33</b>	<b>-1,26</b>
B60	CS6 - MSH90x90x4.0	0,758	MSÚ-B/23	-6,56	3,33	<b>1,26</b>
B61	CS6 - MSH90x90x4.0	0,000	MSÚ-B/2	<b>1,56</b>	1,41	-0,51

Dílec	css	dx [m]	Stav	N [kN]	Vz [kN]	My [kNm]
B61	CS6 - MSH90x90x4.0	0,717	MSÚ-B/8	<b>2,68</b>	2,37	0,84
B61	CS6 - MSH90x90x4.0	0,000	MSÚ-B/12	1,94	<b>0,59</b>	-0,21
B61	CS6 - MSH90x90x4.0	0,000	MSÚ-B/23	1,96	<b>3,38</b>	<b>-1,22</b>
B61	CS6 - MSH90x90x4.0	0,717	MSÚ-B/23	2,04	3,38	<b>1,20</b>
B62	CS6 - MSH90x90x4.0	0,000	MSÚ-B/18	<b>-7,91</b>	3,31	-1,11
B62	CS6 - MSH90x90x4.0	0,675	MSÚ-B/15	<b>1,33</b>	0,94	0,32
B62	CS6 - MSH90x90x4.0	0,000	MSÚ-B/12	1,10	<b>0,65</b>	-0,21
B62	CS6 - MSH90x90x4.0	0,000	MSÚ-B/23	-7,90	<b>3,33</b>	<b>-1,11</b>
B62	CS6 - MSH90x90x4.0	0,675	MSÚ-B/23	-7,82	3,33	<b>1,13</b>
B63	CS6 - MSH90x90x4.0	0,000	MSÚ-B/12	<b>3,87</b>	<b>0,77</b>	-0,24
B63	CS6 - MSH90x90x4.0	0,633	MSÚ-B/18	<b>15,25</b>	3,77	1,20
B63	CS6 - MSH90x90x4.0	0,000	MSÚ-B/23	15,13	<b>3,80</b>	<b>-1,20</b>
B63	CS6 - MSH90x90x4.0	0,633	MSÚ-B/23	15,20	3,80	<b>1,21</b>
B75	CS7 - MSH70x70x4.0	0,000	MSÚ-B/12	<b>8,41</b>	0,04	0,04
B75	CS7 - MSH70x70x4.0	1,150	MSÚ-B/23	<b>46,35</b>	-0,03	0,16
B75	CS7 - MSH70x70x4.0	1,150	MSÚ-B/33	27,46	<b>-0,06</b>	0,09
B75	CS7 - MSH70x70x4.0	0,000	MSÚ-B/31	42,62	<b>0,07</b>	0,14
B75	CS7 - MSH70x70x4.0	1,150	MSÚ-B/4	14,71	-0,04	<b>0,04</b>
B75	CS7 - MSH70x70x4.0	0,767	MSÚ-B/18	45,90	0,00	<b>0,17</b>
B76	CS5 - SHS100/100/5.0	1,150	MSÚ-B/23	<b>-74,91</b>	0,33	0,64
B76	CS5 - SHS100/100/5.0	0,000	MSÚ-B/12	<b>-15,22</b>	0,16	0,07
B76	CS5 - SHS100/100/5.0	1,150	MSÚ-B/12	-15,31	<b>0,02</b>	0,17
B76	CS5 - SHS100/100/5.0	0,000	MSÚ-B/23	-74,81	<b>0,49</b>	0,17
B76	CS5 - SHS100/100/5.0	0,000	MSÚ-B/4	-27,96	0,23	<b>0,01</b>
B76	CS5 - SHS100/100/5.0	1,150	MSÚ-B/18	-74,46	0,33	<b>0,64</b>
B77	CS5 - SHS100/100/5.0	0,000	MSÚ-B/12	<b>15,48</b>	0,10	0,07
B77	CS5 - SHS100/100/5.0	1,198	MSÚ-B/23	<b>85,84</b>	0,21	0,47
B77	CS5 - SHS100/100/5.0	1,198	MSÚ-B/12	15,58	<b>-0,04</b>	0,11
B77	CS5 - SHS100/100/5.0	0,000	MSÚ-B/23	85,72	<b>0,37</b>	0,12
B77	CS5 - SHS100/100/5.0	0,000	MSÚ-B/4	32,07	0,16	<b>0,00</b>
B77	CS5 - SHS100/100/5.0	1,198	MSÚ-B/18	85,46	0,21	<b>0,47</b>
B78	CS5 - SHS100/100/5.0	1,198	MSÚ-B/23	<b>-100,57</b>	0,36	0,42
B78	CS5 - SHS100/100/5.0	0,000	MSÚ-B/12	<b>-16,98</b>	0,17	0,00
B78	CS5 - SHS100/100/5.0	1,198	MSÚ-B/12	-17,09	<b>0,03</b>	0,13
B78	CS5 - SHS100/100/5.0	0,000	MSÚ-B/23	-100,45	<b>0,52</b>	-0,11
B78	CS5 - SHS100/100/5.0	0,000	MSÚ-B/10	-77,89	0,44	<b>-0,15</b>
B78	CS5 - SHS100/100/5.0	1,198	MSÚ-B/18	-100,22	0,36	<b>0,42</b>
B79	CS5 - SHS100/100/5.0	0,000	MSÚ-B/12	<b>17,42</b>	0,05	0,02
B79	CS5 - SHS100/100/5.0	1,250	MSÚ-B/23	<b>108,66</b>	0,04	0,00
B79	CS5 - SHS100/100/5.0	1,250	MSÚ-B/30	25,85	<b>-0,08</b>	0,00
B79	CS5 - SHS100/100/5.0	0,000	MSÚ-B/17	96,15	<b>0,23</b>	-0,16
B79	CS5 - SHS100/100/5.0	0,000	MSÚ-B/27	103,10	0,22	<b>-0,17</b>
B79	CS5 - SHS100/100/5.0	0,417	MSÚ-B/12	17,46	0,01	<b>0,03</b>
B58	CS3 - HEA160	5,805	MSÚ-B/23	<b>-310,65</b>	-2,70	6,93
B58	CS3 - HEA160	1,527	MSÚ-B/12	<b>15,62</b>	0,81	0,17
B58	CS3 - HEA160	5,805	MSÚ-B/19	-266,58	<b>-3,22</b>	5,84
B58	CS3 - HEA160	3,844	MSÚ-B/23	-307,27	<b>3,48</b>	2,56
B58	CS3 - HEA160	0,961	MSÚ-B/12	14,00	0,88	<b>-0,28</b>
B58	CS3 - HEA160	5,655	MSÚ-B/23	-310,61	2,92	<b>7,34</b>
B64	CS6 - MSH90x90x4.0	0,591	MSÚ-B/18	<b>-9,62</b>	4,00	1,14
B64	CS6 - MSH90x90x4.0	0,000	MSÚ-B/12	<b>0,43</b>	<b>0,79</b>	-0,24
B64	CS6 - MSH90x90x4.0	0,000	MSÚ-B/23	-9,54	<b>4,05</b>	<b>-1,24</b>
B64	CS6 - MSH90x90x4.0	0,591	MSÚ-B/23	-9,61	4,05	<b>1,16</b>
B65	CS7 - MSH70x70x4.0	0,000	MSÚ-B/18	<b>-4,48</b>	0,06	-0,02
B65	CS7 - MSH70x70x4.0	0,548	MSÚ-B/4	<b>0,06</b>	-0,06	-0,02
B65	CS7 - MSH70x70x4.0	0,000	MSÚ-B/34	-0,74	<b>-0,36</b>	<b>0,09</b>
B65	CS7 - MSH70x70x4.0	0,000	MSÚ-B/14	-1,86	<b>0,26</b>	-0,07
B65	CS7 - MSH70x70x4.0	0,548	MSÚ-B/34	-0,69	-0,36	<b>-0,11</b>
B73	CS6 - MSH90x90x4.0	0,000	MSÚ-B/27	<b>-29,37</b>	0,19	0,34
B73	CS6 - MSH90x90x4.0	1,140	MSÚ-B/15	<b>-9,66</b>	0,04	0,26
B73	CS6 - MSH90x90x4.0	1,140	MSÚ-B/7	-18,29	<b>-0,03</b>	0,18
B73	CS6 - MSH90x90x4.0	0,000	MSÚ-B/18	-29,17	<b>0,27</b>	0,40
B73	CS6 - MSH90x90x4.0	0,000	MSÚ-B/12	-12,39	0,10	<b>0,11</b>
B73	CS6 - MSH90x90x4.0	1,140	MSÚ-B/23	-28,79	0,14	<b>0,63</b>



Dílec	css	dx [m]	Stav	N [kN]	Vz [kN]	My [kNm]
B74	CS7 - MSH70x70x4.0	1,140	MSÚ-B/23	<b>-27,43</b>	-0,15	0,18
B74	CS7 - MSH70x70x4.0	0,000	MSÚ-B/12	<b>-5,43</b>	<b>0,02</b>	0,07
B74	CS7 - MSH70x70x4.0	1,140	MSÚ-B/31	-24,83	<b>-0,15</b>	0,16
B74	CS7 - MSH70x70x4.0	1,140	MSÚ-B/12	-5,48	-0,06	<b>0,05</b>
B74	CS7 - MSH70x70x4.0	0,000	MSÚ-B/18	-26,84	-0,06	<b>0,29</b>
B66	CS6 - MSH90x90x4.0	0,000	MSÚ-B/18	<b>-9,89</b>	<b>-3,38</b>	<b>0,97</b>
B66	CS6 - MSH90x90x4.0	0,591	MSÚ-B/4	<b>0,68</b>	-0,94	-0,28
B66	CS6 - MSH90x90x4.0	0,000	MSÚ-B/4	0,62	<b>-0,94</b>	0,27
B66	CS6 - MSH90x90x4.0	0,591	MSÚ-B/18	-9,82	-3,38	<b>-1,03</b>
B67	CS6 - MSH90x90x4.0	0,000	MSÚ-B/4	<b>2,26</b>	<b>-0,79</b>	0,25
B67	CS6 - MSH90x90x4.0	0,633	MSÚ-B/19	<b>12,41</b>	-3,06	-0,97
B67	CS6 - MSH90x90x4.0	0,000	MSÚ-B/18	12,21	<b>-3,38</b>	<b>1,06</b>
B67	CS6 - MSH90x90x4.0	0,633	MSÚ-B/18	12,28	-3,38	<b>-1,07</b>
B71	CS5 - SHS100/100/5.0	0,000	MSÚ-B/18	<b>-70,34</b>	-0,20	0,56
B71	CS5 - SHS100/100/5.0	1,150	MSÚ-B/4	<b>-15,70</b>	-0,16	0,05
B71	CS5 - SHS100/100/5.0	1,150	MSÚ-B/35	-66,57	<b>-0,36</b>	0,21
B71	CS5 - SHS100/100/5.0	0,000	MSÚ-B/4	-15,79	<b>-0,02</b>	0,15
B71	CS5 - SHS100/100/5.0	1,150	MSÚ-B/12	-28,56	-0,20	<b>0,01</b>
B71	CS5 - SHS100/100/5.0	0,000	MSÚ-B/23	-70,11	-0,20	<b>0,57</b>
B72	CS6 - MSH90x90x4.0	1,150	MSÚ-B/4	<b>11,97</b>	-0,05	0,08
B72	CS6 - MSH90x90x4.0	0,000	MSÚ-B/18	<b>49,87</b>	0,02	0,37
B72	CS6 - MSH90x90x4.0	1,150	MSÚ-B/31	47,01	<b>-0,10</b>	0,30
B72	CS6 - MSH90x90x4.0	0,000	MSÚ-B/29	33,03	<b>0,06</b>	0,22
B72	CS6 - MSH90x90x4.0	0,000	MSÚ-B/4	12,04	0,05	<b>0,08</b>
B72	CS6 - MSH90x90x4.0	0,383	MSÚ-B/23	49,45	-0,01	<b>0,37</b>
B80	CS4 - HEA220	4,152	MSÚ-B/31	<b>-131,94</b>	-13,04	0,00
B80	CS4 - HEA220	0,000	MSÚ-B/4	<b>-6,67</b>	<b>-23,21</b>	0,14
B80	CS4 - HEA220	0,000	MSÚ-B/9	-62,77	<b>68,79</b>	0,34
B80	CS4 - HEA220	1,588	MSÚ-B/4	-20,30	0,76	<b>-17,88</b>
B80	CS4 - HEA220	0,800	MSÚ-B/9	-79,06	-12,19	<b>55,00</b>
B81	CS5 - SHS100/100/5.0	1,198	MSÚ-B/18	<b>-98,45</b>	0,71	0,73
B81	CS5 - SHS100/100/5.0	0,000	MSÚ-B/4	<b>-14,53</b>	0,10	0,00
B81	CS5 - SHS100/100/5.0	1,198	MSÚ-B/4	-14,63	<b>-0,03</b>	0,04
B81	CS5 - SHS100/100/5.0	0,000	MSÚ-B/18	-98,33	<b>0,86</b>	-0,21
B81	CS5 - SHS100/100/5.0	0,000	MSÚ-B/19	-93,85	0,86	<b>-0,26</b>
B81	CS5 - SHS100/100/5.0	1,198	MSÚ-B/23	-98,20	0,70	<b>0,73</b>
B82	CS5 - SHS100/100/5.0	0,000	MSÚ-B/4	<b>11,66</b>	-0,12	0,10
B82	CS5 - SHS100/100/5.0	1,250	MSÚ-B/18	<b>118,30</b>	-0,32	-0,44
B82	CS5 - SHS100/100/5.0	1,250	MSÚ-B/17	76,40	<b>-0,37</b>	-0,36
B82	CS5 - SHS100/100/5.0	0,000	MSÚ-B/12	44,68	<b>0,01</b>	-0,09
B82	CS5 - SHS100/100/5.0	1,250	MSÚ-B/23	117,86	-0,32	<b>-0,44</b>
B82	CS5 - SHS100/100/5.0	0,000	MSÚ-B/7	17,80	-0,14	<b>0,10</b>
B83	CS6 - MSH90x90x4.0	0,758	MSÚ-B/18	<b>-2,47</b>	-3,98	<b>-1,58</b>
B83	CS6 - MSH90x90x4.0	0,000	MSÚ-B/4	<b>0,64</b>	<b>-0,37</b>	0,15
B83	CS6 - MSH90x90x4.0	0,000	MSÚ-B/18	-2,38	<b>-3,98</b>	<b>1,44</b>
B68	CS6 - MSH90x90x4.0	0,000	MSÚ-B/23	<b>-5,58</b>	-2,94	0,98
B68	CS6 - MSH90x90x4.0	0,675	MSÚ-B/7	<b>0,57</b>	-0,91	-0,31
B68	CS6 - MSH90x90x4.0	0,000	MSÚ-B/18	-5,58	<b>-2,95</b>	<b>0,98</b>
B68	CS6 - MSH90x90x4.0	0,000	MSÚ-B/4	0,46	<b>-0,64</b>	0,21
B68	CS6 - MSH90x90x4.0	0,675	MSÚ-B/18	-5,50	-2,95	<b>-1,00</b>
B69	CS6 - MSH90x90x4.0	0,000	MSÚ-B/4	<b>-0,75</b>	<b>-0,70</b>	0,26
B69	CS6 - MSH90x90x4.0	0,717	MSÚ-B/18	<b>16,36</b>	-2,57	<b>-0,99</b>
B69	CS6 - MSH90x90x4.0	0,000	MSÚ-B/18	16,27	<b>-2,57</b>	<b>0,85</b>
B70	CS5 - SHS100/100/5.0	1,198	MSÚ-B/4	<b>16,84</b>	-0,09	0,06
B70	CS5 - SHS100/100/5.0	0,000	MSÚ-B/18	<b>77,69</b>	-0,27	0,50
B70	CS5 - SHS100/100/5.0	1,198	MSÚ-B/18	77,57	<b>-0,43</b>	0,08
B70	CS5 - SHS100/100/5.0	0,000	MSÚ-B/4	16,95	<b>0,05</b>	0,08
B70	CS5 - SHS100/100/5.0	1,198	MSÚ-B/12	31,16	-0,17	<b>-0,02</b>
B70	CS5 - SHS100/100/5.0	0,000	MSÚ-B/23	77,45	-0,26	<b>0,50</b>

## 11.5. Požární odolnost ocelových prvků EC-EN 1993 - 15 minut

Lineární výpočet  
Kombinace: POŽÁR

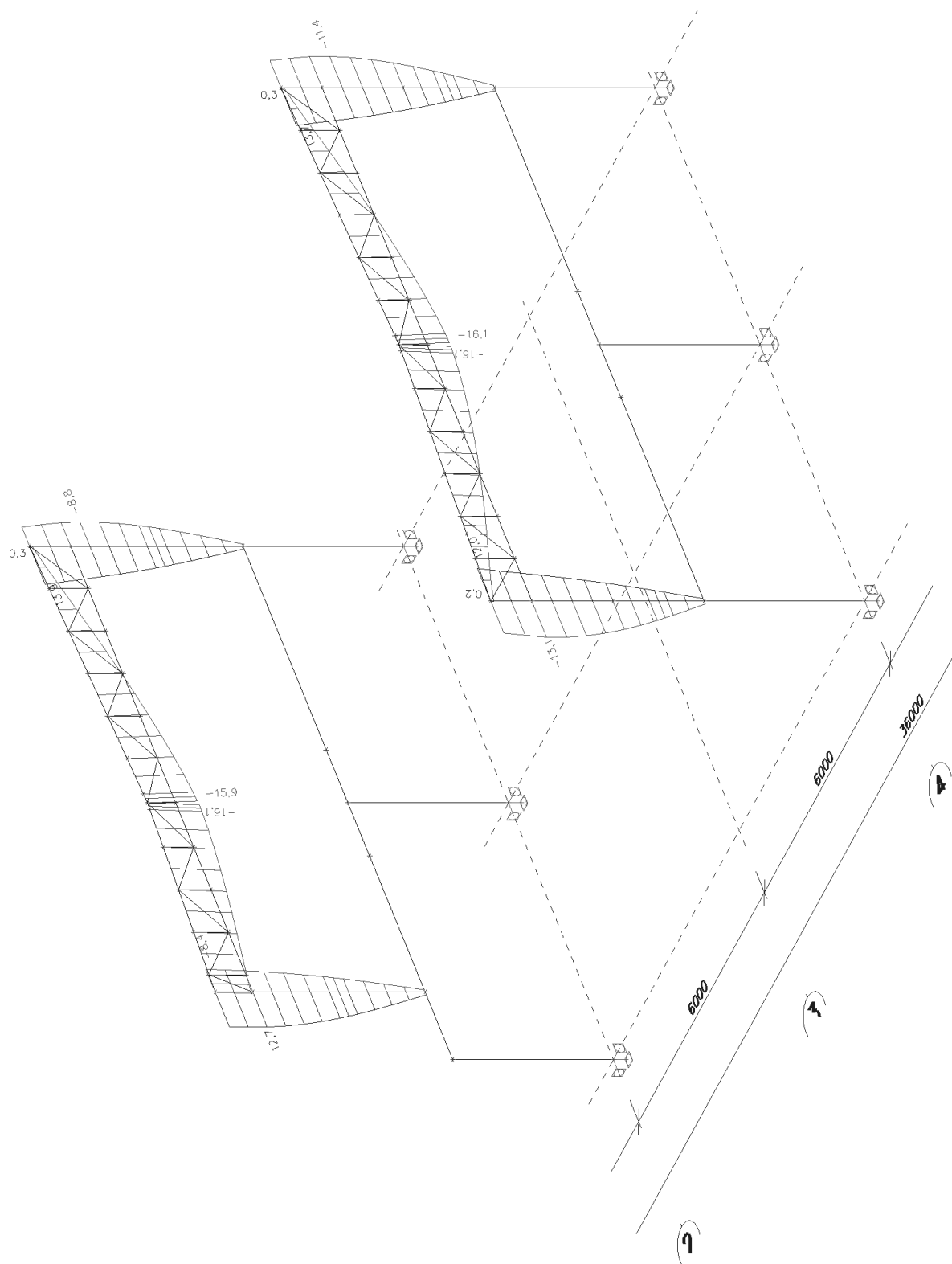
Souřadný systém: Hlavní  
Extrém 1D: Dílec  
Výběr: Pojmenovaný výběr - rámy  
**Celkový posudek**

Jméno	dx [m]	Stav	Průřez	Materiál	UC <sub>Celkový</sub> [-]	UC <sub>Teplota</sub> [-]	UC <sub>Průřez</sub> [-]	UC <sub>Stabilita</sub> [-]	Kritická tepl. [°C]
B56	3,352-	POŽÁR/1	CS4 - HEA220	S 235	<b>0,87</b>	0,87	0,64	0,99	698,73
B57	5,800+	POŽÁR/2	CS3 - HEA160	S 235	<b>0,93</b>	0,93	0,96	0,41	684,90
B58	5,655-	POŽÁR/2	CS3 - HEA160	S 235	<b>0,96</b>	0,96	0,60	1,00	664,16
B59	0,201+	POŽÁR/2	CS3 - HEA160	S 235	<b>0,97</b>	0,97	0,60	1,00	663,01
B60	0,758	POŽÁR/2	CS6 - MSH90x90x4.0	S 235	<b>0,82</b>	0,82	0,85	1,00	857,75
B61	0,000	POŽÁR/2	CS6 - MSH90x90x4.0	S 235	<b>0,79</b>	0,79	0,99	0,00	886,56
B62	0,675	POŽÁR/2	CS6 - MSH90x90x4.0	S 235	<b>0,81</b>	0,81	0,84	1,00	871,58
B63	0,633	POŽÁR/2	CS6 - MSH90x90x4.0	S 235	<b>0,81</b>	0,81	0,99	0,00	862,36
B64	0,000	POŽÁR/2	CS6 - MSH90x90x4.0	S 235	<b>0,82</b>	0,82	0,80	0,99	856,60
B65	0,548	POŽÁR/1	CS7 - MSH70x70x4.0	S 235	<b>0,61</b>	0,61	0,56	0,99	1149,30
B66	0,591	POŽÁR/2	CS6 - MSH90x90x4.0	S 235	<b>0,81</b>	0,81	0,79	1,00	870,43
B67	0,633	POŽÁR/2	CS6 - MSH90x90x4.0	S 235	<b>0,80</b>	0,80	0,99	0,00	881,95
B68	0,675	POŽÁR/2	CS6 - MSH90x90x4.0	S 235	<b>0,79</b>	0,79	0,87	1,00	890,02
B69	0,717	POŽÁR/2	CS6 - MSH90x90x4.0	S 235	<b>0,80</b>	0,80	0,99	0,00	881,95
B70	0,000	POŽÁR/2	CS5 - SHS100/100/5.0	S 235	<b>0,87</b>	0,87	0,88	0,00	795,53
B71	0,000	POŽÁR/2	CS5 - SHS100/100/5.0	S 235	<b>0,88</b>	0,88	0,70	0,99	781,70
B72	0,383	POŽÁR/2	CS6 - MSH90x90x4.0	S 235	<b>0,87</b>	0,87	0,98	0,00	809,36
B73	1,140	POŽÁR/2	CS6 - MSH90x90x4.0	S 235	<b>0,86</b>	0,86	0,54	1,00	812,81
B74	0,000	POŽÁR/2	CS7 - MSH70x70x4.0	S 235	<b>0,88</b>	0,88	0,52	1,00	795,53
B75	1,150	POŽÁR/2	CS7 - MSH70x70x4.0	S 235	<b>0,88</b>	0,88	0,89	0,00	795,53
B76	1,150	POŽÁR/2	CS5 - SHS100/100/5.0	S 235	<b>0,89</b>	0,89	0,68	1,00	773,63
B77	1,198	POŽÁR/2	CS5 - SHS100/100/5.0	S 235	<b>0,87</b>	0,87	0,89	0,00	789,77
B78	1,198	POŽÁR/2	CS5 - SHS100/100/5.0	S 235	<b>0,92</b>	0,92	0,75	0,99	749,43
B79	0,000	POŽÁR/2	CS5 - SHS100/100/5.0	S 235	<b>0,89</b>	0,89	0,96	0,00	771,33
B80	0,800+	POŽÁR/3	CS4 - HEA220	S 235	<b>0,88</b>	0,88	0,67	0,99	690,66
B81	1,198	POŽÁR/2	CS5 - SHS100/100/5.0	S 235	<b>0,93</b>	0,93	0,69	0,99	740,21
B82	1,250	POŽÁR/2	CS5 - SHS100/100/5.0	S 235	<b>0,91</b>	0,91	0,92	0,00	757,50
B83	0,758	POŽÁR/2	CS6 - MSH90x90x4.0	S 235	<b>0,83</b>	0,83	0,94	1,00	845,08
B165	3,352-	POŽÁR/1	CS4 - HEA220	S 235	<b>0,88</b>	0,88	0,54	1,00	691,82
B166	3,352-	POŽÁR/3	CS4 - HEA220	S 235	<b>0,80</b>	0,80	0,55	1,00	752,89
B167	4,275-	POŽÁR/2	CS2 - HEA140	S 235	<b>0,90</b>	0,90	1,00	0,42	724,08
B168	4,129-	POŽÁR/2	CS2 - HEA140	S 235	<b>0,92</b>	0,92	0,59	1,00	705,64
B169	0,201+	POŽÁR/2	CS2 - HEA140	S 235	<b>0,95</b>	0,95	0,61	1,00	689,51
B170	0,758	POŽÁR/2	CS6 - MSH90x90x4.0	S 235	<b>0,78</b>	0,78	0,82	1,00	896,93
B171	0,000	POŽÁR/2	CS6 -	S 235	<b>0,73</b>	0,73	1,00	0,00	961,46

Jméno	dx [m]	Stav	Průřez	Materiál	UC <sub>Celkový</sub> [-]	UC <sub>Teplota</sub> [-]	UC <sub>Průřez</sub> [-]	UC <sub>Stabilita</sub> [-]	Kritická tepl. [°C]
B172	0,675	POŽÁR/2	MSH90x90x4.0	S 235	<b>0,75</b>	0,75	0,77	1,00	931,50
B173	0,633	POŽÁR/2	CS6 - MSH90x90x4.0	S 235	<b>0,74</b>	0,74	0,99	0,00	944,18
B174	0,000	POŽÁR/2	CS6 - MSH90x90x4.0	S 235	<b>0,72</b>	0,72	0,68	1,00	971,84
B175	0,548	POŽÁR/2	CS7 - MSH70x70x4.0	S 235	<b>0,66</b>	0,66	0,88	1,00	1065,18
B176	0,591	POŽÁR/2	CS6 - MSH90x90x4.0	S 235	<b>0,80</b>	0,80	0,87	1,00	880,80
B177	0,633	POŽÁR/2	CS6 - MSH90x90x4.0	S 235	<b>0,79</b>	0,79	0,99	0,00	894,63
B178	0,675	POŽÁR/2	CS6 - MSH90x90x4.0	S 235	<b>0,76</b>	0,76	0,97	1,00	926,89
B179	0,000	POŽÁR/2	CS6 - MSH90x90x4.0	S 235	<b>0,75</b>	0,75	1,00	0,00	940,72
B180	0,000	POŽÁR/2	CS6 - MSH90x90x4.0	S 235	<b>0,90</b>	0,90	0,69	0,99	784,00
B181	0,000	POŽÁR/2	CS5 - SHS100/100/5.0	S 235	<b>0,84</b>	0,84	0,93	0,00	822,03
B182	0,000	POŽÁR/2	CS5 - SHS100/100/5.0	S 235	<b>0,87</b>	0,87	0,75	0,99	793,22
B183	0,383	POŽÁR/2	CS6 - MSH90x90x4.0	S 235	<b>0,86</b>	0,86	0,90	0,00	816,27
B184	1,140	POŽÁR/2	CS6 - MSH90x90x4.0	S 235	<b>0,88</b>	0,88	0,64	0,99	796,68
B185	0,000	POŽÁR/2	CS7 - MSH70x70x4.0	S 235	<b>0,70</b>	0,70	0,58	1,00	1008,71
B186	0,383	POŽÁR/2	CS7 - MSH70x70x4.0	S 235	<b>0,79</b>	0,79	1,00	0,00	887,71
B187	1,150	POŽÁR/2	CS5 - SHS100/100/5.0	S 235	<b>0,82</b>	0,82	0,66	1,00	835,86
B188	1,198	POŽÁR/2	CS5 - SHS100/100/5.0	S 235	<b>0,81</b>	0,81	0,90	0,00	848,54
B189	1,198	POŽÁR/2	CS5 - SHS100/100/5.0	S 235	<b>0,87</b>	0,87	0,76	1,00	787,46
B190	0,000	POŽÁR/2	CS5 - SHS100/100/5.0	S 235	<b>0,86</b>	0,86	0,94	0,00	796,68

Jméno	Klíč kombinace
POŽÁR/1	vl.tíha + užité + stálé + 0.20*VPŘ2
POŽÁR/2	vl.tíha + 0.20*sníhC + užité + stálé
POŽÁR/3	vl.tíha + užité + stálé + 0.20*VPŘ4

## 11.6. Deformace na prutu; uz



## 12. Vaznice + podhled

### 12.1. Prvky

Jméno	Průřez	Materiál	Délka [m]	Poč. uzel	Konc. uzel	Typ
B191	CS8 - HEA100	S 235	6,000	N149	N175	nosník (80)
B192	CS8 - HEA100	S 235	6,000	N150	N176	nosník (80)
B193	CS8 - HEA100	S 235	6,000	N152	N178	nosník (80)
B194	CS8 - HEA100	S 235	6,000	N154	N180	nosník (80)
B195	CS8 - HEA100	S 235	6,000	N157	N183	nosník (80)
B196	CS8 - HEA100	S 235	6,000	N158	N184	nosník (80)
B197	CS8 - HEA100	S 235	6,000	N159	N185	nosník (80)
B198	CS8 - HEA100	S 235	6,000	N161	N187	nosník (80)
B199	CS8 - HEA100	S 235	6,000	N163	N189	nosník (80)
B200	CS8 - HEA100	S 235	6,000	N165	N191	nosník (80)
B202	CS8 - HEA100	S 235	6,000	N146	N172	nosník (80)
B204	CS9 - HEA140	S 235	7,250	N194	N192	nosník (80)
B205	CS9 - HEA140	S 235	7,250	N195	N190	nosník (80)
B206	CS9 - HEA140	S 235	7,250	N196	N188	nosník (80)
B207	CS9 - HEA140	S 235	7,250	N197	N186	nosník (80)
B208	CS9 - HEA140	S 235	7,250	N198	N199	nosník (80)
B209	CS9 - HEA140	S 235	7,250	N200	N182	nosník (80)
B210	CS9 - HEA140	S 235	7,250	N201	N181	nosník (80)
B211	CS9 - HEA140	S 235	7,250	N202	N179	nosník (80)
B212	CS9 - HEA140	S 235	7,250	N203	N177	nosník (80)
B213	CS9 - HEA140	S 235	7,250	N204	N174	nosník (80)
B214	CS9 - HEA140	S 235	1,250	N205	N142	nosník (80)
B215	CS9 - HEA140	S 235	6,000	N168	N86	nosník (80)
B216	CS9 - HEA140	S 235	6,000	N174	N93	nosník (80)
B217	CS9 - HEA140	S 235	6,000	N177	N96	nosník (80)
B218	CS9 - HEA140	S 235	6,000	N179	N98	nosník (80)
B219	CS9 - HEA140	S 235	6,000	N181	N100	nosník (80)
B220	CS9 - HEA140	S 235	6,000	N182	N101	nosník (80)
B221	CS9 - HEA140	S 235	6,000	N199	N206	nosník (80)
B222	CS9 - HEA140	S 235	6,000	N186	N105	nosník (80)
B223	CS9 - HEA140	S 235	6,000	N188	N107	nosník (80)
B224	CS9 - HEA140	S 235	6,000	N190	N109	nosník (80)
B225	CS9 - HEA140	S 235	6,000	N192	N111	nosník (80)
B227	CS8 - HEA100	S 235	6,000	N172	N90	nosník (80)
B229	CS8 - HEA100	S 235	6,000	N191	N110	nosník (80)
B230	CS8 - HEA100	S 235	6,000	N189	N108	nosník (80)
B231	CS8 - HEA100	S 235	6,000	N187	N106	nosník (80)
B232	CS8 - HEA100	S 235	6,000	N185	N104	nosník (80)
B233	CS8 - HEA100	S 235	6,000	N184	N103	nosník (80)
B234	CS8 - HEA100	S 235	6,000	N183	N102	nosník (80)
B235	CS8 - HEA100	S 235	6,000	N180	N99	nosník (80)
B236	CS8 - HEA100	S 235	6,000	N178	N97	nosník (80)
B237	CS8 - HEA100	S 235	6,000	N176	N95	nosník (80)
B238	CS8 - HEA100	S 235	6,000	N175	N94	nosník (80)
B239	CS9 - HEA140	S 235	6,000	N86	N58	nosník (80)
B240	CS9 - HEA140	S 235	6,000	N93	N63	nosník (80)
B241	CS9 - HEA140	S 235	6,000	N96	N66	nosník (80)
B242	CS9 - HEA140	S 235	6,000	N98	N68	nosník (80)
B243	CS9 - HEA140	S 235	6,000	N100	N70	nosník (80)
B244	CS9 - HEA140	S 235	6,000	N101	N71	nosník (80)
B245	CS9 - HEA140	S 235	6,000	N206	N208	nosník (80)
B246	CS9 - HEA140	S 235	6,000	N105	N75	nosník (80)
B247	CS9 - HEA140	S 235	6,000	N107	N77	nosník (80)
B248	CS9 - HEA140	S 235	6,000	N109	N79	nosník (80)
B249	CS9 - HEA140	S 235	6,000	N111	N81	nosník (80)
B251	CS8 - HEA100	S 235	6,000	N90	N60	nosník (80)
B253	CS8 - HEA100	S 235	6,000	N110	N80	nosník (80)
B254	CS8 - HEA100	S 235	6,000	N108	N78	nosník (80)
B255	CS8 - HEA100	S 235	6,000	N106	N76	nosník (80)
B256	CS8 - HEA100	S 235	6,000	N104	N74	nosník (80)
B257	CS8 - HEA100	S 235	6,000	N103	N73	nosník (80)

Jméno	Průřez	Materiál	Délka [m]	Poč. uzel	Konc. uzel	Typ
B258	CS8 - HEA100	S 235	6,000	N102	N72	nosník (80)
B259	CS8 - HEA100	S 235	6,000	N99	N69	nosník (80)
B260	CS8 - HEA100	S 235	6,000	N97	N67	nosník (80)
B261	CS8 - HEA100	S 235	6,000	N95	N65	nosník (80)
B262	CS8 - HEA100	S 235	6,000	N94	N64	nosník (80)
B263	CS9 - HEA140	S 235	6,000	N58	N28	nosník (80)
B264	CS9 - HEA140	S 235	6,000	N63	N35	nosník (80)
B265	CS9 - HEA140	S 235	6,000	N66	N38	nosník (80)
B266	CS9 - HEA140	S 235	6,000	N68	N40	nosník (80)
B267	CS9 - HEA140	S 235	6,000	N70	N42	nosník (80)
B268	CS9 - HEA140	S 235	6,000	N71	N43	nosník (80)
B269	CS9 - HEA140	S 235	6,000	N208	N211	nosník (80)
B270	CS9 - HEA140	S 235	6,000	N75	N47	nosník (80)
B271	CS9 - HEA140	S 235	6,000	N77	N49	nosník (80)
B272	CS9 - HEA140	S 235	6,000	N79	N51	nosník (80)
B273	CS9 - HEA140	S 235	6,000	N81	N53	nosník (80)
B275	CS8 - HEA100	S 235	6,000	N60	N32	nosník (80)
B277	CS8 - HEA100	S 235	6,000	N80	N52	nosník (80)
B278	CS8 - HEA100	S 235	6,000	N78	N50	nosník (80)
B279	CS8 - HEA100	S 235	6,000	N76	N48	nosník (80)
B280	CS8 - HEA100	S 235	6,000	N74	N46	nosník (80)
B281	CS8 - HEA100	S 235	6,000	N73	N45	nosník (80)
B282	CS8 - HEA100	S 235	6,000	N72	N44	nosník (80)
B283	CS8 - HEA100	S 235	6,000	N69	N41	nosník (80)
B284	CS8 - HEA100	S 235	6,000	N67	N39	nosník (80)
B285	CS8 - HEA100	S 235	6,000	N65	N37	nosník (80)
B286	CS8 - HEA100	S 235	6,000	N64	N36	nosník (80)
B287	CS9 - HEA140	S 235	6,000	N28	N2	nosník (80)
B288	CS9 - HEA140	S 235	6,000	N35	N8	nosník (80)
B289	CS9 - HEA140	S 235	6,000	N38	N11	nosník (80)
B290	CS9 - HEA140	S 235	6,000	N40	N13	nosník (80)
B291	CS9 - HEA140	S 235	6,000	N42	N15	nosník (80)
B292	CS9 - HEA140	S 235	6,000	N43	N16	nosník (80)
B293	CS9 - HEA140	S 235	6,000	N211	N213	nosník (80)
B294	CS9 - HEA140	S 235	6,000	N47	N20	nosník (80)
B295	CS9 - HEA140	S 235	6,000	N49	N22	nosník (80)
B296	CS9 - HEA140	S 235	6,000	N51	N24	nosník (80)
B297	CS9 - HEA140	S 235	6,000	N53	N26	nosník (80)
B299	CS8 - HEA100	S 235	6,000	N32	N6	nosník (80)
B301	CS8 - HEA100	S 235	6,000	N52	N25	nosník (80)
B302	CS8 - HEA100	S 235	6,000	N50	N23	nosník (80)
B303	CS8 - HEA100	S 235	6,000	N48	N21	nosník (80)
B304	CS8 - HEA100	S 235	6,000	N46	N19	nosník (80)
B305	CS8 - HEA100	S 235	6,000	N45	N18	nosník (80)
B306	CS8 - HEA100	S 235	6,000	N44	N17	nosník (80)
B307	CS8 - HEA100	S 235	6,000	N41	N14	nosník (80)
B308	CS8 - HEA100	S 235	6,000	N39	N12	nosník (80)
B309	CS8 - HEA100	S 235	6,000	N37	N10	nosník (80)
B310	CS8 - HEA100	S 235	6,000	N36	N9	nosník (80)
B311	CS9 - HEA140	S 235	6,000	N2	N116	nosník (80)
B312	CS9 - HEA140	S 235	7,250	N8	N215	nosník (80)
B313	CS9 - HEA140	S 235	7,250	N11	N216	nosník (80)
B314	CS9 - HEA140	S 235	7,250	N13	N217	nosník (80)
B315	CS9 - HEA140	S 235	7,250	N15	N218	nosník (80)
B316	CS9 - HEA140	S 235	7,250	N16	N219	nosník (80)
B317	CS9 - HEA140	S 235	7,250	N213	N220	nosník (80)
B318	CS9 - HEA140	S 235	7,250	N20	N221	nosník (80)
B319	CS9 - HEA140	S 235	7,250	N22	N222	nosník (80)
B320	CS9 - HEA140	S 235	7,250	N24	N223	nosník (80)
B321	CS9 - HEA140	S 235	7,250	N26	N224	nosník (80)
B323	CS8 - HEA100	S 235	6,000	N6	N120	nosník (80)
B325	CS8 - HEA100	S 235	6,000	N25	N139	nosník (80)
B326	CS8 - HEA100	S 235	6,000	N23	N137	nosník (80)
B327	CS8 - HEA100	S 235	6,000	N21	N135	nosník (80)



Jméno	Průřez	Materiál	Délka [m]	Poč. uzel	Konc. uzel	Typ
B328	CS8 - HEA100	S 235	6,000	N19	N133	nosník (80)
B329	CS8 - HEA100	S 235	6,000	N18	N132	nosník (80)
B330	CS8 - HEA100	S 235	6,000	N17	N131	nosník (80)
B331	CS8 - HEA100	S 235	6,000	N14	N128	nosník (80)
B332	CS8 - HEA100	S 235	6,000	N12	N126	nosník (80)
B333	CS8 - HEA100	S 235	6,000	N10	N124	nosník (80)
B334	CS8 - HEA100	S 235	6,000	N9	N123	nosník (80)
B335	CS9 - HEA140	S 235	6,000	N114	N84	nosník (80)
B336	CS9 - HEA140	S 235	6,000	N91	N61	nosník (80)
B337	CS8 - HEA100	S 235	6,000	N89	N59	nosník (80)
B338	CS8 - HEA100	S 235	6,000	N83	N113	nosník (80)
B339	CS9 - HEA140	S 235	6,000	N84	N56	nosník (80)
B340	CS9 - HEA140	S 235	6,000	N61	N33	nosník (80)
B341	CS8 - HEA100	S 235	6,000	N59	N31	nosník (80)
B342	CS8 - HEA100	S 235	6,000	N55	N83	nosník (80)
B365	CS9 - HEA140	S 235	7,250	N242	N243	nosník (80)
B366	CS9 - HEA140	S 235	6,000	N243	N244	nosník (80)
B367	CS9 - HEA140	S 235	6,000	N244	N245	nosník (80)
B368	CS9 - HEA140	S 235	6,000	N245	N246	nosník (80)
B369	CS9 - HEA140	S 235	6,000	N246	N247	nosník (80)
B370	CS9 - HEA140	S 235	7,250	N247	N248	nosník (80)
B698	CS9 - HEA140	S 235	6,000	N142	N168	nosník (80)
B699	CS9 - HEA140	S 235	1,250	N116	N214	nosník (80)

## 12.2. Posudek ocelových prvků na MSÚ EC-EN 1993

Lineární výpočet

Kombinace: MSÚ-B

Souřadný systém: Hlavní

Extrém 1D: Průřez

Výběr: Pojmenovaný výběr - vaznice+podhled

**Celkový posudek**

Jméno	dx [m]	Stav	Průřez	Materiál	UC <sub>Celkový</sub> [-]	UC <sub>Průřez</sub> [-]	UC <sub>Stabilita</sub> [-]
B255	4,000+	MSÚ-B/1	CS8 - HEA100	S 235	<b>0,22</b>	0,03	0,22
B290	3,000+	MSÚ-B/2	CS9 - HEA140	S 235	<b>0,28</b>	0,19	0,28

## 12.3. Vnitřní síly na prutu

Lineární výpočet, Extrém : Dílec, Systém : Hlavní

Výběr : Pojmenovaný výběr - vaznice+podhled

Kombinace : MSÚ-B

Dílec	css	dx [m]	Stav	N [kN]	Vz [kN]	My [kNm]
B191	CS8 - HEA100	0,000	MSÚ-B/22	<b>-1,05</b>	0,78	0,00
B191	CS8 - HEA100	0,000	MSÚ-B/10	<b>5,17</b>	0,89	0,00
B191	CS8 - HEA100	6,000	MSÚ-B/37	2,08	<b>-1,05</b>	0,00
B191	CS8 - HEA100	0,000	MSÚ-B/37	2,08	<b>1,05</b>	0,00
B191	CS8 - HEA100	0,000	MSÚ-B/12	1,82	0,78	<b>0,00</b>
B191	CS8 - HEA100	3,000	MSÚ-B/37	2,08	0,00	<b>1,57</b>
B192	CS8 - HEA100	0,000	MSÚ-B/22	<b>-0,99</b>	0,78	0,00
B192	CS8 - HEA100	0,000	MSÚ-B/27	<b>5,55</b>	0,89	0,00
B192	CS8 - HEA100	6,000	MSÚ-B/37	2,44	<b>-1,05</b>	0,00
B192	CS8 - HEA100	0,000	MSÚ-B/37	2,44	<b>1,05</b>	0,00
B192	CS8 - HEA100	0,000	MSÚ-B/12	2,16	0,78	<b>0,00</b>
B192	CS8 - HEA100	3,000	MSÚ-B/37	2,44	0,00	<b>1,57</b>
B193	CS8 - HEA100	0,000	MSÚ-B/22	<b>-0,82</b>	0,78	0,00
B193	CS8 - HEA100	0,000	MSÚ-B/27	<b>7,20</b>	0,89	0,00
B193	CS8 - HEA100	6,000	MSÚ-B/37	3,34	<b>-1,05</b>	0,00
B193	CS8 - HEA100	0,000	MSÚ-B/37	3,34	<b>1,05</b>	0,00
B193	CS8 - HEA100	0,000	MSÚ-B/12	1,93	0,78	<b>0,00</b>
B193	CS8 - HEA100	3,000	MSÚ-B/37	3,34	0,00	<b>1,57</b>
B194	CS8 - HEA100	0,000	MSÚ-B/38	<b>-2,67</b>	0,20	0,00

Dílec	css	dx [m]	Stav	N [kN]	Vz [kN]	My [kNm]
B194	CS8 - HEA100	2,000	MSÚ-B/27	<b>12,01</b>	0,29	-0,03
B194	CS8 - HEA100	2,000	MSÚ-B/39	0,53	<b>-0,41</b>	-0,12
B194	CS8 - HEA100	4,000	MSÚ-B/29	0,97	<b>0,41</b>	-0,12
B194	CS8 - HEA100	2,000	MSÚ-B/40	-2,25	-0,36	<b>-0,12</b>
B194	CS8 - HEA100	1,000	MSÚ-B/17	6,75	-0,03	<b>0,15</b>
B195	CS8 - HEA100	0,000	MSÚ-B/22	<b>-0,78</b>	0,78	0,00
B195	CS8 - HEA100	0,000	MSÚ-B/27	<b>5,82</b>	0,90	0,00
B195	CS8 - HEA100	6,000	MSÚ-B/37	2,64	<b>-1,06</b>	0,00
B195	CS8 - HEA100	0,000	MSÚ-B/37	2,64	<b>1,06</b>	0,00
B195	CS8 - HEA100	0,000	MSÚ-B/12	1,44	0,78	<b>0,00</b>
B195	CS8 - HEA100	3,000	MSÚ-B/37	2,64	0,00	<b>1,59</b>
B196	CS8 - HEA100	0,000	MSÚ-B/22	<b>-1,15</b>	0,79	0,00
B196	CS8 - HEA100	0,000	MSÚ-B/10	<b>2,48</b>	0,91	0,00
B196	CS8 - HEA100	6,000	MSÚ-B/37	0,19	<b>-1,07</b>	0,00
B196	CS8 - HEA100	0,000	MSÚ-B/37	0,19	<b>1,07</b>	0,00
B196	CS8 - HEA100	0,000	MSÚ-B/12	1,58	0,79	<b>0,00</b>
B196	CS8 - HEA100	3,000	MSÚ-B/37	0,19	0,00	<b>1,60</b>
B197	CS8 - HEA100	0,000	MSÚ-B/22	<b>0,50</b>	0,78	0,00
B197	CS8 - HEA100	0,000	MSÚ-B/19	<b>4,65</b>	0,90	0,00
B197	CS8 - HEA100	6,000	MSÚ-B/37	2,77	<b>-1,06</b>	0,00
B197	CS8 - HEA100	0,000	MSÚ-B/37	2,77	<b>1,06</b>	0,00
B197	CS8 - HEA100	0,000	MSÚ-B/12	2,95	0,78	<b>0,00</b>
B197	CS8 - HEA100	3,000	MSÚ-B/37	2,77	0,00	<b>1,59</b>
B198	CS8 - HEA100	0,000	MSÚ-B/38	<b>-1,43</b>	0,21	0,00
B198	CS8 - HEA100	2,000	MSÚ-B/8	<b>26,08</b>	0,38	-0,01
B198	CS8 - HEA100	2,000	MSÚ-B/39	3,40	<b>-0,40</b>	-0,09
B198	CS8 - HEA100	2,000	MSÚ-B/41	15,61	<b>0,39</b>	-0,09
B198	CS8 - HEA100	2,000	MSÚ-B/40	-0,59	-0,35	<b>-0,11</b>
B198	CS8 - HEA100	5,000	MSÚ-B/8	19,89	-0,03	<b>0,20</b>
B199	CS8 - HEA100	0,000	MSÚ-B/22	<b>0,14</b>	0,78	0,00
B199	CS8 - HEA100	0,000	MSÚ-B/10	<b>3,70</b>	0,89	0,00
B199	CS8 - HEA100	6,000	MSÚ-B/37	1,47	<b>-1,05</b>	0,00
B199	CS8 - HEA100	0,000	MSÚ-B/37	1,47	<b>1,05</b>	0,00
B199	CS8 - HEA100	0,000	MSÚ-B/4	3,09	0,78	<b>0,00</b>
B199	CS8 - HEA100	3,000	MSÚ-B/37	1,47	0,00	<b>1,57</b>
B200	CS8 - HEA100	0,000	MSÚ-B/22	<b>3,36</b>	0,69	0,00
B200	CS8 - HEA100	0,000	MSÚ-B/8	<b>7,87</b>	0,94	0,00
B200	CS8 - HEA100	6,000	MSÚ-B/37	6,48	<b>-0,94</b>	0,00
B200	CS8 - HEA100	0,000	MSÚ-B/37	6,48	<b>0,94</b>	0,00
B200	CS8 - HEA100	0,000	MSÚ-B/4	5,00	0,69	<b>0,00</b>
B200	CS8 - HEA100	3,000	MSÚ-B/37	6,48	0,00	<b>1,40</b>
B202	CS8 - HEA100	4,000	MSÚ-B/38	<b>-3,53</b>	0,26	-0,10
B202	CS8 - HEA100	2,000	MSÚ-B/27	<b>13,65</b>	0,23	0,00
B202	CS8 - HEA100	2,000	MSÚ-B/42	2,07	<b>-0,33</b>	-0,10
B202	CS8 - HEA100	4,000	MSÚ-B/29	0,06	<b>0,34</b>	-0,11
B202	CS8 - HEA100	4,000	MSÚ-B/43	-0,61	0,30	<b>-0,12</b>
B202	CS8 - HEA100	1,000	MSÚ-B/17	6,78	-0,01	<b>0,13</b>
B204	CS9 - HEA140	5,538	MSÚ-B/29	<b>-8,60</b>	-0,21	0,78
B204	CS9 - HEA140	0,000	MSÚ-B/44	<b>0,00</b>	0,00	0,00
B204	CS9 - HEA140	1,250	MSÚ-B/7	-0,90	<b>-2,82</b>	0,14
B204	CS9 - HEA140	1,188	MSÚ-B/18	-1,45	<b>3,08</b>	-1,00
B204	CS9 - HEA140	1,250	MSÚ-B/8	-5,85	1,64	<b>-1,70</b>
B204	CS9 - HEA140	5,175	MSÚ-B/8	-8,34	-0,04	<b>0,86</b>
B205	CS9 - HEA140	1,250	MSÚ-B/18	<b>-1,36</b>	1,21	-0,81
B205	CS9 - HEA140	6,625	MSÚ-B/12	<b>0,45</b>	-0,17	0,17
B205	CS9 - HEA140	1,250	MSÚ-B/45	0,08	<b>-0,89</b>	-0,21
B205	CS9 - HEA140	1,250	MSÚ-B/19	-0,95	<b>1,24</b>	-0,84
B205	CS9 - HEA140	1,250	MSÚ-B/46	-0,92	1,16	<b>-0,94</b>
B205	CS9 - HEA140	5,537	MSÚ-B/20	-0,01	0,08	<b>0,59</b>
B206	CS9 - HEA140	4,250	MSÚ-B/8	<b>-23,02</b>	3,94	-0,36
B206	CS9 - HEA140	1,250	MSÚ-B/25	<b>1,88</b>	0,44	-0,37
B206	CS9 - HEA140	6,250	MSÚ-B/19	-21,06	<b>-3,06</b>	-0,56
B206	CS9 - HEA140	4,250	MSÚ-B/19	-21,21	<b>4,52</b>	-0,48
B206	CS9 - HEA140	1,250	MSÚ-B/19	1,38	1,22	<b>-0,90</b>



Dílec	css	dx [m]	Stav	N [kN]	Vz [kN]	My [kNm]
B206	CS9 - HEA140	5,537	MSÚ-B/19	-21,10	0,18	<b>1,25</b>
B207	CS9 - HEA140	6,625	MSÚ-B/18	<b>-3,59</b>	-1,51	1,19
B207	CS9 - HEA140	0,000	MSÚ-B/20	<b>0,00</b>	0,00	0,00
B207	CS9 - HEA140	1,250	MSÚ-B/18	-0,26	<b>-3,14</b>	-1,78
B207	CS9 - HEA140	1,250	MSÚ-B/18	-3,21	<b>3,77</b>	<b>-3,22</b>
B207	CS9 - HEA140	4,994	MSÚ-B/18	-3,53	0,06	<b>2,14</b>
B208	CS9 - HEA140	1,250	MSÚ-B/27	<b>-0,71</b>	<b>2,75</b>	-0,62
B208	CS9 - HEA140	0,000	MSÚ-B/47	<b>0,00</b>	0,00	0,00
B208	CS9 - HEA140	7,250	MSÚ-B/27	-0,71	<b>-2,54</b>	0,00
B208	CS9 - HEA140	1,250	MSÚ-B/27	0,00	-1,04	<b>-0,62</b>
B208	CS9 - HEA140	4,250	MSÚ-B/27	-0,71	0,10	<b>3,66</b>
B209	CS9 - HEA140	1,250	MSÚ-B/27	<b>-5,38</b>	5,60	-4,72
B209	CS9 - HEA140	1,250	MSÚ-B/12	<b>1,15</b>	-0,55	0,53
B209	CS9 - HEA140	7,250	MSÚ-B/27	-5,38	<b>-4,03</b>	0,00
B209	CS9 - HEA140	1,250	MSÚ-B/18	-5,34	<b>5,61</b>	<b>-4,78</b>
B209	CS9 - HEA140	4,625	MSÚ-B/27	-5,38	0,18	<b>5,05</b>
B210	CS9 - HEA140	2,250	MSÚ-B/27	<b>-8,98</b>	1,67	-0,19
B210	CS9 - HEA140	6,250	MSÚ-B/18	<b>7,94</b>	1,18	-0,32
B210	CS9 - HEA140	1,250	MSÚ-B/27	0,00	<b>-2,01</b>	<b>-1,18</b>
B210	CS9 - HEA140	4,250	MSÚ-B/18	-6,15	<b>1,71</b>	-0,31
B210	CS9 - HEA140	3,250	MSÚ-B/27	-8,98	-0,06	<b>0,62</b>
B211	CS9 - HEA140	1,250	MSÚ-B/27	<b>-6,19</b>	5,99	-4,84
B211	CS9 - HEA140	1,250	MSÚ-B/12	<b>1,45</b>	-0,67	0,66
B211	CS9 - HEA140	7,250	MSÚ-B/27	-6,19	<b>-4,38</b>	0,00
B211	CS9 - HEA140	1,250	MSÚ-B/18	-6,17	<b>5,99</b>	<b>-4,87</b>
B211	CS9 - HEA140	4,625	MSÚ-B/27	-6,19	0,16	<b>5,53</b>
B212	CS9 - HEA140	6,666	MSÚ-B/27	<b>-6,41</b>	-3,85	2,47
B212	CS9 - HEA140	6,666	MSÚ-B/12	<b>0,67</b>	0,21	-0,13
B212	CS9 - HEA140	7,250	MSÚ-B/18	-6,41	<b>-4,71</b>	0,00
B212	CS9 - HEA140	1,250	MSÚ-B/18	-6,39	<b>6,64</b>	<b>-6,26</b>
B212	CS9 - HEA140	4,842	MSÚ-B/27	-6,33	-0,15	<b>5,73</b>
B213	CS9 - HEA140	3,383	MSÚ-B/18	<b>-2,39</b>	1,39	2,03
B213	CS9 - HEA140	1,194	MSÚ-B/4	<b>0,15</b>	-0,54	-0,42
B213	CS9 - HEA140	7,250	MSÚ-B/27	-1,95	<b>-2,39</b>	0,00
B213	CS9 - HEA140	1,250	MSÚ-B/27	-2,26	<b>3,31</b>	<b>-2,87</b>
B213	CS9 - HEA140	4,842	MSÚ-B/27	-2,11	0,06	<b>3,00</b>
B214	CS9 - HEA140	1,194	MSÚ-B/4	<b>-0,07</b>	-1,10	-0,49
B214	CS9 - HEA140	1,194	MSÚ-B/9	<b>0,06</b>	0,67	0,26
B214	CS9 - HEA140	1,250	MSÚ-B/18	0,02	<b>-4,61</b>	<b>-2,00</b>
B214	CS9 - HEA140	1,194	MSÚ-B/12	0,05	<b>2,00</b>	0,74
B214	CS9 - HEA140	1,250	MSÚ-B/12	0,05	1,99	<b>0,85</b>
B215	CS9 - HEA140	0,000	MSÚ-B/12	<b>-8,78</b>	-0,37	0,00
B215	CS9 - HEA140	0,000	MSÚ-B/27	<b>18,31</b>	0,75	0,00
B215	CS9 - HEA140	5,000	MSÚ-B/23	-3,83	<b>-4,13</b>	-0,82
B215	CS9 - HEA140	1,000	MSÚ-B/18	-1,16	<b>3,17</b>	<b>-0,98</b>
B215	CS9 - HEA140	3,793	MSÚ-B/27	0,43	1,75	<b>0,89</b>
B216	CS9 - HEA140	1,604	MSÚ-B/18	<b>-2,30</b>	1,44	3,38
B216	CS9 - HEA140	5,881	MSÚ-B/4	<b>0,53</b>	-0,79	0,10
B216	CS9 - HEA140	5,881	MSÚ-B/27	-1,67	<b>-2,77</b>	0,30
B216	CS9 - HEA140	0,000	MSÚ-B/27	-1,92	<b>2,84</b>	0,00
B216	CS9 - HEA140	3,246	MSÚ-B/15	-0,50	-0,01	<b>-0,39</b>
B216	CS9 - HEA140	3,063	MSÚ-B/23	-2,03	0,06	<b>4,40</b>
B217	CS9 - HEA140	5,881	MSÚ-B/27	<b>-6,33</b>	-5,85	0,70
B217	CS9 - HEA140	5,881	MSÚ-B/12	<b>0,73</b>	0,29	-0,03
B217	CS9 - HEA140	6,000	MSÚ-B/18	-6,28	<b>-6,04</b>	0,00
B217	CS9 - HEA140	0,000	MSÚ-B/18	-6,28	<b>5,75</b>	0,00
B217	CS9 - HEA140	3,063	MSÚ-B/12	0,69	0,01	<b>-0,59</b>
B217	CS9 - HEA140	3,063	MSÚ-B/18	-6,28	-0,17	<b>8,52</b>
B218	CS9 - HEA140	0,000	MSÚ-B/18	<b>-5,88</b>	5,18	0,00
B218	CS9 - HEA140	0,000	MSÚ-B/12	<b>1,91</b>	-0,57	0,00
B218	CS9 - HEA140	6,000	MSÚ-B/27	-5,86	<b>-5,18</b>	0,00
B218	CS9 - HEA140	0,000	MSÚ-B/27	-5,86	<b>5,18</b>	0,00
B218	CS9 - HEA140	3,000	MSÚ-B/12	1,91	0,00	<b>-0,85</b>
B218	CS9 - HEA140	3,000	MSÚ-B/27	-5,86	0,00	<b>7,77</b>

Dílec	css	dx [m]	Stav	N [kN]	Vz [kN]	My [kNm]
B219	CS9 - HEA140	3,000	MSÚ-B/25	<b>-14,04</b>	1,46	-0,18
B219	CS9 - HEA140	0,000	MSÚ-B/9	<b>9,84</b>	0,09	0,00
B219	CS9 - HEA140	5,000	MSÚ-B/27	-8,00	<b>-1,75</b>	<b>-0,36</b>
B219	CS9 - HEA140	1,000	MSÚ-B/23	-9,74	<b>1,77</b>	-0,34
B219	CS9 - HEA140	4,000	MSÚ-B/23	-12,33	0,03	<b>0,62</b>
B220	CS9 - HEA140	0,000	MSÚ-B/27	<b>-4,65</b>	<b>4,82</b>	0,00
B220	CS9 - HEA140	0,000	MSÚ-B/12	<b>1,55</b>	-0,46	0,00
B220	CS9 - HEA140	6,000	MSÚ-B/27	-4,65	<b>-4,82</b>	0,00
B220	CS9 - HEA140	3,000	MSÚ-B/12	1,55	0,00	<b>-0,69</b>
B220	CS9 - HEA140	3,000	MSÚ-B/27	-4,65	0,00	<b>7,23</b>
B221	CS9 - HEA140	0,000	MSÚ-B/27	<b>-1,23</b>	<b>2,64</b>	0,00
B221	CS9 - HEA140	0,000	MSÚ-B/12	<b>-0,08</b>	0,19	<b>0,00</b>
B221	CS9 - HEA140	6,000	MSÚ-B/27	-1,23	<b>-2,64</b>	0,00
B221	CS9 - HEA140	3,000	MSÚ-B/27	-1,23	0,00	<b>3,97</b>
B222	CS9 - HEA140	2,638	MSÚ-B/23	<b>-3,28</b>	0,77	2,03
B222	CS9 - HEA140	5,900	MSÚ-B/4	<b>0,79</b>	-0,26	0,03
B222	CS9 - HEA140	6,000	MSÚ-B/23	-3,17	<b>-3,40</b>	0,00
B222	CS9 - HEA140	0,000	MSÚ-B/18	-3,04	<b>2,40</b>	0,00
B222	CS9 - HEA140	4,269	MSÚ-B/4	0,59	0,01	<b>-0,04</b>
B222	CS9 - HEA140	3,181	MSÚ-B/23	-3,28	0,05	<b>2,28</b>
B223	CS9 - HEA140	2,638	MSÚ-B/6	<b>-23,91</b>	-3,66	0,75
B223	CS9 - HEA140	5,000	MSÚ-B/29	<b>20,88</b>	1,03	-0,65
B223	CS9 - HEA140	3,000	MSÚ-B/19	-19,35	<b>-4,53</b>	-0,80
B223	CS9 - HEA140	1,000	MSÚ-B/23	-23,09	<b>3,42</b>	-0,60
B223	CS9 - HEA140	5,000	MSÚ-B/19	-13,19	-4,53	<b>-0,85</b>
B223	CS9 - HEA140	3,725	MSÚ-B/23	-18,17	2,46	<b>1,30</b>
B224	CS9 - HEA140	4,813	MSÚ-B/25	<b>-2,22</b>	0,72	-0,18
B224	CS9 - HEA140	5,900	MSÚ-B/4	<b>1,06</b>	-0,32	0,03
B224	CS9 - HEA140	3,725	MSÚ-B/19	-0,89	<b>-0,76</b>	-0,15
B224	CS9 - HEA140	4,813	MSÚ-B/18	-1,90	<b>0,90</b>	-0,28
B224	CS9 - HEA140	4,813	MSÚ-B/18	-1,87	-0,69	<b>-0,28</b>
B224	CS9 - HEA140	1,550	MSÚ-B/20	0,84	0,15	<b>0,50</b>
B225	CS9 - HEA140	0,000	MSÚ-B/31	<b>-7,25</b>	-0,10	0,00
B225	CS9 - HEA140	5,900	MSÚ-B/4	<b>-1,17</b>	-0,94	0,10
B225	CS9 - HEA140	4,813	MSÚ-B/19	-3,30	<b>-1,15</b>	-0,44
B225	CS9 - HEA140	5,900	MSÚ-B/18	-3,12	<b>3,02</b>	-0,30
B225	CS9 - HEA140	4,813	MSÚ-B/8	-3,64	-1,04	<b>-0,45</b>
B225	CS9 - HEA140	0,463	MSÚ-B/20	-5,42	1,51	<b>0,72</b>
B227	CS8 - HEA100	2,000	MSÚ-B/12	<b>-4,23</b>	0,21	-0,10
B227	CS8 - HEA100	2,000	MSÚ-B/27	<b>10,11</b>	0,24	-0,03
B227	CS8 - HEA100	2,000	MSÚ-B/29	-0,42	<b>-0,34</b>	-0,11
B227	CS8 - HEA100	4,000	MSÚ-B/42	-0,56	<b>0,34</b>	-0,11
B227	CS8 - HEA100	4,000	MSÚ-B/30	-1,48	0,30	<b>-0,12</b>
B227	CS8 - HEA100	1,000	MSÚ-B/6	1,25	-0,02	<b>0,12</b>
B229	CS8 - HEA100	0,000	MSÚ-B/2	<b>3,38</b>	0,69	0,00
B229	CS8 - HEA100	0,000	MSÚ-B/8	<b>6,60</b>	0,94	0,00
B229	CS8 - HEA100	6,000	MSÚ-B/37	5,34	<b>-0,94</b>	0,00
B229	CS8 - HEA100	0,000	MSÚ-B/37	5,34	<b>0,94</b>	0,00
B229	CS8 - HEA100	0,000	MSÚ-B/12	4,49	0,69	<b>0,00</b>
B229	CS8 - HEA100	3,000	MSÚ-B/37	5,34	0,00	<b>1,40</b>
B230	CS8 - HEA100	0,000	MSÚ-B/22	<b>0,39</b>	0,78	0,00
B230	CS8 - HEA100	0,000	MSÚ-B/10	<b>3,18</b>	0,89	0,00
B230	CS8 - HEA100	6,000	MSÚ-B/37	1,40	<b>-1,05</b>	0,00
B230	CS8 - HEA100	0,000	MSÚ-B/37	1,40	<b>1,05</b>	0,00
B230	CS8 - HEA100	0,000	MSÚ-B/12	1,49	0,78	<b>0,00</b>
B230	CS8 - HEA100	3,000	MSÚ-B/37	1,40	0,00	<b>1,57</b>
B231	CS8 - HEA100	4,000	MSÚ-B/20	<b>-5,56</b>	0,36	-0,12
B231	CS8 - HEA100	2,000	MSÚ-B/23	<b>24,89</b>	0,27	0,09
B231	CS8 - HEA100	4,000	MSÚ-B/26	13,50	<b>-0,42</b>	-0,12
B231	CS8 - HEA100	4,000	MSÚ-B/26	-4,95	<b>0,41</b>	-0,12
B231	CS8 - HEA100	4,000	MSÚ-B/20	9,40	-0,36	<b>-0,13</b>
B231	CS8 - HEA100	1,000	MSÚ-B/6	19,45	0,03	<b>0,21</b>
B232	CS8 - HEA100	0,000	MSÚ-B/22	<b>0,84</b>	0,78	0,00
B232	CS8 - HEA100	0,000	MSÚ-B/19	<b>4,57</b>	0,90	0,00

Dílec	css	dx [m]	Stav	N [kN]	Vz [kN]	My [kNm]
B232	CS8 - HEA100	6,000	MSÚ-B/37	2,51	<b>-1,06</b>	0,00
B232	CS8 - HEA100	0,000	MSÚ-B/37	2,51	<b>1,06</b>	0,00
B232	CS8 - HEA100	0,000	MSÚ-B/4	2,91	0,78	<b>0,00</b>
B232	CS8 - HEA100	3,000	MSÚ-B/37	2,51	0,00	<b>1,59</b>
B233	CS8 - HEA100	0,000	MSÚ-B/22	<b>-0,93</b>	0,79	0,00
B233	CS8 - HEA100	0,000	MSÚ-B/10	<b>2,97</b>	0,91	0,00
B233	CS8 - HEA100	6,000	MSÚ-B/37	0,59	<b>-1,07</b>	0,00
B233	CS8 - HEA100	0,000	MSÚ-B/37	0,59	<b>1,07</b>	0,00
B233	CS8 - HEA100	0,000	MSÚ-B/4	2,29	0,79	<b>0,00</b>
B233	CS8 - HEA100	3,000	MSÚ-B/37	0,59	0,00	<b>1,60</b>
B234	CS8 - HEA100	0,000	MSÚ-B/22	<b>-0,11</b>	0,78	0,00
B234	CS8 - HEA100	0,000	MSÚ-B/18	<b>4,73</b>	0,90	0,00
B234	CS8 - HEA100	6,000	MSÚ-B/37	2,07	<b>-1,06</b>	0,00
B234	CS8 - HEA100	0,000	MSÚ-B/37	2,07	<b>1,06</b>	0,00
B234	CS8 - HEA100	0,000	MSÚ-B/4	1,42	0,78	<b>0,00</b>
B234	CS8 - HEA100	3,000	MSÚ-B/37	2,07	0,00	<b>1,59</b>
B235	CS8 - HEA100	4,000	MSÚ-B/4	<b>-3,26</b>	0,30	-0,09
B235	CS8 - HEA100	2,000	MSÚ-B/25	<b>13,44</b>	0,32	-0,05
B235	CS8 - HEA100	2,000	MSÚ-B/42	1,21	<b>-0,41</b>	-0,12
B235	CS8 - HEA100	4,000	MSÚ-B/42	3,58	<b>0,40</b>	-0,11
B235	CS8 - HEA100	2,000	MSÚ-B/30	1,26	-0,36	<b>-0,12</b>
B235	CS8 - HEA100	5,000	MSÚ-B/6	8,42	0,02	<b>0,15</b>
B236	CS8 - HEA100	0,000	MSÚ-B/22	<b>-0,06</b>	0,78	0,00
B236	CS8 - HEA100	0,000	MSÚ-B/27	<b>6,22</b>	0,89	0,00
B236	CS8 - HEA100	6,000	MSÚ-B/37	2,86	<b>-1,05</b>	0,00
B236	CS8 - HEA100	0,000	MSÚ-B/37	2,86	<b>1,05</b>	0,00
B236	CS8 - HEA100	0,000	MSÚ-B/4	1,90	0,78	<b>0,00</b>
B236	CS8 - HEA100	3,000	MSÚ-B/37	2,86	0,00	<b>1,57</b>
B237	CS8 - HEA100	0,000	MSÚ-B/22	<b>-0,76</b>	0,78	0,00
B237	CS8 - HEA100	0,000	MSÚ-B/27	<b>5,53</b>	0,89	0,00
B237	CS8 - HEA100	6,000	MSÚ-B/37	2,37	<b>-1,05</b>	0,00
B237	CS8 - HEA100	0,000	MSÚ-B/37	2,37	<b>1,05</b>	0,00
B237	CS8 - HEA100	0,000	MSÚ-B/4	2,87	0,78	<b>0,00</b>
B237	CS8 - HEA100	3,000	MSÚ-B/37	2,37	0,00	<b>1,57</b>
B238	CS8 - HEA100	0,000	MSÚ-B/22	<b>-0,76</b>	0,78	0,00
B238	CS8 - HEA100	0,000	MSÚ-B/10	<b>5,32</b>	0,89	0,00
B238	CS8 - HEA100	6,000	MSÚ-B/37	2,10	<b>-1,05</b>	0,00
B238	CS8 - HEA100	0,000	MSÚ-B/37	2,10	<b>1,05</b>	0,00
B238	CS8 - HEA100	0,000	MSÚ-B/4	3,15	0,78	<b>0,00</b>
B238	CS8 - HEA100	3,000	MSÚ-B/37	2,10	0,00	<b>1,57</b>
B239	CS9 - HEA140	0,000	MSÚ-B/12	<b>-8,29</b>	-0,01	0,00
B239	CS9 - HEA140	5,000	MSÚ-B/10	<b>19,65</b>	2,21	-0,76
B239	CS9 - HEA140	5,000	MSÚ-B/23	-2,65	<b>-3,12</b>	<b>-1,00</b>
B239	CS9 - HEA140	1,000	MSÚ-B/18	0,21	<b>4,34</b>	-0,78
B239	CS9 - HEA140	2,170	MSÚ-B/27	2,72	0,62	<b>0,91</b>
B240	CS9 - HEA140	5,453	MSÚ-B/18	<b>-2,33</b>	-2,19	1,32
B240	CS9 - HEA140	5,453	MSÚ-B/4	<b>0,71</b>	-0,66	0,41
B240	CS9 - HEA140	6,000	MSÚ-B/27	-1,52	<b>-2,84</b>	0,00
B240	CS9 - HEA140	0,000	MSÚ-B/27	-1,56	<b>3,00</b>	0,00
B240	CS9 - HEA140	2,717	MSÚ-B/15	-0,66	0,00	<b>-0,39</b>
B240	CS9 - HEA140	2,900	MSÚ-B/27	-1,54	-0,04	<b>4,39</b>
B241	CS9 - HEA140	0,000	MSÚ-B/18	<b>-6,31</b>	<b>5,56</b>	0,00
B241	CS9 - HEA140	5,453	MSÚ-B/12	<b>0,69</b>	0,29	-0,17
B241	CS9 - HEA140	6,000	MSÚ-B/23	-5,02	<b>-5,76</b>	0,00
B241	CS9 - HEA140	3,264	MSÚ-B/12	0,68	0,00	<b>-0,60</b>
B241	CS9 - HEA140	2,900	MSÚ-B/23	-5,06	0,24	<b>8,51</b>
B242	CS9 - HEA140	0,000	MSÚ-B/18	<b>-5,66</b>	5,18	0,00
B242	CS9 - HEA140	0,000	MSÚ-B/12	<b>2,30</b>	-0,57	0,00
B242	CS9 - HEA140	6,000	MSÚ-B/27	-5,48	<b>-5,18</b>	0,00
B242	CS9 - HEA140	0,000	MSÚ-B/27	-5,48	<b>5,18</b>	0,00
B242	CS9 - HEA140	3,000	MSÚ-B/12	2,30	0,00	<b>-0,85</b>
B242	CS9 - HEA140	3,000	MSÚ-B/27	-5,48	0,00	<b>7,77</b>
B243	CS9 - HEA140	1,000	MSÚ-B/25	<b>-9,78</b>	1,37	-0,13
B243	CS9 - HEA140	5,000	MSÚ-B/48	<b>16,38</b>	0,67	-0,27

Dílec	css	dx [m]	Stav	N [kN]	Vz [kN]	My [kNm]
B243	CS9 - HEA140	5,000	MSÚ-B/27	-3,50	<b>-1,79</b>	<b>-0,49</b>
B243	CS9 - HEA140	1,000	MSÚ-B/27	-7,12	<b>1,71</b>	-0,32
B243	CS9 - HEA140	2,000	MSÚ-B/23	-9,62	-0,05	<b>0,60</b>
B244	CS9 - HEA140	0,000	MSÚ-B/27	<b>-3,98</b>	<b>4,82</b>	0,00
B244	CS9 - HEA140	0,000	MSÚ-B/12	<b>1,88</b>	-0,46	0,00
B244	CS9 - HEA140	6,000	MSÚ-B/27	-3,98	<b>-4,82</b>	0,00
B244	CS9 - HEA140	3,000	MSÚ-B/12	1,88	0,00	<b>-0,69</b>
B244	CS9 - HEA140	3,000	MSÚ-B/27	-3,98	0,00	<b>7,23</b>
B245	CS9 - HEA140	0,000	MSÚ-B/27	<b>-1,95</b>	<b>2,64</b>	0,00
B245	CS9 - HEA140	0,000	MSÚ-B/2	<b>-0,13</b>	0,96	0,00
B245	CS9 - HEA140	6,000	MSÚ-B/27	-1,95	<b>-2,64</b>	0,00
B245	CS9 - HEA140	0,000	MSÚ-B/12	-0,21	0,19	<b>0,00</b>
B245	CS9 - HEA140	3,000	MSÚ-B/27	-1,95	0,00	<b>3,97</b>
B246	CS9 - HEA140	0,000	MSÚ-B/49	<b>-1,72</b>	4,54	0,00
B246	CS9 - HEA140	0,000	MSÚ-B/20	<b>2,26</b>	-0,18	0,00
B246	CS9 - HEA140	6,000	MSÚ-B/19	-0,65	<b>-4,93</b>	0,00
B246	CS9 - HEA140	0,000	MSÚ-B/19	-0,65	<b>4,83</b>	0,00
B246	CS9 - HEA140	3,000	MSÚ-B/4	2,22	0,00	<b>-0,73</b>
B246	CS9 - HEA140	3,000	MSÚ-B/19	-0,65	0,00	<b>7,39</b>
B247	CS9 - HEA140	1,000	MSÚ-B/28	<b>-4,72</b>	1,32	-0,26
B247	CS9 - HEA140	5,000	MSÚ-B/29	<b>19,52</b>	0,94	-0,41
B247	CS9 - HEA140	5,000	MSÚ-B/23	-2,00	<b>-1,76</b>	-0,46
B247	CS9 - HEA140	1,000	MSÚ-B/19	3,12	<b>1,74</b>	-0,46
B247	CS9 - HEA140	5,000	MSÚ-B/19	3,48	-1,76	<b>-0,50</b>
B247	CS9 - HEA140	2,000	MSÚ-B/23	-3,12	0,00	<b>0,48</b>
B248	CS9 - HEA140	5,900	MSÚ-B/28	<b>-2,00</b>	-2,67	0,27
B248	CS9 - HEA140	0,000	MSÚ-B/20	<b>2,25</b>	0,36	0,00
B248	CS9 - HEA140	6,000	MSÚ-B/23	-1,73	<b>-3,51</b>	0,00
B248	CS9 - HEA140	0,000	MSÚ-B/23	-1,26	<b>3,50</b>	0,00
B248	CS9 - HEA140	3,050	MSÚ-B/4	1,93	0,00	<b>-0,24</b>
B248	CS9 - HEA140	3,050	MSÚ-B/23	-1,51	-0,06	<b>3,32</b>
B249	CS9 - HEA140	0,000	MSÚ-B/28	<b>2,54</b>	0,37	0,00
B249	CS9 - HEA140	5,900	MSÚ-B/42	<b>10,50</b>	-0,13	0,01
B249	CS9 - HEA140	4,820	MSÚ-B/23	5,00	<b>-1,00</b>	0,54
B249	CS9 - HEA140	1,180	MSÚ-B/18	4,89	<b>0,99</b>	0,51
B249	CS9 - HEA140	2,460	MSÚ-B/4	6,36	-0,05	<b>-0,23</b>
B249	CS9 - HEA140	3,050	MSÚ-B/23	4,73	0,06	<b>1,22</b>
B251	CS8 - HEA100	2,000	MSÚ-B/12	<b>-4,94</b>	0,21	-0,10
B251	CS8 - HEA100	2,000	MSÚ-B/27	<b>11,07</b>	0,24	-0,03
B251	CS8 - HEA100	2,000	MSÚ-B/42	-0,49	<b>-0,34</b>	-0,11
B251	CS8 - HEA100	4,000	MSÚ-B/42	-0,48	<b>0,34</b>	-0,11
B251	CS8 - HEA100	4,000	MSÚ-B/30	-1,97	0,30	<b>-0,12</b>
B251	CS8 - HEA100	5,000	MSÚ-B/31	3,39	0,02	<b>0,12</b>
B253	CS8 - HEA100	0,000	MSÚ-B/42	<b>-7,31</b>	0,94	0,00
B253	CS8 - HEA100	0,000	MSÚ-B/49	<b>-1,68</b>	0,69	0,00
B253	CS8 - HEA100	6,000	MSÚ-B/37	-6,53	<b>-0,94</b>	0,00
B253	CS8 - HEA100	0,000	MSÚ-B/37	-6,53	<b>0,94</b>	0,00
B253	CS8 - HEA100	0,000	MSÚ-B/12	-6,14	0,69	<b>0,00</b>
B253	CS8 - HEA100	3,000	MSÚ-B/37	-6,53	0,00	<b>1,40</b>
B254	CS8 - HEA100	0,000	MSÚ-B/22	<b>-0,16</b>	0,78	0,00
B254	CS8 - HEA100	0,000	MSÚ-B/18	<b>2,26</b>	0,89	0,00
B254	CS8 - HEA100	6,000	MSÚ-B/37	0,30	<b>-1,05</b>	0,00
B254	CS8 - HEA100	0,000	MSÚ-B/37	0,30	<b>1,05</b>	0,00
B254	CS8 - HEA100	0,000	MSÚ-B/12	0,20	0,78	<b>0,00</b>
B254	CS8 - HEA100	3,000	MSÚ-B/37	0,30	0,00	<b>1,57</b>
B255	CS8 - HEA100	4,000	MSÚ-B/42	<b>-13,70</b>	0,44	-0,18
B255	CS8 - HEA100	2,000	MSÚ-B/49	<b>3,27</b>	0,25	-0,05
B255	CS8 - HEA100	2,000	MSÚ-B/26	-12,26	<b>-0,44</b>	-0,18
B255	CS8 - HEA100	4,000	MSÚ-B/26	-12,81	<b>0,44</b>	<b>-0,19</b>
B255	CS8 - HEA100	0,800	MSÚ-B/6	-6,19	0,01	<b>0,12</b>
B256	CS8 - HEA100	0,000	MSÚ-B/22	<b>-0,18</b>	0,78	0,00
B256	CS8 - HEA100	0,000	MSÚ-B/27	<b>3,13</b>	0,90	0,00
B256	CS8 - HEA100	6,000	MSÚ-B/37	0,68	<b>-1,06</b>	0,00
B256	CS8 - HEA100	0,000	MSÚ-B/37	0,68	<b>1,06</b>	0,00

Dílec	css	dx [m]	Stav	N [kN]	Vz [kN]	My [kNm]
B256	CS8 - HEA100	0,000	MSÚ-B/4	1,35	0,78	<b>0,00</b>
B256	CS8 - HEA100	3,000	MSÚ-B/37	0,68	0,00	<b>1,59</b>
B257	CS8 - HEA100	0,000	MSÚ-B/22	<b>-0,24</b>	0,79	0,00
B257	CS8 - HEA100	0,000	MSÚ-B/10	<b>3,67</b>	0,91	0,00
B257	CS8 - HEA100	6,000	MSÚ-B/37	1,31	<b>-1,07</b>	0,00
B257	CS8 - HEA100	0,000	MSÚ-B/37	1,31	<b>1,07</b>	0,00
B257	CS8 - HEA100	0,000	MSÚ-B/4	2,80	0,79	<b>0,00</b>
B257	CS8 - HEA100	3,000	MSÚ-B/37	1,31	0,00	<b>1,60</b>
B258	CS8 - HEA100	0,000	MSÚ-B/22	<b>0,17</b>	0,78	0,00
B258	CS8 - HEA100	0,000	MSÚ-B/18	<b>3,76</b>	0,90	0,00
B258	CS8 - HEA100	6,000	MSÚ-B/37	1,28	<b>-1,06</b>	0,00
B258	CS8 - HEA100	0,000	MSÚ-B/37	1,28	<b>1,06</b>	0,00
B258	CS8 - HEA100	0,000	MSÚ-B/4	0,45	0,78	<b>0,00</b>
B258	CS8 - HEA100	3,000	MSÚ-B/37	1,28	0,00	<b>1,59</b>
B259	CS8 - HEA100	4,000	MSÚ-B/20	<b>-10,89</b>	0,37	-0,14
B259	CS8 - HEA100	2,000	MSÚ-B/25	<b>9,99</b>	0,27	-0,02
B259	CS8 - HEA100	2,000	MSÚ-B/42	2,44	<b>-0,41</b>	-0,11
B259	CS8 - HEA100	4,000	MSÚ-B/42	-6,19	<b>0,43</b>	<b>-0,16</b>
B259	CS8 - HEA100	1,000	MSÚ-B/6	6,59	-0,03	<b>0,15</b>
B260	CS8 - HEA100	0,000	MSÚ-B/22	<b>0,25</b>	0,78	0,00
B260	CS8 - HEA100	0,000	MSÚ-B/18	<b>5,40</b>	0,89	0,00
B260	CS8 - HEA100	6,000	MSÚ-B/37	2,20	<b>-1,05</b>	0,00
B260	CS8 - HEA100	0,000	MSÚ-B/37	2,20	<b>1,05</b>	0,00
B260	CS8 - HEA100	0,000	MSÚ-B/4	1,06	0,78	<b>0,00</b>
B260	CS8 - HEA100	3,000	MSÚ-B/37	2,20	0,00	<b>1,57</b>
B261	CS8 - HEA100	0,000	MSÚ-B/22	<b>-0,39</b>	0,78	0,00
B261	CS8 - HEA100	0,000	MSÚ-B/10	<b>5,58</b>	0,89	0,00
B261	CS8 - HEA100	6,000	MSÚ-B/37	2,36	<b>-1,05</b>	0,00
B261	CS8 - HEA100	0,000	MSÚ-B/37	2,36	<b>1,05</b>	0,00
B261	CS8 - HEA100	0,000	MSÚ-B/4	3,04	0,78	<b>0,00</b>
B261	CS8 - HEA100	3,000	MSÚ-B/37	2,36	0,00	<b>1,57</b>
B262	CS8 - HEA100	0,000	MSÚ-B/22	<b>-0,43</b>	0,78	0,00
B262	CS8 - HEA100	0,000	MSÚ-B/10	<b>5,48</b>	0,89	0,00
B262	CS8 - HEA100	6,000	MSÚ-B/37	2,07	<b>-1,05</b>	0,00
B262	CS8 - HEA100	0,000	MSÚ-B/37	2,07	<b>1,05</b>	0,00
B262	CS8 - HEA100	0,000	MSÚ-B/4	3,28	0,78	<b>0,00</b>
B262	CS8 - HEA100	3,000	MSÚ-B/37	2,07	0,00	<b>1,57</b>
B263	CS9 - HEA140	0,547	MSÚ-B/12	<b>-8,19</b>	1,03	-0,12
B263	CS9 - HEA140	5,000	MSÚ-B/10	<b>19,51</b>	1,13	-0,60
B263	CS9 - HEA140	5,000	MSÚ-B/23	-2,70	<b>-4,34</b>	-0,79
B263	CS9 - HEA140	1,000	MSÚ-B/18	-1,47	<b>3,13</b>	<b>-1,01</b>
B263	CS9 - HEA140	3,830	MSÚ-B/18	-2,69	1,64	<b>0,91</b>
B264	CS9 - HEA140	4,924	MSÚ-B/18	<b>-2,51</b>	-1,67	2,46
B264	CS9 - HEA140	0,000	MSÚ-B/4	<b>0,61</b>	0,85	0,00
B264	CS9 - HEA140	6,000	MSÚ-B/27	-1,68	<b>-3,00</b>	0,00
B264	CS9 - HEA140	0,000	MSÚ-B/27	-1,53	<b>2,84</b>	0,00
B264	CS9 - HEA140	3,283	MSÚ-B/15	-0,65	0,00	<b>-0,39</b>
B264	CS9 - HEA140	3,100	MSÚ-B/27	-1,62	0,04	<b>4,39</b>
B265	CS9 - HEA140	0,000	MSÚ-B/18	<b>-6,33</b>	<b>5,76</b>	0,00
B265	CS9 - HEA140	0,000	MSÚ-B/12	<b>0,69</b>	-0,35	0,00
B265	CS9 - HEA140	6,000	MSÚ-B/23	-5,39	<b>-5,56</b>	0,00
B265	CS9 - HEA140	2,736	MSÚ-B/12	0,68	-0,08	<b>-0,60</b>
B265	CS9 - HEA140	3,100	MSÚ-B/23	-5,42	-0,24	<b>8,51</b>
B266	CS9 - HEA140	0,000	MSÚ-B/18	<b>-5,89</b>	5,18	0,00
B266	CS9 - HEA140	0,000	MSÚ-B/12	<b>2,03</b>	-0,57	0,00
B266	CS9 - HEA140	6,000	MSÚ-B/27	-5,52	<b>-5,18</b>	0,00
B266	CS9 - HEA140	0,000	MSÚ-B/27	-5,52	<b>5,18</b>	0,00
B266	CS9 - HEA140	3,000	MSÚ-B/12	2,03	0,00	<b>-0,85</b>
B266	CS9 - HEA140	3,000	MSÚ-B/27	-5,52	0,00	<b>7,77</b>
B267	CS9 - HEA140	3,000	MSÚ-B/18	<b>-7,79</b>	1,76	-0,34
B267	CS9 - HEA140	0,000	MSÚ-B/48	<b>17,22</b>	0,12	0,00
B267	CS9 - HEA140	5,000	MSÚ-B/27	-6,59	<b>-1,70</b>	-0,31
B267	CS9 - HEA140	1,000	MSÚ-B/27	-2,63	<b>1,79</b>	<b>-0,49</b>
B267	CS9 - HEA140	4,000	MSÚ-B/18	-7,79	0,03	<b>0,56</b>



Dílec	css	dx [m]	Stav	N [kN]	Vz [kN]	My [kNm]
B268	CS9 - HEA140	0,000	MSÚ-B/18	<b>-4,10</b>	4,82	0,00
B268	CS9 - HEA140	0,000	MSÚ-B/12	<b>1,66</b>	-0,46	0,00
B268	CS9 - HEA140	6,000	MSÚ-B/27	-3,80	<b>-4,82</b>	0,00
B268	CS9 - HEA140	0,000	MSÚ-B/27	-3,80	<b>4,82</b>	0,00
B268	CS9 - HEA140	3,000	MSÚ-B/12	1,66	0,00	<b>-0,69</b>
B268	CS9 - HEA140	3,000	MSÚ-B/27	-3,80	0,00	<b>7,23</b>
B269	CS9 - HEA140	0,000	MSÚ-B/10	<b>-0,46</b>	2,26	0,00
B269	CS9 - HEA140	0,000	MSÚ-B/15	<b>0,17</b>	0,19	<b>0,00</b>
B269	CS9 - HEA140	6,000	MSÚ-B/27	-0,46	<b>-2,64</b>	0,00
B269	CS9 - HEA140	0,000	MSÚ-B/27	-0,46	<b>2,64</b>	0,00
B269	CS9 - HEA140	3,000	MSÚ-B/27	-0,46	0,00	<b>3,97</b>
B270	CS9 - HEA140	0,000	MSÚ-B/50	<b>-1,37</b>	4,64	0,00
B270	CS9 - HEA140	0,000	MSÚ-B/20	<b>2,32</b>	-0,20	0,00
B270	CS9 - HEA140	6,000	MSÚ-B/19	-0,41	<b>-4,83</b>	0,00
B270	CS9 - HEA140	0,000	MSÚ-B/19	-0,41	<b>4,93</b>	0,00
B270	CS9 - HEA140	3,000	MSÚ-B/4	2,26	0,00	<b>-0,73</b>
B270	CS9 - HEA140	3,000	MSÚ-B/19	-0,41	0,00	<b>7,39</b>
B271	CS9 - HEA140	3,000	MSÚ-B/50	<b>1,98</b>	1,64	-0,40
B271	CS9 - HEA140	0,000	MSÚ-B/8	<b>23,37</b>	0,24	0,00
B271	CS9 - HEA140	5,000	MSÚ-B/23	3,72	<b>-1,73</b>	-0,43
B271	CS9 - HEA140	1,000	MSÚ-B/19	6,49	<b>1,76</b>	<b>-0,52</b>
B271	CS9 - HEA140	4,000	MSÚ-B/18	3,00	0,01	<b>0,44</b>
B272	CS9 - HEA140	4,720	MSÚ-B/28	<b>-1,60</b>	-0,74	1,90
B272	CS9 - HEA140	5,900	MSÚ-B/20	<b>2,07</b>	-0,36	0,04
B272	CS9 - HEA140	6,000	MSÚ-B/23	-1,27	<b>-3,50</b>	0,00
B272	CS9 - HEA140	0,000	MSÚ-B/23	-1,17	<b>2,84</b>	0,00
B272	CS9 - HEA140	2,950	MSÚ-B/4	1,85	0,01	<b>-0,21</b>
B272	CS9 - HEA140	2,950	MSÚ-B/23	-1,23	0,05	<b>3,30</b>
B273	CS9 - HEA140	5,900	MSÚ-B/49	<b>2,89</b>	-0,50	0,05
B273	CS9 - HEA140	0,000	MSÚ-B/42	<b>10,38</b>	0,46	0,00
B273	CS9 - HEA140	5,900	MSÚ-B/18	4,65	<b>-1,04</b>	0,05
B273	CS9 - HEA140	0,000	MSÚ-B/23	5,30	<b>1,09</b>	0,00
B273	CS9 - HEA140	3,540	MSÚ-B/4	6,43	-0,03	<b>-0,21</b>
B273	CS9 - HEA140	2,950	MSÚ-B/23	4,85	-0,05	<b>1,20</b>
B275	CS8 - HEA100	2,000	MSÚ-B/12	<b>-4,93</b>	0,21	-0,10
B275	CS8 - HEA100	2,000	MSÚ-B/27	<b>10,11</b>	0,24	-0,03
B275	CS8 - HEA100	2,000	MSÚ-B/42	-1,35	<b>-0,34</b>	-0,11
B275	CS8 - HEA100	4,000	MSÚ-B/42	-1,47	<b>0,34</b>	-0,11
B275	CS8 - HEA100	4,000	MSÚ-B/30	-2,07	0,30	<b>-0,12</b>
B275	CS8 - HEA100	5,000	MSÚ-B/31	0,53	0,03	<b>0,12</b>
B277	CS8 - HEA100	0,000	MSÚ-B/42	<b>-7,34</b>	0,94	0,00
B277	CS8 - HEA100	0,000	MSÚ-B/49	<b>-1,94</b>	0,69	<b>0,00</b>
B277	CS8 - HEA100	6,000	MSÚ-B/37	-6,51	<b>-0,94</b>	0,00
B277	CS8 - HEA100	0,000	MSÚ-B/37	-6,51	<b>0,94</b>	0,00
B277	CS8 - HEA100	3,000	MSÚ-B/37	-6,51	0,00	<b>1,40</b>
B278	CS8 - HEA100	0,000	MSÚ-B/22	<b>0,05</b>	0,78	0,00
B278	CS8 - HEA100	0,000	MSÚ-B/18	<b>2,46</b>	0,89	0,00
B278	CS8 - HEA100	6,000	MSÚ-B/37	0,54	<b>-1,05</b>	0,00
B278	CS8 - HEA100	0,000	MSÚ-B/37	0,54	<b>1,05</b>	0,00
B278	CS8 - HEA100	0,000	MSÚ-B/49	2,17	0,78	<b>0,00</b>
B278	CS8 - HEA100	3,000	MSÚ-B/37	0,54	0,00	<b>1,57</b>
B279	CS8 - HEA100	0,000	MSÚ-B/42	<b>-13,48</b>	0,26	0,00
B279	CS8 - HEA100	2,000	MSÚ-B/49	<b>2,03</b>	0,26	-0,07
B279	CS8 - HEA100	2,000	MSÚ-B/26	-12,48	<b>-0,45</b>	<b>-0,19</b>
B279	CS8 - HEA100	4,000	MSÚ-B/26	-9,16	<b>0,44</b>	-0,17
B279	CS8 - HEA100	5,200	MSÚ-B/31	-6,65	-0,01	<b>0,12</b>
B280	CS8 - HEA100	0,000	MSÚ-B/22	<b>0,24</b>	0,78	0,00
B280	CS8 - HEA100	0,000	MSÚ-B/27	<b>3,52</b>	0,90	0,00
B280	CS8 - HEA100	6,000	MSÚ-B/37	1,11	<b>-1,06</b>	0,00
B280	CS8 - HEA100	0,000	MSÚ-B/37	1,11	<b>1,06</b>	0,00
B280	CS8 - HEA100	0,000	MSÚ-B/49	2,93	0,78	<b>0,00</b>
B280	CS8 - HEA100	3,000	MSÚ-B/37	1,11	0,00	<b>1,59</b>
B281	CS8 - HEA100	0,000	MSÚ-B/22	<b>-0,04</b>	0,79	0,00
B281	CS8 - HEA100	0,000	MSÚ-B/10	<b>3,48</b>	0,91	0,00

Dílec	css	dx [m]	Stav	N [kN]	Vz [kN]	My [kNm]
B281	CS8 - HEA100	6,000	MSÚ-B/37	1,17	<b>-1,07</b>	0,00
B281	CS8 - HEA100	0,000	MSÚ-B/37	1,17	<b>1,07</b>	0,00
B281	CS8 - HEA100	0,000	MSÚ-B/49	1,27	0,79	<b>0,00</b>
B281	CS8 - HEA100	3,000	MSÚ-B/37	1,17	0,00	<b>1,60</b>
B282	CS8 - HEA100	0,000	MSÚ-B/22	<b>0,60</b>	0,78	0,00
B282	CS8 - HEA100	0,000	MSÚ-B/19	<b>3,74</b>	0,90	0,00
B282	CS8 - HEA100	6,000	MSÚ-B/37	1,38	<b>-1,06</b>	0,00
B282	CS8 - HEA100	0,000	MSÚ-B/37	1,38	<b>1,06</b>	0,00
B282	CS8 - HEA100	0,000	MSÚ-B/49	3,36	0,78	<b>0,00</b>
B282	CS8 - HEA100	3,000	MSÚ-B/37	1,38	0,00	<b>1,59</b>
B283	CS8 - HEA100	0,000	MSÚ-B/20	<b>-10,69</b>	0,23	0,00
B283	CS8 - HEA100	4,000	MSÚ-B/9	<b>7,85</b>	0,34	-0,08
B283	CS8 - HEA100	2,000	MSÚ-B/42	-6,12	<b>-0,43</b>	<b>-0,16</b>
B283	CS8 - HEA100	4,000	MSÚ-B/42	4,59	<b>0,40</b>	-0,10
B283	CS8 - HEA100	5,000	MSÚ-B/31	3,52	0,03	<b>0,14</b>
B284	CS8 - HEA100	0,000	MSÚ-B/22	<b>0,64</b>	0,78	0,00
B284	CS8 - HEA100	0,000	MSÚ-B/18	<b>5,39</b>	0,89	0,00
B284	CS8 - HEA100	6,000	MSÚ-B/37	2,34	<b>-1,05</b>	0,00
B284	CS8 - HEA100	0,000	MSÚ-B/37	2,34	<b>1,05</b>	0,00
B284	CS8 - HEA100	0,000	MSÚ-B/49	4,44	0,78	<b>0,00</b>
B284	CS8 - HEA100	3,000	MSÚ-B/37	2,34	0,00	<b>1,57</b>
B285	CS8 - HEA100	0,000	MSÚ-B/22	<b>-0,12</b>	0,78	0,00
B285	CS8 - HEA100	0,000	MSÚ-B/10	<b>5,55</b>	0,89	0,00
B285	CS8 - HEA100	6,000	MSÚ-B/37	2,24	<b>-1,05</b>	0,00
B285	CS8 - HEA100	0,000	MSÚ-B/37	2,24	<b>1,05</b>	0,00
B285	CS8 - HEA100	0,000	MSÚ-B/49	2,85	0,78	<b>0,00</b>
B285	CS8 - HEA100	3,000	MSÚ-B/37	2,24	0,00	<b>1,57</b>
B286	CS8 - HEA100	0,000	MSÚ-B/22	<b>0,00</b>	0,78	0,00
B286	CS8 - HEA100	0,000	MSÚ-B/10	<b>5,57</b>	0,89	0,00
B286	CS8 - HEA100	6,000	MSÚ-B/37	1,99	<b>-1,05</b>	0,00
B286	CS8 - HEA100	0,000	MSÚ-B/37	1,99	<b>1,05</b>	0,00
B286	CS8 - HEA100	0,000	MSÚ-B/50	3,51	0,78	<b>0,00</b>
B286	CS8 - HEA100	3,000	MSÚ-B/37	1,99	0,00	<b>1,57</b>
B287	CS9 - HEA140	5,490	MSÚ-B/15	<b>-7,43</b>	0,22	-0,13
B287	CS9 - HEA140	5,490	MSÚ-B/27	<b>16,55</b>	-0,20	0,21
B287	CS9 - HEA140	5,000	MSÚ-B/23	-3,21	<b>-3,18</b>	<b>-0,98</b>
B287	CS9 - HEA140	1,000	MSÚ-B/18	-4,28	<b>4,14</b>	-0,86
B287	CS9 - HEA140	2,207	MSÚ-B/27	-1,61	0,52	<b>0,89</b>
B288	CS9 - HEA140	5,490	MSÚ-B/18	<b>-2,75</b>	-2,27	1,26
B288	CS9 - HEA140	0,000	MSÚ-B/4	<b>0,30</b>	0,85	0,00
B288	CS9 - HEA140	6,000	MSÚ-B/27	-2,08	<b>-2,86</b>	0,00
B288	CS9 - HEA140	0,119	MSÚ-B/27	-1,77	<b>2,77</b>	0,30
B288	CS9 - HEA140	2,754	MSÚ-B/15	-0,46	0,00	<b>-0,38</b>
B288	CS9 - HEA140	2,937	MSÚ-B/27	-1,91	-0,07	<b>4,40</b>
B289	CS9 - HEA140	0,000	MSÚ-B/27	<b>-6,38</b>	5,97	0,00
B289	CS9 - HEA140	0,000	MSÚ-B/12	<b>0,74</b>	-0,29	0,00
B289	CS9 - HEA140	6,000	MSÚ-B/23	-5,72	<b>-5,74</b>	0,00
B289	CS9 - HEA140	0,000	MSÚ-B/18	-6,35	<b>6,04</b>	0,00
B289	CS9 - HEA140	2,937	MSÚ-B/12	0,71	-0,01	<b>-0,60</b>
B289	CS9 - HEA140	2,937	MSÚ-B/18	-6,25	0,17	<b>8,52</b>
B290	CS9 - HEA140	0,000	MSÚ-B/18	<b>-6,60</b>	5,18	0,00
B290	CS9 - HEA140	0,000	MSÚ-B/12	<b>1,16</b>	-0,57	0,00
B290	CS9 - HEA140	6,000	MSÚ-B/27	-6,11	<b>-5,18</b>	0,00
B290	CS9 - HEA140	0,000	MSÚ-B/27	-6,11	<b>5,18</b>	0,00
B290	CS9 - HEA140	3,000	MSÚ-B/12	1,16	0,00	<b>-0,85</b>
B290	CS9 - HEA140	3,000	MSÚ-B/27	-6,11	0,00	<b>7,77</b>
B291	CS9 - HEA140	3,000	MSÚ-B/3	<b>-17,20</b>	1,43	-0,15
B291	CS9 - HEA140	0,000	MSÚ-B/10	<b>6,04</b>	0,42	0,00
B291	CS9 - HEA140	5,000	MSÚ-B/23	-7,41	<b>-1,74</b>	-0,33
B291	CS9 - HEA140	1,000	MSÚ-B/27	-9,32	<b>1,76</b>	<b>-0,34</b>
B291	CS9 - HEA140	4,000	MSÚ-B/18	-13,54	-0,01	<b>0,60</b>
B292	CS9 - HEA140	0,000	MSÚ-B/18	<b>-5,19</b>	4,82	0,00
B292	CS9 - HEA140	0,000	MSÚ-B/12	<b>0,85</b>	-0,46	0,00
B292	CS9 - HEA140	6,000	MSÚ-B/27	-4,62	<b>-4,82</b>	0,00

Dílec	css	dx [m]	Stav	N [kN]	Vz [kN]	My [kNm]
B292	CS9 - HEA140	0,000	MSÚ-B/27	-4,62	<b>4,82</b>	0,00
B292	CS9 - HEA140	3,000	MSÚ-B/12	0,85	0,00	<b>-0,69</b>
B292	CS9 - HEA140	3,000	MSÚ-B/27	-4,62	0,00	<b>7,23</b>
B293	CS9 - HEA140	0,000	MSÚ-B/18	<b>-0,94</b>	2,64	0,00
B293	CS9 - HEA140	0,000	MSÚ-B/22	<b>0,30</b>	0,96	0,00
B293	CS9 - HEA140	6,000	MSÚ-B/27	-0,60	<b>-2,64</b>	0,00
B293	CS9 - HEA140	0,000	MSÚ-B/27	-0,60	<b>2,64</b>	0,00
B293	CS9 - HEA140	0,000	MSÚ-B/15	0,15	0,19	<b>0,00</b>
B293	CS9 - HEA140	3,000	MSÚ-B/27	-0,60	0,00	<b>3,97</b>
B294	CS9 - HEA140	5,538	MSÚ-B/3	<b>-3,56</b>	-1,65	0,87
B294	CS9 - HEA140	0,000	MSÚ-B/4	<b>0,84</b>	0,32	0,00
B294	CS9 - HEA140	6,000	MSÚ-B/18	-3,35	<b>-2,46</b>	0,00
B294	CS9 - HEA140	0,000	MSÚ-B/18	-2,81	<b>3,42</b>	0,00
B294	CS9 - HEA140	0,000	MSÚ-B/7	0,66	0,39	<b>0,00</b>
B294	CS9 - HEA140	2,819	MSÚ-B/18	-3,19	-0,03	<b>2,31</b>
B295	CS9 - HEA140	5,000	MSÚ-B/16	<b>-25,18</b>	0,07	0,21
B295	CS9 - HEA140	0,100	MSÚ-B/46	<b>22,58</b>	-0,27	-0,09
B295	CS9 - HEA140	3,000	MSÚ-B/23	-10,75	<b>-3,36</b>	-0,78
B295	CS9 - HEA140	3,000	MSÚ-B/19	-18,87	<b>4,54</b>	-0,79
B295	CS9 - HEA140	1,000	MSÚ-B/19	-12,06	4,52	<b>-0,83</b>
B295	CS9 - HEA140	2,275	MSÚ-B/18	-15,29	0,57	<b>1,29</b>
B296	CS9 - HEA140	0,100	MSÚ-B/25	<b>-1,97</b>	0,22	0,05
B296	CS9 - HEA140	0,000	MSÚ-B/4	<b>0,76</b>	0,36	0,00
B296	CS9 - HEA140	1,188	MSÚ-B/23	-1,80	<b>-0,91</b>	<b>-0,28</b>
B296	CS9 - HEA140	2,275	MSÚ-B/19	-0,84	<b>0,77</b>	-0,14
B296	CS9 - HEA140	4,450	MSÚ-B/20	0,18	0,16	<b>0,56</b>
B297	CS9 - HEA140	5,538	MSÚ-B/39	<b>-7,31</b>	0,10	0,01
B297	CS9 - HEA140	0,000	MSÚ-B/12	<b>-1,23</b>	-0,87	0,00
B297	CS9 - HEA140	0,100	MSÚ-B/23	-3,26	<b>-3,04</b>	-0,30
B297	CS9 - HEA140	1,188	MSÚ-B/19	-3,32	<b>1,15</b>	-0,44
B297	CS9 - HEA140	1,188	MSÚ-B/8	-2,78	-0,63	<b>-0,45</b>
B297	CS9 - HEA140	5,537	MSÚ-B/20	-5,36	0,04	<b>0,70</b>
B299	CS8 - HEA100	0,000	MSÚ-B/3	<b>-4,99</b>	0,22	0,00
B299	CS8 - HEA100	2,000	MSÚ-B/10	<b>9,73</b>	0,24	-0,03
B299	CS8 - HEA100	2,000	MSÚ-B/42	-0,71	<b>-0,34</b>	-0,10
B299	CS8 - HEA100	4,000	MSÚ-B/29	-0,72	<b>0,34</b>	-0,10
B299	CS8 - HEA100	4,000	MSÚ-B/43	-0,23	0,30	<b>-0,11</b>
B299	CS8 - HEA100	1,000	MSÚ-B/6	0,14	-0,02	<b>0,12</b>
B301	CS8 - HEA100	0,000	MSÚ-B/4	<b>2,99</b>	0,69	0,00
B301	CS8 - HEA100	0,000	MSÚ-B/8	<b>6,20</b>	0,94	0,00
B301	CS8 - HEA100	6,000	MSÚ-B/37	5,22	<b>-0,94</b>	0,00
B301	CS8 - HEA100	0,000	MSÚ-B/37	5,22	<b>0,94</b>	0,00
B301	CS8 - HEA100	0,000	MSÚ-B/50	5,30	0,69	<b>0,00</b>
B301	CS8 - HEA100	3,000	MSÚ-B/37	5,22	0,00	<b>1,40</b>
B302	CS8 - HEA100	0,000	MSÚ-B/22	<b>1,24</b>	0,78	0,00
B302	CS8 - HEA100	0,000	MSÚ-B/3	<b>3,30</b>	0,89	0,00
B302	CS8 - HEA100	6,000	MSÚ-B/37	1,97	<b>-1,05</b>	0,00
B302	CS8 - HEA100	0,000	MSÚ-B/37	1,97	<b>1,05</b>	0,00
B302	CS8 - HEA100	0,000	MSÚ-B/50	3,01	0,78	<b>0,00</b>
B302	CS8 - HEA100	3,000	MSÚ-B/37	1,97	0,00	<b>1,57</b>
B303	CS8 - HEA100	0,000	MSÚ-B/32	<b>-1,55</b>	0,25	0,00
B303	CS8 - HEA100	4,000	MSÚ-B/33	<b>28,11</b>	0,33	0,04
B303	CS8 - HEA100	2,000	MSÚ-B/26	-0,63	<b>-0,40</b>	-0,11
B303	CS8 - HEA100	2,000	MSÚ-B/26	19,80	<b>0,43</b>	-0,11
B303	CS8 - HEA100	2,000	MSÚ-B/20	16,46	0,37	<b>-0,12</b>
B303	CS8 - HEA100	4,800	MSÚ-B/31	24,49	0,03	<b>0,22</b>
B304	CS8 - HEA100	0,000	MSÚ-B/22	<b>2,41</b>	0,78	0,00
B304	CS8 - HEA100	0,000	MSÚ-B/27	<b>5,66</b>	0,90	0,00
B304	CS8 - HEA100	6,000	MSÚ-B/37	3,72	<b>-1,06</b>	0,00
B304	CS8 - HEA100	0,000	MSÚ-B/37	3,72	<b>1,06</b>	0,00
B304	CS8 - HEA100	0,000	MSÚ-B/50	4,83	0,78	<b>0,00</b>
B304	CS8 - HEA100	3,000	MSÚ-B/37	3,72	0,00	<b>1,59</b>
B305	CS8 - HEA100	0,000	MSÚ-B/22	<b>-0,54</b>	0,79	0,00
B305	CS8 - HEA100	0,000	MSÚ-B/9	<b>2,61</b>	0,91	0,00



Dílec	css	dx [m]	Stav	N [kN]	Vz [kN]	My [kNm]
B305	CS8 - HEA100	6,000	MSÚ-B/37	0,17	<b>-1,07</b>	0,00
B305	CS8 - HEA100	0,000	MSÚ-B/37	0,17	<b>1,07</b>	0,00
B305	CS8 - HEA100	0,000	MSÚ-B/50	1,31	0,79	<b>0,00</b>
B305	CS8 - HEA100	3,000	MSÚ-B/37	0,17	0,00	<b>1,60</b>
B306	CS8 - HEA100	0,000	MSÚ-B/2	<b>1,52</b>	0,78	0,00
B306	CS8 - HEA100	0,000	MSÚ-B/27	<b>4,56</b>	0,90	0,00
B306	CS8 - HEA100	6,000	MSÚ-B/37	2,29	<b>-1,06</b>	0,00
B306	CS8 - HEA100	0,000	MSÚ-B/37	2,29	<b>1,06</b>	0,00
B306	CS8 - HEA100	0,000	MSÚ-B/50	4,12	0,78	<b>0,00</b>
B306	CS8 - HEA100	3,000	MSÚ-B/37	2,29	0,00	<b>1,59</b>
B307	CS8 - HEA100	0,000	MSÚ-B/4	<b>1,01</b>	0,22	0,00
B307	CS8 - HEA100	2,000	MSÚ-B/3	<b>13,63</b>	0,31	-0,03
B307	CS8 - HEA100	2,000	MSÚ-B/42	6,71	<b>-0,40</b>	<b>-0,09</b>
B307	CS8 - HEA100	4,000	MSÚ-B/42	8,73	<b>0,39</b>	-0,08
B307	CS8 - HEA100	5,000	MSÚ-B/31	8,16	0,02	<b>0,16</b>
B308	CS8 - HEA100	0,000	MSÚ-B/22	<b>1,48</b>	0,78	0,00
B308	CS8 - HEA100	0,000	MSÚ-B/27	<b>6,20</b>	0,89	0,00
B308	CS8 - HEA100	6,000	MSÚ-B/37	3,23	<b>-1,05</b>	0,00
B308	CS8 - HEA100	0,000	MSÚ-B/37	3,23	<b>1,05</b>	0,00
B308	CS8 - HEA100	0,000	MSÚ-B/50	5,80	0,78	<b>0,00</b>
B308	CS8 - HEA100	3,000	MSÚ-B/37	3,23	0,00	<b>1,57</b>
B309	CS8 - HEA100	0,000	MSÚ-B/22	<b>-0,09</b>	0,78	0,00
B309	CS8 - HEA100	0,000	MSÚ-B/10	<b>5,36</b>	0,89	0,00
B309	CS8 - HEA100	6,000	MSÚ-B/37	1,93	<b>-1,05</b>	0,00
B309	CS8 - HEA100	0,000	MSÚ-B/37	1,93	<b>1,05</b>	0,00
B309	CS8 - HEA100	0,000	MSÚ-B/50	3,61	0,78	<b>0,00</b>
B309	CS8 - HEA100	3,000	MSÚ-B/37	1,93	0,00	<b>1,57</b>
B310	CS8 - HEA100	0,000	MSÚ-B/2	<b>0,20</b>	0,78	0,00
B310	CS8 - HEA100	0,000	MSÚ-B/10	<b>5,64</b>	0,89	0,00
B310	CS8 - HEA100	6,000	MSÚ-B/37	1,95	<b>-1,05</b>	0,00
B310	CS8 - HEA100	0,000	MSÚ-B/37	1,95	<b>1,05</b>	0,00
B310	CS8 - HEA100	0,000	MSÚ-B/50	3,42	0,78	<b>0,00</b>
B310	CS8 - HEA100	3,000	MSÚ-B/37	1,95	0,00	<b>1,57</b>
B311	CS9 - HEA140	3,000	MSÚ-B/18	<b>-10,35</b>	2,67	-0,76
B311	CS9 - HEA140	0,584	MSÚ-B/27	<b>14,91</b>	-2,39	0,13
B311	CS9 - HEA140	5,000	MSÚ-B/23	-9,40	<b>-4,34</b>	-0,52
B311	CS9 - HEA140	1,000	MSÚ-B/18	-6,96	<b>3,07</b>	<b>-0,98</b>
B311	CS9 - HEA140	3,867	MSÚ-B/27	-9,37	1,62	<b>1,05</b>
B312	CS9 - HEA140	4,961	MSÚ-B/18	<b>-2,78</b>	-2,17	-0,15
B312	CS9 - HEA140	6,000	MSÚ-B/51	<b>0,09</b>	1,58	-1,22
B312	CS9 - HEA140	6,000	MSÚ-B/27	-2,36	<b>-3,36</b>	-2,92
B312	CS9 - HEA140	0,000	MSÚ-B/27	-2,04	<b>2,40</b>	0,00
B312	CS9 - HEA140	6,000	MSÚ-B/18	-2,78	-3,35	<b>-3,00</b>
B312	CS9 - HEA140	2,408	MSÚ-B/23	-2,28	-0,04	<b>3,00</b>
B313	CS9 - HEA140	0,000	MSÚ-B/27	<b>-6,51</b>	4,67	0,00
B313	CS9 - HEA140	0,000	MSÚ-B/12	<b>0,63</b>	-0,28	0,00
B313	CS9 - HEA140	6,000	MSÚ-B/18	-6,38	<b>-6,63</b>	<b>-6,43</b>
B313	CS9 - HEA140	0,000	MSÚ-B/23	-6,21	<b>4,71</b>	0,00
B313	CS9 - HEA140	2,408	MSÚ-B/23	-6,14	0,15	<b>5,75</b>
B314	CS9 - HEA140	0,000	MSÚ-B/18	<b>-6,78</b>	4,35	0,00
B314	CS9 - HEA140	0,000	MSÚ-B/12	<b>0,81</b>	-0,47	0,00
B314	CS9 - HEA140	6,000	MSÚ-B/18	-6,78	<b>-6,02</b>	<b>-5,00</b>
B314	CS9 - HEA140	0,000	MSÚ-B/23	-5,92	<b>4,37</b>	0,00
B314	CS9 - HEA140	2,625	MSÚ-B/23	-5,92	-0,16	<b>5,53</b>
B315	CS9 - HEA140	1,000	MSÚ-B/3	<b>-16,15</b>	1,38	-0,11
B315	CS9 - HEA140	0,000	MSÚ-B/49	<b>6,75</b>	0,51	0,00
B315	CS9 - HEA140	3,000	MSÚ-B/18	-12,49	<b>-1,75</b>	-0,30
B315	CS9 - HEA140	6,000	MSÚ-B/27	0,00	<b>2,01</b>	<b>-1,18</b>
B315	CS9 - HEA140	4,000	MSÚ-B/27	-9,25	0,03	<b>0,60</b>
B316	CS9 - HEA140	0,000	MSÚ-B/18	<b>-5,92</b>	4,00	0,00
B316	CS9 - HEA140	0,000	MSÚ-B/12	<b>0,52</b>	-0,39	0,00
B316	CS9 - HEA140	6,000	MSÚ-B/18	-5,92	<b>-5,64</b>	<b>-4,90</b>
B316	CS9 - HEA140	0,000	MSÚ-B/23	-5,06	<b>4,03</b>	0,00
B316	CS9 - HEA140	2,625	MSÚ-B/23	-5,06	-0,19	<b>5,03</b>

Dílec	css	dx [m]	Stav	N [kN]	Vz [kN]	My [kNm]
B317	CS9 - HEA140	0,000	MSÚ-B/18	<b>-0,53</b>	2,54	0,00
B317	CS9 - HEA140	0,000	MSÚ-B/12	<b>0,10</b>	0,18	0,00
B317	CS9 - HEA140	6,000	MSÚ-B/27	-0,45	<b>-2,75</b>	<b>-0,62</b>
B317	CS9 - HEA140	0,000	MSÚ-B/27	-0,45	<b>2,54</b>	0,00
B317	CS9 - HEA140	3,000	MSÚ-B/27	-0,45	-0,10	<b>3,66</b>
B318	CS9 - HEA140	0,000	MSÚ-B/3	<b>-4,04</b>	2,10	0,00
B318	CS9 - HEA140	6,000	MSÚ-B/47	<b>0,01</b>	0,79	-0,34
B318	CS9 - HEA140	6,000	MSÚ-B/18	-3,63	<b>-3,82</b>	<b>-3,31</b>
B318	CS9 - HEA140	6,000	MSÚ-B/23	-0,10	<b>3,08</b>	-1,75
B318	CS9 - HEA140	2,256	MSÚ-B/18	-3,85	-0,07	<b>2,20</b>
B319	CS9 - HEA140	2,800	MSÚ-B/31	<b>-25,56</b>	-3,75	0,46
B319	CS9 - HEA140	5,000	MSÚ-B/3	<b>2,02</b>	-0,25	-0,23
B319	CS9 - HEA140	3,000	MSÚ-B/19	-20,96	<b>-4,51</b>	-0,45
B319	CS9 - HEA140	1,000	MSÚ-B/23	-19,30	<b>3,02</b>	-0,53
B319	CS9 - HEA140	6,000	MSÚ-B/19	1,15	-1,45	<b>-1,06</b>
B319	CS9 - HEA140	1,712	MSÚ-B/19	-21,06	2,15	<b>1,29</b>
B320	CS9 - HEA140	4,975	MSÚ-B/3	<b>-1,71</b>	-0,24	-0,20
B320	CS9 - HEA140	6,000	MSÚ-B/30	<b>0,26</b>	0,37	-0,12
B320	CS9 - HEA140	6,000	MSÚ-B/8	-1,27	<b>-1,40</b>	-1,12
B320	CS9 - HEA140	6,000	MSÚ-B/18	0,02	<b>0,92</b>	-0,09
B320	CS9 - HEA140	6,000	MSÚ-B/17	-1,41	-1,37	<b>-1,19</b>
B320	CS9 - HEA140	1,712	MSÚ-B/20	-0,42	0,19	<b>0,67</b>
B321	CS9 - HEA140	0,625	MSÚ-B/29	<b>-8,68</b>	0,93	0,17
B321	CS9 - HEA140	7,150	MSÚ-B/37	<b>0,00</b>	0,03	0,00
B321	CS9 - HEA140	6,063	MSÚ-B/18	-1,38	<b>-3,23</b>	-0,96
B321	CS9 - HEA140	6,000	MSÚ-B/7	-0,93	<b>2,55</b>	0,24
B321	CS9 - HEA140	6,000	MSÚ-B/8	-5,93	-1,69	<b>-1,78</b>
B321	CS9 - HEA140	2,075	MSÚ-B/8	-8,39	0,04	<b>0,88</b>
B323	CS8 - HEA100	0,000	MSÚ-B/16	<b>-1,82</b>	0,21	0,00
B323	CS8 - HEA100	2,000	MSÚ-B/27	<b>14,46</b>	0,26	-0,02
B323	CS8 - HEA100	2,000	MSÚ-B/29	0,12	<b>-0,34</b>	-0,10
B323	CS8 - HEA100	4,000	MSÚ-B/42	3,23	<b>0,33</b>	-0,09
B323	CS8 - HEA100	2,000	MSÚ-B/43	0,56	-0,30	<b>-0,12</b>
B323	CS8 - HEA100	5,000	MSÚ-B/17	8,15	0,01	<b>0,13</b>
B325	CS8 - HEA100	0,000	MSÚ-B/7	<b>4,02</b>	0,69	0,00
B325	CS8 - HEA100	0,000	MSÚ-B/8	<b>7,39</b>	0,94	0,00
B325	CS8 - HEA100	6,000	MSÚ-B/37	6,39	<b>-0,94</b>	0,00
B325	CS8 - HEA100	0,000	MSÚ-B/37	6,39	<b>0,94</b>	0,00
B325	CS8 - HEA100	0,000	MSÚ-B/50	5,49	0,69	<b>0,00</b>
B325	CS8 - HEA100	3,000	MSÚ-B/37	6,39	0,00	<b>1,40</b>
B326	CS8 - HEA100	0,000	MSÚ-B/22	<b>1,24</b>	0,78	0,00
B326	CS8 - HEA100	0,000	MSÚ-B/3	<b>2,68</b>	0,89	0,00
B326	CS8 - HEA100	6,000	MSÚ-B/37	1,81	<b>-1,05</b>	0,00
B326	CS8 - HEA100	0,000	MSÚ-B/37	1,81	<b>1,05</b>	0,00
B326	CS8 - HEA100	0,000	MSÚ-B/52	2,49	0,78	<b>0,00</b>
B326	CS8 - HEA100	3,000	MSÚ-B/37	1,81	0,00	<b>1,57</b>
B327	CS8 - HEA100	4,000	MSÚ-B/2	<b>5,50</b>	0,28	-0,05
B327	CS8 - HEA100	2,000	MSÚ-B/8	<b>32,38</b>	0,31	0,08
B327	CS8 - HEA100	4,000	MSÚ-B/13	25,64	<b>-0,40</b>	-0,05
B327	CS8 - HEA100	0,000	MSÚ-B/31	26,24	<b>0,39</b>	0,00
B327	CS8 - HEA100	4,000	MSÚ-B/16	20,84	-0,35	<b>-0,05</b>
B327	CS8 - HEA100	2,800	MSÚ-B/8	32,38	0,03	<b>0,22</b>
B328	CS8 - HEA100	0,000	MSÚ-B/2	<b>2,87</b>	0,78	0,00
B328	CS8 - HEA100	0,000	MSÚ-B/10	<b>6,02</b>	0,90	0,00
B328	CS8 - HEA100	6,000	MSÚ-B/37	4,26	<b>-1,06</b>	0,00
B328	CS8 - HEA100	0,000	MSÚ-B/37	4,26	<b>1,06</b>	0,00
B328	CS8 - HEA100	0,000	MSÚ-B/52	4,36	0,78	<b>0,00</b>
B328	CS8 - HEA100	3,000	MSÚ-B/37	4,26	0,00	<b>1,59</b>
B329	CS8 - HEA100	0,000	MSÚ-B/32	<b>-0,78</b>	0,91	0,00
B329	CS8 - HEA100	0,000	MSÚ-B/14	<b>2,81</b>	0,79	0,00
B329	CS8 - HEA100	6,000	MSÚ-B/37	-0,35	<b>-1,07</b>	0,00
B329	CS8 - HEA100	0,000	MSÚ-B/37	-0,35	<b>1,07</b>	0,00
B329	CS8 - HEA100	0,000	MSÚ-B/52	0,97	0,79	<b>0,00</b>
B329	CS8 - HEA100	3,000	MSÚ-B/37	-0,35	0,00	<b>1,60</b>

Dílec	css	dx [m]	Stav	N [kN]	Vz [kN]	My [kNm]
B330	CS8 - HEA100	0,000	MSÚ-B/2	<b>1,33</b>	0,78	0,00
B330	CS8 - HEA100	0,000	MSÚ-B/27	<b>5,31</b>	0,90	0,00
B330	CS8 - HEA100	6,000	MSÚ-B/37	2,62	<b>-1,06</b>	0,00
B330	CS8 - HEA100	0,000	MSÚ-B/37	2,62	<b>1,06</b>	0,00
B330	CS8 - HEA100	0,000	MSÚ-B/52	3,76	0,78	<b>0,00</b>
B330	CS8 - HEA100	3,000	MSÚ-B/37	2,62	0,00	<b>1,59</b>
B331	CS8 - HEA100	4,000	MSÚ-B/2	<b>-3,75</b>	0,31	-0,09
B331	CS8 - HEA100	2,000	MSÚ-B/10	<b>14,30</b>	0,28	-0,01
B331	CS8 - HEA100	2,000	MSÚ-B/29	7,97	<b>-0,39</b>	-0,08
B331	CS8 - HEA100	4,000	MSÚ-B/29	2,39	<b>0,41</b>	<b>-0,11</b>
B331	CS8 - HEA100	1,000	MSÚ-B/31	6,81	-0,02	<b>0,15</b>
B332	CS8 - HEA100	0,000	MSÚ-B/22	<b>1,67</b>	0,78	0,00
B332	CS8 - HEA100	0,000	MSÚ-B/27	<b>6,91</b>	0,89	0,00
B332	CS8 - HEA100	6,000	MSÚ-B/37	3,57	<b>-1,05</b>	0,00
B332	CS8 - HEA100	0,000	MSÚ-B/37	3,57	<b>1,05</b>	0,00
B332	CS8 - HEA100	0,000	MSÚ-B/52	5,60	0,78	<b>0,00</b>
B332	CS8 - HEA100	3,000	MSÚ-B/37	3,57	0,00	<b>1,57</b>
B333	CS8 - HEA100	0,000	MSÚ-B/22	<b>0,00</b>	0,78	0,00
B333	CS8 - HEA100	0,000	MSÚ-B/10	<b>5,36</b>	0,89	0,00
B333	CS8 - HEA100	6,000	MSÚ-B/37	1,70	<b>-1,05</b>	0,00
B333	CS8 - HEA100	0,000	MSÚ-B/37	1,70	<b>1,05</b>	0,00
B333	CS8 - HEA100	0,000	MSÚ-B/52	2,59	0,78	<b>0,00</b>
B333	CS8 - HEA100	3,000	MSÚ-B/37	1,70	0,00	<b>1,57</b>
B334	CS8 - HEA100	0,000	MSÚ-B/2	<b>-0,03</b>	0,78	0,00
B334	CS8 - HEA100	0,000	MSÚ-B/10	<b>5,70</b>	0,89	0,00
B334	CS8 - HEA100	6,000	MSÚ-B/37	2,01	<b>-1,05</b>	0,00
B334	CS8 - HEA100	0,000	MSÚ-B/37	2,01	<b>1,05</b>	0,00
B334	CS8 - HEA100	0,000	MSÚ-B/52	2,38	0,78	<b>0,00</b>
B334	CS8 - HEA100	3,000	MSÚ-B/37	2,01	0,00	<b>1,57</b>
B335	CS9 - HEA140	0,000	MSÚ-B/28	<b>3,36</b>	0,60	0,00
B335	CS9 - HEA140	5,900	MSÚ-B/42	<b>8,78</b>	-0,27	0,03
B335	CS9 - HEA140	6,000	MSÚ-B/18	5,69	<b>-0,72</b>	0,00
B335	CS9 - HEA140	0,000	MSÚ-B/23	4,04	<b>0,76</b>	0,00
B335	CS9 - HEA140	1,820	MSÚ-B/4	5,35	0,01	<b>-0,22</b>
B335	CS9 - HEA140	4,230	MSÚ-B/18	5,43	-0,06	<b>0,19</b>
B336	CS9 - HEA140	2,460	MSÚ-B/19	<b>-4,46</b>	-0,05	0,08
B336	CS9 - HEA140	5,000	MSÚ-B/8	<b>5,77</b>	0,88	-0,30
B336	CS9 - HEA140	5,000	MSÚ-B/23	-2,40	<b>-1,08</b>	<b>-0,35</b>
B336	CS9 - HEA140	1,000	MSÚ-B/23	-4,22	<b>1,15</b>	-0,30
B336	CS9 - HEA140	1,820	MSÚ-B/19	-4,45	0,13	<b>0,26</b>
B337	CS8 - HEA100	4,000	MSÚ-B/32	<b>-2,44</b>	0,29	-0,09
B337	CS8 - HEA100	0,000	MSÚ-B/9	<b>4,80</b>	0,21	0,00
B337	CS8 - HEA100	2,000	MSÚ-B/26	3,65	<b>-0,33</b>	-0,10
B337	CS8 - HEA100	4,000	MSÚ-B/26	0,05	<b>0,34</b>	<b>-0,11</b>
B337	CS8 - HEA100	0,800	MSÚ-B/8	4,47	0,02	<b>0,11</b>
B338	CS8 - HEA100	0,000	MSÚ-B/42	<b>-8,50</b>	0,97	0,00
B338	CS8 - HEA100	0,000	MSÚ-B/49	<b>-4,06</b>	0,72	0,00
B338	CS8 - HEA100	6,000	MSÚ-B/37	-7,82	<b>-0,97</b>	0,00
B338	CS8 - HEA100	0,000	MSÚ-B/37	-7,82	<b>0,97</b>	0,00
B338	CS8 - HEA100	0,000	MSÚ-B/28	-4,26	0,72	<b>0,00</b>
B338	CS8 - HEA100	3,000	MSÚ-B/37	-7,82	0,00	<b>1,46</b>
B339	CS9 - HEA140	5,900	MSÚ-B/50	<b>3,57</b>	-0,74	0,08
B339	CS9 - HEA140	0,000	MSÚ-B/42	<b>8,77</b>	0,28	0,00
B339	CS9 - HEA140	6,000	MSÚ-B/18	4,22	<b>-0,81</b>	0,00
B339	CS9 - HEA140	4,720	MSÚ-B/19	6,01	<b>0,72</b>	-0,05
B339	CS9 - HEA140	4,130	MSÚ-B/4	5,42	-0,02	<b>-0,22</b>
B339	CS9 - HEA140	5,310	MSÚ-B/18	4,90	0,10	<b>0,24</b>
B340	CS9 - HEA140	3,000	MSÚ-B/18	<b>-2,47</b>	0,62	-0,09
B340	CS9 - HEA140	0,000	MSÚ-B/18	<b>6,06</b>	0,27	0,00
B340	CS9 - HEA140	5,000	MSÚ-B/23	-1,85	<b>-1,09</b>	-0,34
B340	CS9 - HEA140	1,000	MSÚ-B/18	-1,17	<b>1,08</b>	-0,34
B340	CS9 - HEA140	5,000	MSÚ-B/23	4,02	1,05	<b>-0,34</b>
B340	CS9 - HEA140	4,130	MSÚ-B/18	-2,44	-0,09	<b>0,24</b>
B341	CS8 - HEA100	4,000	MSÚ-B/4	<b>-2,56</b>	0,26	-0,10

Dílec	css	dx [m]	Stav	N [kN]	Vz [kN]	My [kNm]
B341	CS8 - HEA100	2,000	MSÚ-B/18	<b>3,77</b>	0,25	-0,08
B341	CS8 - HEA100	2,000	MSÚ-B/26	-0,32	<b>-0,34</b>	-0,11
B341	CS8 - HEA100	4,000	MSÚ-B/33	-1,23	<b>0,34</b>	<b>-0,11</b>
B341	CS8 - HEA100	5,200	MSÚ-B/31	2,36	-0,02	<b>0,10</b>
B342	CS8 - HEA100	0,000	MSÚ-B/42	<b>-8,48</b>	0,97	0,00
B342	CS8 - HEA100	0,000	MSÚ-B/53	<b>-4,07</b>	0,72	0,00
B342	CS8 - HEA100	6,000	MSÚ-B/37	-7,78	<b>-0,97</b>	0,00
B342	CS8 - HEA100	0,000	MSÚ-B/37	-7,78	<b>0,97</b>	0,00
B342	CS8 - HEA100	0,000	MSÚ-B/12	-6,92	0,72	<b>0,00</b>
B342	CS8 - HEA100	3,000	MSÚ-B/37	-7,78	0,00	<b>1,46</b>
B365	CS9 - HEA140	1,250	MSÚ-B/50	<b>-0,13</b>	2,67	-0,60
B365	CS9 - HEA140	1,250	MSÚ-B/20	<b>0,22</b>	0,36	-0,06
B365	CS9 - HEA140	7,250	MSÚ-B/19	-0,10	<b>-2,65</b>	0,00
B365	CS9 - HEA140	1,250	MSÚ-B/19	-0,10	<b>2,87</b>	-0,65
B365	CS9 - HEA140	1,250	MSÚ-B/19	0,00	-1,09	<b>-0,65</b>
B365	CS9 - HEA140	4,250	MSÚ-B/19	-0,10	0,11	<b>3,81</b>
B366	CS9 - HEA140	0,000	MSÚ-B/18	<b>-0,56</b>	2,76	0,00
B366	CS9 - HEA140	0,000	MSÚ-B/4	<b>0,21</b>	0,15	<b>0,00</b>
B366	CS9 - HEA140	6,000	MSÚ-B/19	-0,43	<b>-2,76</b>	0,00
B366	CS9 - HEA140	0,000	MSÚ-B/19	-0,43	<b>2,76</b>	0,00
B366	CS9 - HEA140	3,000	MSÚ-B/19	-0,43	0,00	<b>4,14</b>
B367	CS9 - HEA140	0,000	MSÚ-B/3	<b>-1,06</b>	2,35	0,00
B367	CS9 - HEA140	0,000	MSÚ-B/4	<b>0,14</b>	0,15	<b>0,00</b>
B367	CS9 - HEA140	6,000	MSÚ-B/19	-0,71	<b>-2,76</b>	0,00
B367	CS9 - HEA140	0,000	MSÚ-B/19	-0,71	<b>2,76</b>	0,00
B367	CS9 - HEA140	3,000	MSÚ-B/19	-0,71	0,00	<b>4,14</b>
B368	CS9 - HEA140	0,000	MSÚ-B/30	<b>-0,19</b>	1,16	0,00
B368	CS9 - HEA140	0,000	MSÚ-B/47	<b>0,05</b>	0,69	0,00
B368	CS9 - HEA140	6,000	MSÚ-B/19	-0,09	<b>-2,76</b>	0,00
B368	CS9 - HEA140	0,000	MSÚ-B/19	-0,09	<b>2,76</b>	0,00
B368	CS9 - HEA140	0,000	MSÚ-B/7	0,03	0,15	<b>0,00</b>
B368	CS9 - HEA140	3,000	MSÚ-B/19	-0,09	0,00	<b>4,14</b>
B369	CS9 - HEA140	0,000	MSÚ-B/23	<b>-0,99</b>	2,76	0,00
B369	CS9 - HEA140	0,000	MSÚ-B/2	<b>0,23</b>	0,97	0,00
B369	CS9 - HEA140	6,000	MSÚ-B/19	-0,63	<b>-2,76</b>	0,00
B369	CS9 - HEA140	0,000	MSÚ-B/19	-0,63	<b>2,76</b>	0,00
B369	CS9 - HEA140	0,000	MSÚ-B/7	-0,09	0,15	<b>0,00</b>
B369	CS9 - HEA140	3,000	MSÚ-B/19	-0,63	0,00	<b>4,14</b>
B370	CS9 - HEA140	0,000	MSÚ-B/23	<b>-0,29</b>	2,65	0,00
B370	CS9 - HEA140	0,000	MSÚ-B/2	<b>0,19</b>	0,93	0,00
B370	CS9 - HEA140	6,000	MSÚ-B/19	-0,16	<b>-2,87</b>	<b>-0,65</b>
B370	CS9 - HEA140	0,000	MSÚ-B/19	-0,16	<b>2,65</b>	0,00
B370	CS9 - HEA140	3,000	MSÚ-B/19	-0,16	-0,11	<b>3,81</b>
B698	CS9 - HEA140	1,000	MSÚ-B/18	<b>-8,31</b>	<b>4,37</b>	-0,55
B698	CS9 - HEA140	5,000	MSÚ-B/27	<b>14,29</b>	2,76	-0,92
B698	CS9 - HEA140	5,000	MSÚ-B/27	-5,38	<b>-3,05</b>	-0,95
B698	CS9 - HEA140	5,000	MSÚ-B/18	-6,07	-3,05	<b>-0,95</b>
B698	CS9 - HEA140	2,133	MSÚ-B/27	-8,04	0,67	<b>1,03</b>
B699	CS9 - HEA140	0,000	MSÚ-B/51	<b>-0,05</b>	3,32	-1,46
B699	CS9 - HEA140	0,000	MSÚ-B/43	<b>0,04</b>	-1,81	0,76
B699	CS9 - HEA140	0,056	MSÚ-B/12	0,04	<b>-2,09</b>	0,77
B699	CS9 - HEA140	0,000	MSÚ-B/23	-0,02	<b>4,55</b>	-1,97
B699	CS9 - HEA140	0,000	MSÚ-B/18	-0,02	4,54	<b>-1,98</b>
B699	CS9 - HEA140	0,000	MSÚ-B/12	0,04	-2,08	<b>0,89</b>

## 12.4. Požární odolnost ocelových prvků EC-EN 1993 - 15 minut

Lineární výpočet

Kombinace: POŽÁR

Souřadný systém: Hlavní

Extrém 1D: Průřez

Výběr: Pojmenovaný výběr - vaznice+podhled

**Celkový posudek**

Jméno	dx [m]	Stav	Průřez	Materiál	UC <sub>Celkový</sub> [-]	UC <sub>Teplota</sub> [-]	UC <sub>Průřez</sub> [-]	UC <sub>Stabilita</sub> [-]	Kritická tepl. [°C]
B338	3,000-	POŽÁR/1	CS8 - HEA100	S 235	<b>0,97</b>	0,97	0,20	0,99	682,60
B290	3,000+	POŽÁR/2	CS9 - HEA140	S 235	<b>0,95</b>	0,95	0,32	0,99	683,75

Jméno	Klíč kombinace
POŽÁR/1	vl.tíha + užité + stálé + 0.20*VPŘ3
POŽÁR/2	vl.tíha + 0.20*sníhC + užité + stálé

## 12.5. Relativní deformace

Lineární výpočet, Extrém : Globální, Systém : Hlavní

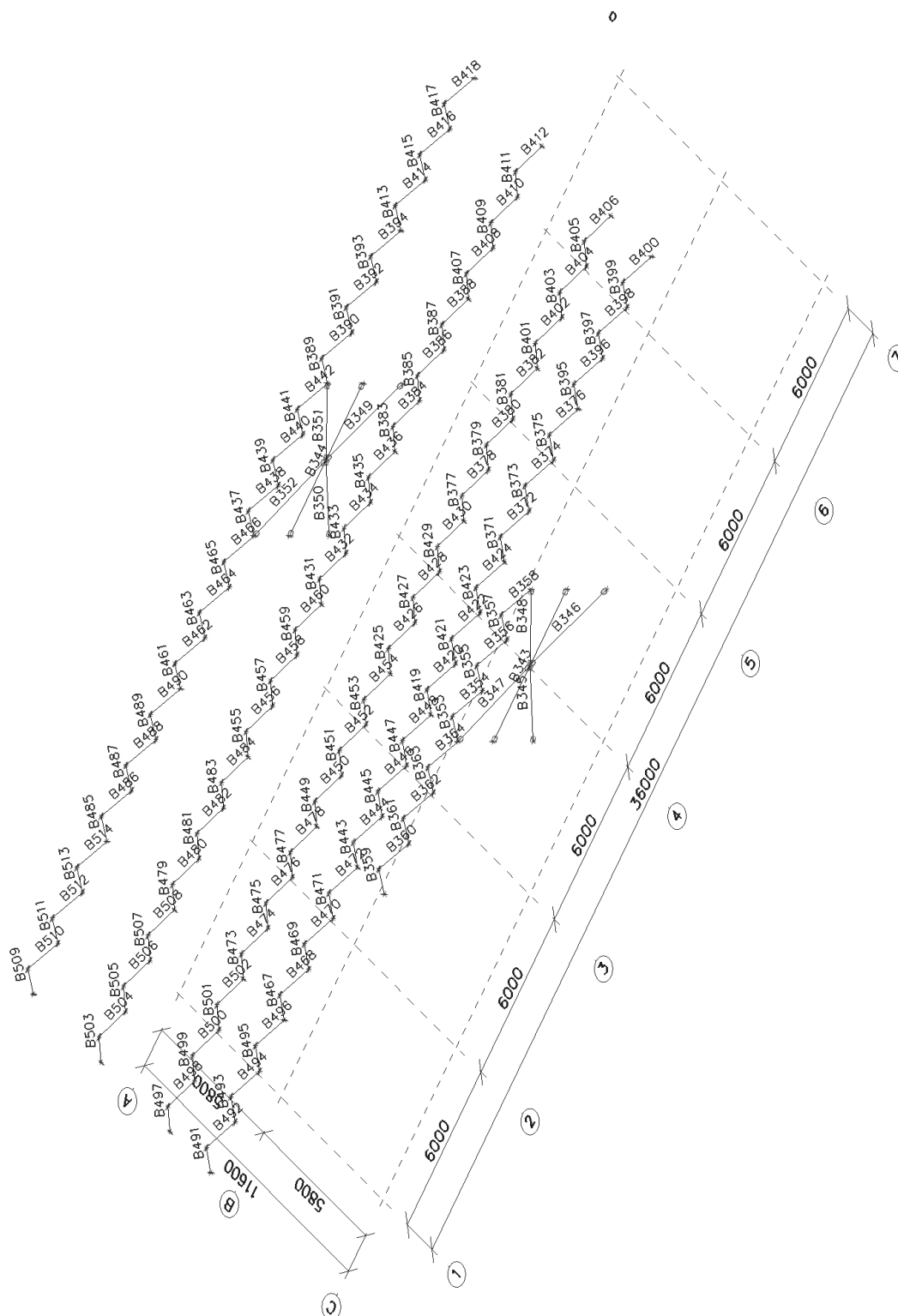
Výběr : Pojmenovaný výběr - vaznice+podhled

Kombinace : MSP

Dílec	dx [m]	Stav - kombinace	uz [mm]	Rel uz [1/xx]
B289	2,937	MSP/36	<b>-11,4</b>	<b>1/526</b>
B314	7,250	MSP/36	<b>2,6</b>	<b>1/477</b>

## 13. ZTUŽENÍ

### 13.1. Popis prutů





## 13.2. Prvky

Jméno	Průřez	Materiál	Délka [m]	Poč. uzel	Konc. uzel	Typ
B343	CS5 - SHS100/100/5.0	S 235	6,000	N226	N227	nosník (80)
B344	CS5 - SHS100/100/5.0	S 235	6,000	N228	N229	nosník (80)
B345	CS6 - MSH90x90x4.0	S 235	3,486	N82	N230	nosník (80)
B346	CS6 - MSH90x90x4.0	S 235	3,486	N230	N54	nosník (80)
B347	CS6 - MSH90x90x4.0	S 235	3,389	N59	N230	nosník (80)
B348	CS6 - MSH90x90x4.0	S 235	3,389	N230	N31	nosník (80)
B349	CS6 - MSH90x90x4.0	S 235	3,486	N27	N231	nosník (80)
B350	CS6 - MSH90x90x4.0	S 235	3,486	N231	N57	nosník (80)
B351	CS6 - MSH90x90x4.0	S 235	3,389	N32	N231	nosník (80)
B352	CS6 - MSH90x90x4.0	S 235	3,389	N231	N60	nosník (80)
B353	CS10 - RO70X5	S 235	1,281	N59	N232	nosník (80)
B354	CS11 - RO51X4	S 235	1,281	N232	N233	nosník (80)
B355	CS11 - RO51X4	S 235	1,281	N233	N234	nosník (80)
B356	CS11 - RO51X4	S 235	1,281	N234	N235	nosník (80)
B357	CS11 - RO51X4	S 235	1,281	N235	N236	nosník (80)
B358	CS10 - RO70X5	S 235	1,281	N236	N31	nosník (80)
B359	CS10 - RO70X5	S 235	1,281	N89	N237	nosník (80)
B360	CS11 - RO51X4	S 235	1,281	N237	N238	nosník (80)
B361	CS11 - RO51X4	S 235	1,281	N238	N239	nosník (80)
B362	CS11 - RO51X4	S 235	1,281	N239	N240	nosník (80)
B363	CS11 - RO51X4	S 235	1,281	N240	N241	nosník (80)
B364	CS10 - RO70X5	S 235	1,281	N241	N59	nosník (80)
B371	CS10 - RO70X5	S 235	1,240	N30	N249	nosník (80)
B372	CS11 - RO51X4	S 235	1,240	N249	N250	nosník (80)
B373	CS11 - RO51X4	S 235	1,240	N250	N251	nosník (80)
B374	CS11 - RO51X4	S 235	1,240	N251	N252	nosník (80)
B375	CS11 - RO51X4	S 235	1,240	N252	N253	nosník (80)
B376	CS10 - RO70X5	S 235	1,240	N253	N5	nosník (80)
B377	CS10 - RO70X5	S 235	1,184	N48	N254	nosník (80)
B378	CS11 - RO51X4	S 235	1,184	N254	N255	nosník (80)
B379	CS11 - RO51X4	S 235	1,184	N255	N256	nosník (80)
B380	CS11 - RO51X4	S 235	1,184	N256	N257	nosník (80)
B381	CS11 - RO51X4	S 235	1,184	N257	N258	nosník (80)
B382	CS10 - RO70X5	S 235	1,184	N258	N21	nosník (80)
B383	CS10 - RO70X5	S 235	1,184	N41	N259	nosník (80)
B384	CS11 - RO51X4	S 235	1,184	N259	N260	nosník (80)
B385	CS11 - RO51X4	S 235	1,184	N260	N261	nosník (80)
B386	CS11 - RO51X4	S 235	1,184	N261	N262	nosník (80)
B387	CS11 - RO51X4	S 235	1,184	N262	N263	nosník (80)
B388	CS10 - RO70X5	S 235	1,184	N263	N14	nosník (80)
B389	CS10 - RO70X5	S 235	1,281	N32	N264	nosník (80)
B390	CS11 - RO51X4	S 235	1,281	N264	N265	nosník (80)
B391	CS11 - RO51X4	S 235	1,281	N265	N266	nosník (80)
B392	CS11 - RO51X4	S 235	1,281	N266	N267	nosník (80)
B393	CS11 - RO51X4	S 235	1,281	N267	N268	nosník (80)
B394	CS10 - RO70X5	S 235	1,281	N268	N6	nosník (80)
B395	CS10 - RO70X5	S 235	1,240	N5	N269	nosník (80)
B396	CS11 - RO51X4	S 235	1,240	N269	N270	nosník (80)
B397	CS11 - RO51X4	S 235	1,240	N270	N271	nosník (80)
B398	CS11 - RO51X4	S 235	1,240	N271	N272	nosník (80)
B399	CS11 - RO51X4	S 235	1,240	N272	N273	nosník (80)
B400	CS10 - RO70X5	S 235	1,240	N273	N119	nosník (80)
B401	CS10 - RO70X5	S 235	1,184	N21	N274	nosník (80)
B402	CS11 - RO51X4	S 235	1,184	N274	N275	nosník (80)
B403	CS11 - RO51X4	S 235	1,184	N275	N276	nosník (80)
B404	CS11 - RO51X4	S 235	1,184	N276	N277	nosník (80)
B405	CS11 - RO51X4	S 235	1,184	N277	N278	nosník (80)
B406	CS10 - RO70X5	S 235	1,184	N278	N135	nosník (80)
B407	CS10 - RO70X5	S 235	1,184	N14	N279	nosník (80)
B408	CS11 - RO51X4	S 235	1,184	N279	N280	nosník (80)
B409	CS11 - RO51X4	S 235	1,184	N280	N281	nosník (80)
B410	CS11 - RO51X4	S 235	1,184	N281	N282	nosník (80)
B411	CS11 - RO51X4	S 235	1,184	N282	N283	nosník (80)

Jméno	Průřez	Materiál	Délka [m]	Poč. uzel	Konc. uzel	Typ
B412	CS10 - RO70X5	S 235	1,184	N283	N128	nosník (80)
B413	CS10 - RO70X5	S 235	1,281	N6	N284	nosník (80)
B414	CS11 - RO51X4	S 235	1,281	N284	N285	nosník (80)
B415	CS11 - RO51X4	S 235	1,281	N285	N286	nosník (80)
B416	CS11 - RO51X4	S 235	1,281	N286	N287	nosník (80)
B417	CS11 - RO51X4	S 235	1,281	N287	N288	nosník (80)
B418	CS10 - RO70X5	S 235	1,281	N288	N120	nosník (80)
B419	CS10 - RO70X5	S 235	1,240	N210	N289	nosník (80)
B420	CS11 - RO51X4	S 235	1,240	N289	N290	nosník (80)
B421	CS11 - RO51X4	S 235	1,240	N290	N291	nosník (80)
B422	CS11 - RO51X4	S 235	1,240	N291	N292	nosník (80)
B423	CS11 - RO51X4	S 235	1,240	N292	N293	nosník (80)
B424	CS10 - RO70X5	S 235	1,240	N293	N30	nosník (80)
B425	CS10 - RO70X5	S 235	1,184	N76	N294	nosník (80)
B426	CS11 - RO51X4	S 235	1,184	N294	N295	nosník (80)
B427	CS11 - RO51X4	S 235	1,184	N295	N296	nosník (80)
B428	CS11 - RO51X4	S 235	1,184	N296	N297	nosník (80)
B429	CS11 - RO51X4	S 235	1,184	N297	N298	nosník (80)
B430	CS10 - RO70X5	S 235	1,184	N298	N48	nosník (80)
B431	CS10 - RO70X5	S 235	1,184	N69	N299	nosník (80)
B432	CS11 - RO51X4	S 235	1,184	N299	N300	nosník (80)
B433	CS11 - RO51X4	S 235	1,184	N300	N301	nosník (80)
B434	CS11 - RO51X4	S 235	1,184	N301	N302	nosník (80)
B435	CS11 - RO51X4	S 235	1,184	N302	N303	nosník (80)
B436	CS10 - RO70X5	S 235	1,184	N303	N41	nosník (80)
B437	CS10 - RO70X5	S 235	1,281	N60	N304	nosník (80)
B438	CS11 - RO51X4	S 235	1,281	N304	N305	nosník (80)
B439	CS11 - RO51X4	S 235	1,281	N305	N306	nosník (80)
B440	CS11 - RO51X4	S 235	1,281	N306	N307	nosník (80)
B441	CS11 - RO51X4	S 235	1,281	N307	N308	nosník (80)
B442	CS10 - RO70X5	S 235	1,281	N308	N32	nosník (80)
B443	CS10 - RO70X5	S 235	1,240	N88	N309	nosník (80)
B444	CS11 - RO51X4	S 235	1,240	N309	N310	nosník (80)
B445	CS11 - RO51X4	S 235	1,240	N310	N311	nosník (80)
B446	CS11 - RO51X4	S 235	1,240	N311	N312	nosník (80)
B447	CS11 - RO51X4	S 235	1,240	N312	N313	nosník (80)
B448	CS10 - RO70X5	S 235	1,240	N313	N210	nosník (80)
B449	CS10 - RO70X5	S 235	1,184	N106	N314	nosník (80)
B450	CS11 - RO51X4	S 235	1,184	N314	N315	nosník (80)
B451	CS11 - RO51X4	S 235	1,184	N315	N316	nosník (80)
B452	CS11 - RO51X4	S 235	1,184	N316	N317	nosník (80)
B453	CS11 - RO51X4	S 235	1,184	N317	N318	nosník (80)
B454	CS10 - RO70X5	S 235	1,184	N318	N76	nosník (80)
B455	CS10 - RO70X5	S 235	1,184	N99	N319	nosník (80)
B456	CS11 - RO51X4	S 235	1,184	N319	N320	nosník (80)
B457	CS11 - RO51X4	S 235	1,184	N320	N321	nosník (80)
B458	CS11 - RO51X4	S 235	1,184	N321	N322	nosník (80)
B459	CS11 - RO51X4	S 235	1,184	N322	N323	nosník (80)
B460	CS10 - RO70X5	S 235	1,184	N323	N69	nosník (80)
B461	CS10 - RO70X5	S 235	1,281	N90	N324	nosník (80)
B462	CS11 - RO51X4	S 235	1,281	N324	N325	nosník (80)
B463	CS11 - RO51X4	S 235	1,281	N325	N326	nosník (80)
B464	CS11 - RO51X4	S 235	1,281	N326	N327	nosník (80)
B465	CS11 - RO51X4	S 235	1,281	N327	N328	nosník (80)
B466	CS10 - RO70X5	S 235	1,281	N328	N60	nosník (80)
B467	CS10 - RO70X5	S 235	1,240	N171	N329	nosník (80)
B468	CS11 - RO51X4	S 235	1,240	N329	N330	nosník (80)
B469	CS11 - RO51X4	S 235	1,240	N330	N331	nosník (80)
B470	CS11 - RO51X4	S 235	1,240	N331	N332	nosník (80)
B471	CS11 - RO51X4	S 235	1,240	N332	N333	nosník (80)
B472	CS10 - RO70X5	S 235	1,240	N333	N88	nosník (80)
B473	CS10 - RO70X5	S 235	1,184	N187	N334	nosník (80)
B474	CS11 - RO51X4	S 235	1,184	N334	N335	nosník (80)
B475	CS11 - RO51X4	S 235	1,184	N335	N336	nosník (80)



Jméno	Průřez	Materiál	Délka [m]	Poč. uzel	Konc. uzel	Typ
B476	CS11 - RO51X4	S 235	1,184	N336	N337	nosník (80)
B477	CS11 - RO51X4	S 235	1,184	N337	N338	nosník (80)
B478	CS10 - RO70X5	S 235	1,184	N338	N106	nosník (80)
B479	CS10 - RO70X5	S 235	1,184	N180	N339	nosník (80)
B480	CS11 - RO51X4	S 235	1,184	N339	N340	nosník (80)
B481	CS11 - RO51X4	S 235	1,184	N340	N341	nosník (80)
B482	CS11 - RO51X4	S 235	1,184	N341	N342	nosník (80)
B483	CS11 - RO51X4	S 235	1,184	N342	N343	nosník (80)
B484	CS10 - RO70X5	S 235	1,184	N343	N99	nosník (80)
B485	CS10 - RO70X5	S 235	1,281	N172	N344	nosník (80)
B486	CS11 - RO51X4	S 235	1,281	N344	N345	nosník (80)
B487	CS11 - RO51X4	S 235	1,281	N345	N346	nosník (80)
B488	CS11 - RO51X4	S 235	1,281	N346	N347	nosník (80)
B489	CS11 - RO51X4	S 235	1,281	N347	N348	nosník (80)
B490	CS10 - RO70X5	S 235	1,281	N348	N90	nosník (80)
B491	CS10 - RO70X5	S 235	1,240	N145	N349	nosník (80)
B492	CS11 - RO51X4	S 235	1,240	N349	N350	nosník (80)
B493	CS11 - RO51X4	S 235	1,240	N350	N351	nosník (80)
B494	CS11 - RO51X4	S 235	1,240	N351	N352	nosník (80)
B495	CS11 - RO51X4	S 235	1,240	N352	N353	nosník (80)
B496	CS10 - RO70X5	S 235	1,240	N353	N171	nosník (80)
B497	CS10 - RO70X5	S 235	1,184	N161	N354	nosník (80)
B498	CS11 - RO51X4	S 235	1,184	N354	N355	nosník (80)
B499	CS11 - RO51X4	S 235	1,184	N355	N356	nosník (80)
B500	CS11 - RO51X4	S 235	1,184	N356	N357	nosník (80)
B501	CS11 - RO51X4	S 235	1,184	N357	N358	nosník (80)
B502	CS10 - RO70X5	S 235	1,184	N358	N187	nosník (80)
B503	CS10 - RO70X5	S 235	1,184	N154	N359	nosník (80)
B504	CS11 - RO51X4	S 235	1,184	N359	N360	nosník (80)
B505	CS11 - RO51X4	S 235	1,184	N360	N361	nosník (80)
B506	CS11 - RO51X4	S 235	1,184	N361	N362	nosník (80)
B507	CS11 - RO51X4	S 235	1,184	N362	N363	nosník (80)
B508	CS10 - RO70X5	S 235	1,184	N363	N180	nosník (80)
B509	CS10 - RO70X5	S 235	1,281	N146	N364	nosník (80)
B510	CS11 - RO51X4	S 235	1,281	N364	N365	nosník (80)
B511	CS11 - RO51X4	S 235	1,281	N365	N366	nosník (80)
B512	CS11 - RO51X4	S 235	1,281	N366	N367	nosník (80)
B513	CS11 - RO51X4	S 235	1,281	N367	N368	nosník (80)
B514	CS10 - RO70X5	S 235	1,281	N368	N172	nosník (80)

### 13.3. Posudek ocelových prvků na MSÚ EC-EN 1993

Lineární výpočet

Kombinace: MSÚ-B

Souřadný systém: Hlavní

Extrém 1D: Průřez

Výběr: Pojmenovaný výběr - zt+sv

**Celkový posudek**

Jméno	dx [m]	Stav	Průřez	Materiál	UC <sub>Celkový</sub> [-]	UC <sub>Průřez</sub> [-]	UC <sub>Stabilita</sub> [-]
B343	3,000+	MSÚ-B/1	CS5 - SHS100/100/5.0	S 235	<b>0,03</b>	0,03	0,00
B350	3,486	MSÚ-B/2	CS6 - MSH90x90x4.0	S 235	<b>0,07</b>	0,04	0,07
B472	1,240	MSÚ-B/3	CS10 - RO70X5	S 235	<b>0,27</b>	0,22	0,27
B471	1,240	MSÚ-B/3	CS11 - RO51X4	S 235	<b>0,25</b>	0,25	0,00

### 13.4. Vnitřní síly na prutu

Lineární výpočet, Extrém : Dílec, Systém : Hlavní

Výběr : Pojmenovaný výběr - zt+sv

Kombinace : MSÚ-B

Dílec	css	dx [m]	Stav	N [kN]
B343	CS5 - SHS100/100/5.0	3,000	MSÚ-B/2	<b>-0,76</b>
B343	CS5 - SHS100/100/5.0	3,000	MSÚ-B/10	<b>2,42</b>
B344	CS5 - SHS100/100/5.0	3,000	MSÚ-B/2	<b>0,00</b>
B344	CS5 - SHS100/100/5.0	0,000	MSÚ-B/3	<b>0,69</b>
B345	CS6 - MSH90x90x4.0	0,000	MSÚ-B/52	<b>-3,91</b>
B345	CS6 - MSH90x90x4.0	3,486	MSÚ-B/32	<b>5,38</b>
B346	CS6 - MSH90x90x4.0	3,486	MSÚ-B/25	<b>-7,07</b>
B346	CS6 - MSH90x90x4.0	0,000	MSÚ-B/2	<b>1,24</b>
B347	CS6 - MSH90x90x4.0	3,389	MSÚ-B/25	<b>-4,99</b>
B347	CS6 - MSH90x90x4.0	0,000	MSÚ-B/2	<b>1,84</b>
B348	CS6 - MSH90x90x4.0	0,000	MSÚ-B/52	<b>-2,11</b>
B348	CS6 - MSH90x90x4.0	3,389	MSÚ-B/32	<b>6,25</b>
B349	CS6 - MSH90x90x4.0	0,000	MSÚ-B/28	<b>-7,38</b>
B349	CS6 - MSH90x90x4.0	3,486	MSÚ-B/16	<b>9,38</b>
B350	CS6 - MSH90x90x4.0	3,486	MSÚ-B/3	<b>-11,66</b>
B350	CS6 - MSH90x90x4.0	0,000	MSÚ-B/22	<b>5,46</b>
B351	CS6 - MSH90x90x4.0	3,389	MSÚ-B/3	<b>-9,65</b>
B351	CS6 - MSH90x90x4.0	0,000	MSÚ-B/22	<b>6,38</b>
B352	CS6 - MSH90x90x4.0	0,000	MSÚ-B/28	<b>-5,79</b>
B352	CS6 - MSH90x90x4.0	3,389	MSÚ-B/16	<b>10,26</b>
B353	CS10 - RO70X5	0,000	MSÚ-B/18	<b>-6,39</b>
B353	CS10 - RO70X5	1,281	MSÚ-B/4	<b>2,62</b>
B354	CS11 - RO51X4	1,281	MSÚ-B/7	<b>-1,01</b>
B354	CS11 - RO51X4	0,000	MSÚ-B/3	<b>2,96</b>
B355	CS11 - RO51X4	0,000	MSÚ-B/3	<b>-2,00</b>
B355	CS11 - RO51X4	1,281	MSÚ-B/7	<b>1,84</b>
B356	CS11 - RO51X4	1,281	MSÚ-B/25	<b>-1,31</b>
B356	CS11 - RO51X4	0,000	MSÚ-B/2	<b>0,46</b>
B357	CS11 - RO51X4	0,000	MSÚ-B/2	<b>0,35</b>
B357	CS11 - RO51X4	1,281	MSÚ-B/25	<b>2,26</b>
B358	CS10 - RO70X5	1,281	MSÚ-B/23	<b>-5,58</b>
B358	CS10 - RO70X5	0,000	MSÚ-B/4	<b>0,84</b>
B359	CS10 - RO70X5	0,000	MSÚ-B/18	<b>-4,43</b>
B359	CS10 - RO70X5	1,281	MSÚ-B/4	<b>2,67</b>
B360	CS11 - RO51X4	1,281	MSÚ-B/4	<b>-1,14</b>
B360	CS11 - RO51X4	0,000	MSÚ-B/3	<b>0,95</b>
B361	CS11 - RO51X4	0,000	MSÚ-B/52	<b>-0,08</b>
B361	CS11 - RO51X4	1,281	MSÚ-B/20	<b>2,02</b>
B362	CS11 - RO51X4	1,281	MSÚ-B/19	<b>-2,49</b>
B362	CS11 - RO51X4	0,000	MSÚ-B/7	<b>0,24</b>
B363	CS11 - RO51X4	0,000	MSÚ-B/7	<b>0,61</b>
B363	CS11 - RO51X4	1,281	MSÚ-B/8	<b>3,54</b>
B364	CS10 - RO70X5	1,281	MSÚ-B/23	<b>-6,87</b>
B364	CS10 - RO70X5	0,000	MSÚ-B/4	<b>0,92</b>
B371	CS10 - RO70X5	0,000	MSÚ-B/8	<b>-51,24</b>
B371	CS10 - RO70X5	1,240	MSÚ-B/7	<b>-9,70</b>
B372	CS11 - RO51X4	1,240	MSÚ-B/7	<b>14,98</b>
B372	CS11 - RO51X4	0,000	MSÚ-B/8	<b>34,71</b>
B374	CS11 - RO51X4	1,240	MSÚ-B/49	<b>4,95</b>
B374	CS11 - RO51X4	0,000	MSÚ-B/20	<b>24,22</b>
B376	CS10 - RO70X5	1,240	MSÚ-B/49	<b>-11,18</b>
B376	CS10 - RO70X5	0,000	MSÚ-B/20	<b>33,79</b>
B377	CS10 - RO70X5	0,000	MSÚ-B/8	<b>-24,80</b>
B377	CS10 - RO70X5	1,184	MSÚ-B/7	<b>-10,69</b>
B378	CS11 - RO51X4	1,184	MSÚ-B/7	<b>9,19</b>
B378	CS11 - RO51X4	0,000	MSÚ-B/8	<b>14,64</b>
B379	CS11 - RO51X4	0,000	MSÚ-B/8	<b>-12,99</b>
B379	CS11 - RO51X4	1,184	MSÚ-B/7	<b>-7,89</b>
B380	CS11 - RO51X4	1,184	MSÚ-B/49	<b>-3,97</b>
B380	CS11 - RO51X4	0,000	MSÚ-B/20	<b>7,01</b>
B381	CS11 - RO51X4	0,000	MSÚ-B/20	<b>-5,91</b>
B381	CS11 - RO51X4	1,184	MSÚ-B/49	<b>5,01</b>
B382	CS10 - RO70X5	1,184	MSÚ-B/23	<b>-14,23</b>
B382	CS10 - RO70X5	0,000	MSÚ-B/4	<b>6,86</b>

Dílec	css	dx [m]	Stav	N [kN]
B383	CS10 - RO70X5	0,000	MSÚ-B/10	<b>-11,25</b>
B383	CS10 - RO70X5	1,184	MSÚ-B/15	<b>-0,41</b>
B384	CS11 - RO51X4	1,184	MSÚ-B/15	<b>1,09</b>
B384	CS11 - RO51X4	0,000	MSÚ-B/10	<b>6,45</b>
B385	CS11 - RO51X4	0,000	MSÚ-B/10	<b>-5,11</b>
B385	CS11 - RO51X4	1,184	MSÚ-B/15	<b>0,06</b>
B386	CS11 - RO51X4	1,184	MSÚ-B/23	<b>-3,65</b>
B386	CS11 - RO51X4	0,000	MSÚ-B/4	<b>1,73</b>
B387	CS11 - RO51X4	0,000	MSÚ-B/4	<b>-0,66</b>
B387	CS11 - RO51X4	1,184	MSÚ-B/23	<b>4,96</b>
B388	CS10 - RO70X5	1,184	MSÚ-B/23	<b>-10,55</b>
B388	CS10 - RO70X5	0,000	MSÚ-B/12	<b>0,56</b>
B389	CS10 - RO70X5	0,000	MSÚ-B/18	<b>-16,10</b>
B389	CS10 - RO70X5	1,281	MSÚ-B/12	<b>5,48</b>
B390	CS11 - RO51X4	1,281	MSÚ-B/15	<b>-1,62</b>
B390	CS11 - RO51X4	0,000	MSÚ-B/18	<b>6,60</b>
B391	CS11 - RO51X4	0,000	MSÚ-B/18	<b>-5,65</b>
B391	CS11 - RO51X4	1,281	MSÚ-B/15	<b>2,45</b>
B392	CS11 - RO51X4	1,281	MSÚ-B/27	<b>-5,50</b>
B392	CS11 - RO51X4	0,000	MSÚ-B/12	<b>2,42</b>
B393	CS11 - RO51X4	0,000	MSÚ-B/12	<b>-1,59</b>
B393	CS11 - RO51X4	1,281	MSÚ-B/27	<b>6,45</b>
B394	CS10 - RO70X5	1,281	MSÚ-B/23	<b>-15,95</b>
B394	CS10 - RO70X5	0,000	MSÚ-B/12	<b>5,60</b>
B395	CS10 - RO70X5	0,000	MSÚ-B/49	<b>-18,67</b>
B395	CS10 - RO70X5	1,240	MSÚ-B/20	<b>24,89</b>
B396	CS11 - RO51X4	1,240	MSÚ-B/20	<b>-15,38</b>
B396	CS11 - RO51X4	0,000	MSÚ-B/49	<b>2,31</b>
B397	CS11 - RO51X4	0,000	MSÚ-B/49	<b>-1,83</b>
B397	CS11 - RO51X4	1,240	MSÚ-B/20	<b>15,96</b>
B398	CS11 - RO51X4	1,240	MSÚ-B/8	<b>-20,80</b>
B398	CS11 - RO51X4	0,000	MSÚ-B/7	<b>-6,85</b>
B399	CS11 - RO51X4	0,000	MSÚ-B/7	<b>7,77</b>
B399	CS11 - RO51X4	1,240	MSÚ-B/8	<b>21,96</b>
B400	CS10 - RO70X5	1,240	MSÚ-B/18	<b>-32,69</b>
B400	CS10 - RO70X5	0,000	MSÚ-B/7	<b>-0,22</b>
B401	CS10 - RO70X5	0,000	MSÚ-B/23	<b>-15,75</b>
B401	CS10 - RO70X5	1,184	MSÚ-B/7	<b>3,20</b>
B402	CS11 - RO51X4	1,184	MSÚ-B/4	<b>-2,39</b>
B402	CS11 - RO51X4	0,000	MSÚ-B/23	<b>6,54</b>
B403	CS11 - RO51X4	0,000	MSÚ-B/49	<b>-5,34</b>
B403	CS11 - RO51X4	1,184	MSÚ-B/20	<b>3,41</b>
B404	CS11 - RO51X4	1,184	MSÚ-B/31	<b>-9,24</b>
B404	CS11 - RO51X4	0,000	MSÚ-B/7	<b>-4,39</b>
B405	CS11 - RO51X4	0,000	MSÚ-B/7	<b>5,59</b>
B405	CS11 - RO51X4	1,184	MSÚ-B/31	<b>10,82</b>
B406	CS10 - RO70X5	1,184	MSÚ-B/18	<b>-14,86</b>
B406	CS10 - RO70X5	0,000	MSÚ-B/7	<b>-4,07</b>
B407	CS10 - RO70X5	0,000	MSÚ-B/23	<b>-10,68</b>
B407	CS10 - RO70X5	1,184	MSÚ-B/15	<b>1,80</b>
B408	CS11 - RO51X4	1,184	MSÚ-B/2	<b>-1,71</b>
B408	CS11 - RO51X4	0,000	MSÚ-B/23	<b>5,08</b>
B409	CS11 - RO51X4	0,000	MSÚ-B/23	<b>-3,77</b>
B409	CS11 - RO51X4	1,184	MSÚ-B/2	<b>2,74</b>
B410	CS11 - RO51X4	1,184	MSÚ-B/3	<b>-5,92</b>
B410	CS11 - RO51X4	0,000	MSÚ-B/12	<b>-1,36</b>
B411	CS11 - RO51X4	0,000	MSÚ-B/12	<b>2,54</b>
B411	CS11 - RO51X4	1,184	MSÚ-B/3	<b>7,30</b>
B412	CS10 - RO70X5	1,184	MSÚ-B/3	<b>-10,34</b>
B412	CS10 - RO70X5	0,000	MSÚ-B/12	<b>-2,13</b>
B413	CS10 - RO70X5	0,000	MSÚ-B/27	<b>-18,00</b>
B413	CS10 - RO70X5	1,281	MSÚ-B/12	<b>5,06</b>
B414	CS11 - RO51X4	1,281	MSÚ-B/12	<b>-1,08</b>
B414	CS11 - RO51X4	0,000	MSÚ-B/27	<b>8,50</b>

Dílec	css	dx [m]	Stav	N [kN]
B415	CS11 - RO51X4	0,000	MSÚ-B/27	<b>-7,55</b>
B415	CS11 - RO51X4	1,281	MSÚ-B/12	<b>1,93</b>
B416	CS11 - RO51X4	1,281	MSÚ-B/23	<b>-3,04</b>
B416	CS11 - RO51X4	0,000	MSÚ-B/15	<b>2,92</b>
B417	CS11 - RO51X4	0,000	MSÚ-B/15	<b>-2,09</b>
B417	CS11 - RO51X4	1,281	MSÚ-B/23	<b>3,94</b>
B418	CS10 - RO70X5	1,281	MSÚ-B/23	<b>-11,51</b>
B418	CS10 - RO70X5	0,000	MSÚ-B/15	<b>5,36</b>
B419	CS10 - RO70X5	0,000	MSÚ-B/18	<b>-20,82</b>
B419	CS10 - RO70X5	1,240	MSÚ-B/4	<b>4,15</b>
B420	CS11 - RO51X4	1,240	MSÚ-B/4	<b>-2,89</b>
B420	CS11 - RO51X4	0,000	MSÚ-B/18	<b>7,45</b>
B421	CS11 - RO51X4	0,000	MSÚ-B/18	<b>-6,50</b>
B421	CS11 - RO51X4	1,240	MSÚ-B/4	<b>3,75</b>
B422	CS11 - RO51X4	1,240	MSÚ-B/19	<b>-14,44</b>
B422	CS11 - RO51X4	0,000	MSÚ-B/7	<b>-1,49</b>
B423	CS11 - RO51X4	0,000	MSÚ-B/7	<b>2,47</b>
B423	CS11 - RO51X4	1,240	MSÚ-B/19	<b>15,60</b>
B424	CS10 - RO70X5	1,240	MSÚ-B/19	<b>-28,78</b>
B424	CS10 - RO70X5	0,000	MSÚ-B/7	<b>-1,26</b>
B425	CS10 - RO70X5	0,000	MSÚ-B/19	<b>-11,30</b>
B425	CS10 - RO70X5	1,184	MSÚ-B/4	<b>-1,50</b>
B426	CS11 - RO51X4	1,184	MSÚ-B/4	<b>1,60</b>
B426	CS11 - RO51X4	0,000	MSÚ-B/31	<b>5,35</b>
B427	CS11 - RO51X4	0,000	MSÚ-B/18	<b>-3,97</b>
B427	CS11 - RO51X4	1,184	MSÚ-B/4	<b>-0,38</b>
B428	CS11 - RO51X4	1,184	MSÚ-B/23	<b>-2,96</b>
B428	CS11 - RO51X4	0,000	MSÚ-B/7	<b>1,12</b>
B429	CS11 - RO51X4	0,000	MSÚ-B/7	<b>0,07</b>
B429	CS11 - RO51X4	1,184	MSÚ-B/23	<b>4,30</b>
B430	CS10 - RO70X5	1,184	MSÚ-B/23	<b>-9,99</b>
B430	CS10 - RO70X5	0,000	MSÚ-B/7	<b>0,27</b>
B431	CS10 - RO70X5	0,000	MSÚ-B/27	<b>-12,95</b>
B431	CS10 - RO70X5	1,184	MSÚ-B/12	<b>-3,26</b>
B432	CS11 - RO51X4	1,184	MSÚ-B/12	<b>3,47</b>
B432	CS11 - RO51X4	0,000	MSÚ-B/31	<b>7,31</b>
B433	CS11 - RO51X4	0,000	MSÚ-B/31	<b>-5,69</b>
B433	CS11 - RO51X4	1,184	MSÚ-B/12	<b>-2,22</b>
B434	CS11 - RO51X4	1,184	MSÚ-B/49	<b>-1,45</b>
B434	CS11 - RO51X4	0,000	MSÚ-B/43	<b>3,07</b>
B435	CS11 - RO51X4	0,000	MSÚ-B/15	<b>-1,83</b>
B435	CS11 - RO51X4	1,184	MSÚ-B/23	<b>2,60</b>
B436	CS10 - RO70X5	1,184	MSÚ-B/23	<b>-8,02</b>
B436	CS10 - RO70X5	0,000	MSÚ-B/15	<b>2,63</b>
B437	CS10 - RO70X5	0,000	MSÚ-B/18	<b>-16,48</b>
B437	CS10 - RO70X5	1,281	MSÚ-B/12	<b>5,71</b>
B438	CS11 - RO51X4	1,281	MSÚ-B/15	<b>-1,77</b>
B438	CS11 - RO51X4	0,000	MSÚ-B/18	<b>6,85</b>
B439	CS11 - RO51X4	0,000	MSÚ-B/18	<b>-5,91</b>
B439	CS11 - RO51X4	1,281	MSÚ-B/15	<b>2,61</b>
B440	CS11 - RO51X4	1,281	MSÚ-B/23	<b>-5,47</b>
B440	CS11 - RO51X4	0,000	MSÚ-B/15	<b>2,31</b>
B441	CS11 - RO51X4	0,000	MSÚ-B/15	<b>-1,47</b>
B441	CS11 - RO51X4	1,281	MSÚ-B/23	<b>6,41</b>
B442	CS10 - RO70X5	1,281	MSÚ-B/23	<b>-15,75</b>
B442	CS10 - RO70X5	0,000	MSÚ-B/12	<b>5,27</b>
B443	CS10 - RO70X5	0,000	MSÚ-B/19	<b>-28,88</b>
B443	CS10 - RO70X5	1,240	MSÚ-B/7	<b>-1,54</b>
B444	CS11 - RO51X4	1,240	MSÚ-B/7	<b>2,72</b>
B444	CS11 - RO51X4	0,000	MSÚ-B/19	<b>15,52</b>
B445	CS11 - RO51X4	0,000	MSÚ-B/19	<b>-14,37</b>
B445	CS11 - RO51X4	1,240	MSÚ-B/7	<b>-1,74</b>
B446	CS11 - RO51X4	1,240	MSÚ-B/23	<b>-6,46</b>
B446	CS11 - RO51X4	0,000	MSÚ-B/4	<b>3,92</b>

Dílec	css	dx [m]	Stav	N [kN]
B447	CS11 - RO51X4	0,000	MSÚ-B/4	<b>-3,07</b>
B447	CS11 - RO51X4	1,240	MSÚ-B/23	<b>7,42</b>
B448	CS10 - RO70X5	1,240	MSÚ-B/23	<b>-20,85</b>
B448	CS10 - RO70X5	0,000	MSÚ-B/4	<b>4,33</b>
B449	CS10 - RO70X5	0,000	MSÚ-B/19	<b>-10,15</b>
B449	CS10 - RO70X5	1,184	MSÚ-B/7	<b>-0,65</b>
B450	CS11 - RO51X4	1,184	MSÚ-B/7	<b>0,85</b>
B450	CS11 - RO51X4	0,000	MSÚ-B/19	<b>4,39</b>
B451	CS11 - RO51X4	0,000	MSÚ-B/19	<b>-3,04</b>
B451	CS11 - RO51X4	1,184	MSÚ-B/7	<b>0,35</b>
B452	CS11 - RO51X4	1,184	MSÚ-B/23	<b>-3,92</b>
B452	CS11 - RO51X4	0,000	MSÚ-B/4	<b>0,39</b>
B453	CS11 - RO51X4	0,000	MSÚ-B/4	<b>0,81</b>
B453	CS11 - RO51X4	1,184	MSÚ-B/23	<b>5,25</b>
B454	CS10 - RO70X5	1,184	MSÚ-B/23	<b>-11,13</b>
B454	CS10 - RO70X5	0,000	MSÚ-B/7	<b>-0,67</b>
B455	CS10 - RO70X5	0,000	MSÚ-B/27	<b>-7,88</b>
B455	CS10 - RO70X5	1,184	MSÚ-B/15	<b>1,78</b>
B456	CS11 - RO51X4	1,184	MSÚ-B/15	<b>-1,10</b>
B456	CS11 - RO51X4	0,000	MSÚ-B/27	<b>2,38</b>
B457	CS11 - RO51X4	0,000	MSÚ-B/53	<b>-1,20</b>
B457	CS11 - RO51X4	1,184	MSÚ-B/43	<b>2,32</b>
B458	CS11 - RO51X4	1,184	MSÚ-B/23	<b>-5,98</b>
B458	CS11 - RO51X4	0,000	MSÚ-B/12	<b>-1,50</b>
B459	CS11 - RO51X4	0,000	MSÚ-B/12	<b>2,73</b>
B459	CS11 - RO51X4	1,184	MSÚ-B/6	<b>7,42</b>
B460	CS10 - RO70X5	1,184	MSÚ-B/23	<b>-13,20</b>
B460	CS10 - RO70X5	0,000	MSÚ-B/12	<b>-2,48</b>
B461	CS10 - RO70X5	0,000	MSÚ-B/18	<b>-16,12</b>
B461	CS10 - RO70X5	1,281	MSÚ-B/12	<b>5,67</b>
B462	CS11 - RO51X4	1,281	MSÚ-B/15	<b>-1,84</b>
B462	CS11 - RO51X4	0,000	MSÚ-B/18	<b>6,83</b>
B463	CS11 - RO51X4	0,000	MSÚ-B/18	<b>-5,88</b>
B463	CS11 - RO51X4	1,281	MSÚ-B/15	<b>2,67</b>
B464	CS11 - RO51X4	1,281	MSÚ-B/23	<b>-5,38</b>
B464	CS11 - RO51X4	0,000	MSÚ-B/15	<b>2,24</b>
B465	CS11 - RO51X4	0,000	MSÚ-B/15	<b>-1,40</b>
B465	CS11 - RO51X4	1,281	MSÚ-B/23	<b>6,32</b>
B466	CS10 - RO70X5	1,281	MSÚ-B/23	<b>-15,92</b>
B466	CS10 - RO70X5	0,000	MSÚ-B/12	<b>5,31</b>
B467	CS10 - RO70X5	0,000	MSÚ-B/50	<b>-10,78</b>
B467	CS10 - RO70X5	1,240	MSÚ-B/20	<b>34,31</b>
B468	CS11 - RO51X4	1,240	MSÚ-B/20	<b>-24,26</b>
B468	CS11 - RO51X4	0,000	MSÚ-B/50	<b>-4,88</b>
B469	CS11 - RO51X4	0,000	MSÚ-B/50	<b>5,29</b>
B469	CS11 - RO51X4	1,240	MSÚ-B/20	<b>24,73</b>
B471	CS11 - RO51X4	0,000	MSÚ-B/7	<b>15,44</b>
B471	CS11 - RO51X4	1,240	MSÚ-B/8	<b>35,03</b>
B472	CS10 - RO70X5	1,240	MSÚ-B/8	<b>-51,58</b>
B472	CS10 - RO70X5	0,000	MSÚ-B/7	<b>-10,22</b>
B473	CS10 - RO70X5	0,000	MSÚ-B/23	<b>-15,34</b>
B473	CS10 - RO70X5	1,184	MSÚ-B/4	<b>4,98</b>
B474	CS11 - RO51X4	1,184	MSÚ-B/20	<b>-4,48</b>
B474	CS11 - RO51X4	0,000	MSÚ-B/49	<b>5,75</b>
B475	CS11 - RO51X4	0,000	MSÚ-B/49	<b>-4,71</b>
B475	CS11 - RO51X4	1,184	MSÚ-B/20	<b>5,62</b>
B476	CS11 - RO51X4	1,184	MSÚ-B/8	<b>-12,17</b>
B476	CS11 - RO51X4	0,000	MSÚ-B/7	<b>-6,63</b>
B477	CS11 - RO51X4	0,000	MSÚ-B/7	<b>7,91</b>
B477	CS11 - RO51X4	1,184	MSÚ-B/8	<b>13,81</b>
B478	CS10 - RO70X5	1,184	MSÚ-B/8	<b>-24,04</b>
B478	CS10 - RO70X5	0,000	MSÚ-B/7	<b>-9,51</b>
B479	CS10 - RO70X5	0,000	MSÚ-B/23	<b>-11,79</b>
B479	CS10 - RO70X5	1,184	MSÚ-B/12	<b>-1,34</b>



Dílec	css	dx [m]	Stav	N [kN]
B480	CS11 - RO51X4	1,184	MSÚ-B/4	<b>0,87</b>
B480	CS11 - RO51X4	0,000	MSÚ-B/25	<b>6,28</b>
B481	CS11 - RO51X4	0,000	MSÚ-B/25	<b>-4,95</b>
B481	CS11 - RO51X4	1,184	MSÚ-B/4	<b>0,25</b>
B482	CS11 - RO51X4	1,184	MSÚ-B/10	<b>-3,89</b>
B482	CS11 - RO51X4	0,000	MSÚ-B/15	<b>1,59</b>
B483	CS11 - RO51X4	0,000	MSÚ-B/15	<b>-0,45</b>
B483	CS11 - RO51X4	1,184	MSÚ-B/10	<b>5,22</b>
B484	CS10 - RO70X5	1,184	MSÚ-B/27	<b>-10,78</b>
B484	CS10 - RO70X5	0,000	MSÚ-B/15	<b>1,12</b>
B485	CS10 - RO70X5	0,000	MSÚ-B/18	<b>-16,01</b>
B485	CS10 - RO70X5	1,281	MSÚ-B/12	<b>5,88</b>
B486	CS11 - RO51X4	1,281	MSÚ-B/12	<b>-1,89</b>
B486	CS11 - RO51X4	0,000	MSÚ-B/18	<b>6,51</b>
B487	CS11 - RO51X4	0,000	MSÚ-B/18	<b>-5,56</b>
B487	CS11 - RO51X4	1,281	MSÚ-B/12	<b>2,72</b>
B488	CS11 - RO51X4	1,281	MSÚ-B/23	<b>-5,56</b>
B488	CS11 - RO51X4	0,000	MSÚ-B/15	<b>2,17</b>
B489	CS11 - RO51X4	0,000	MSÚ-B/15	<b>-1,33</b>
B489	CS11 - RO51X4	1,281	MSÚ-B/23	<b>6,50</b>
B490	CS10 - RO70X5	1,281	MSÚ-B/23	<b>-15,91</b>
B490	CS10 - RO70X5	0,000	MSÚ-B/15	<b>5,15</b>
B491	CS10 - RO70X5	0,000	MSÚ-B/19	<b>-32,82</b>
B491	CS10 - RO70X5	1,240	MSÚ-B/7	<b>-0,86</b>
B492	CS11 - RO51X4	1,240	MSÚ-B/7	<b>7,92</b>
B492	CS11 - RO51X4	0,000	MSÚ-B/8	<b>21,92</b>
B494	CS11 - RO51X4	1,240	MSÚ-B/50	<b>-1,77</b>
B494	CS11 - RO51X4	0,000	MSÚ-B/20	<b>16,03</b>
B495	CS11 - RO51X4	0,000	MSÚ-B/20	<b>-15,44</b>
B495	CS11 - RO51X4	1,240	MSÚ-B/50	<b>2,25</b>
B496	CS10 - RO70X5	1,240	MSÚ-B/50	<b>-18,56</b>
B496	CS10 - RO70X5	0,000	MSÚ-B/20	<b>24,93</b>
B497	CS10 - RO70X5	0,000	MSÚ-B/19	<b>-14,84</b>
B497	CS10 - RO70X5	1,184	MSÚ-B/38	<b>-2,43</b>
B498	CS11 - RO51X4	1,184	MSÚ-B/38	<b>3,90</b>
B498	CS11 - RO51X4	0,000	MSÚ-B/31	<b>9,94</b>
B499	CS11 - RO51X4	0,000	MSÚ-B/31	<b>-8,38</b>
B499	CS11 - RO51X4	1,184	MSÚ-B/38	<b>-2,69</b>
B500	CS11 - RO51X4	1,184	MSÚ-B/19	<b>-4,91</b>
B500	CS11 - RO51X4	0,000	MSÚ-B/22	<b>4,01</b>
B501	CS11 - RO51X4	0,000	MSÚ-B/22	<b>-2,97</b>
B501	CS11 - RO51X4	1,184	MSÚ-B/19	<b>6,12</b>
B502	CS10 - RO70X5	1,184	MSÚ-B/19	<b>-15,64</b>
B502	CS10 - RO70X5	0,000	MSÚ-B/22	<b>4,42</b>
B503	CS10 - RO70X5	0,000	MSÚ-B/18	<b>-7,08</b>
B503	CS10 - RO70X5	1,184	MSÚ-B/12	<b>-0,12</b>
B504	CS11 - RO51X4	1,184	MSÚ-B/12	<b>0,43</b>
B504	CS11 - RO51X4	0,000	MSÚ-B/18	<b>3,70</b>
B505	CS11 - RO51X4	0,000	MSÚ-B/18	<b>-2,40</b>
B505	CS11 - RO51X4	1,184	MSÚ-B/12	<b>0,73</b>
B506	CS11 - RO51X4	1,184	MSÚ-B/27	<b>-4,52</b>
B506	CS11 - RO51X4	0,000	MSÚ-B/38	<b>0,76</b>
B507	CS11 - RO51X4	0,000	MSÚ-B/38	<b>0,40</b>
B507	CS11 - RO51X4	1,184	MSÚ-B/27	<b>5,83</b>
B508	CS10 - RO70X5	1,184	MSÚ-B/27	<b>-11,47</b>
B508	CS10 - RO70X5	0,000	MSÚ-B/38	<b>0,09</b>
B509	CS10 - RO70X5	0,000	MSÚ-B/18	<b>-12,26</b>
B509	CS10 - RO70X5	1,281	MSÚ-B/12	<b>4,95</b>
B510	CS11 - RO51X4	1,281	MSÚ-B/15	<b>-1,87</b>
B510	CS11 - RO51X4	0,000	MSÚ-B/18	<b>4,65</b>
B511	CS11 - RO51X4	0,000	MSÚ-B/18	<b>-3,74</b>
B511	CS11 - RO51X4	1,281	MSÚ-B/15	<b>2,70</b>
B512	CS11 - RO51X4	1,281	MSÚ-B/27	<b>-6,94</b>
B512	CS11 - RO51X4	0,000	MSÚ-B/15	<b>2,17</b>

Dílec	css	dx [m]	Stav	N [kN]
B513	CS11 - RO51X4	0,000	MSÚ-B/15	<b>-1,32</b>
B513	CS11 - RO51X4	1,281	MSÚ-B/27	<b>7,89</b>
B514	CS10 - RO70X5	1,281	MSÚ-B/27	<b>-17,36</b>
B514	CS10 - RO70X5	0,000	MSÚ-B/12	<b>5,29</b>

### 13.5. Požární odolnost ocelových prvků EC-EN 1993 - 15 minut

Lineární výpočet

Kombinace: POŽÁR

Souřadný systém: Hlavní

Extrém 1D: Průřez

Výběr: Pojmenovaný výběr - zt+sv

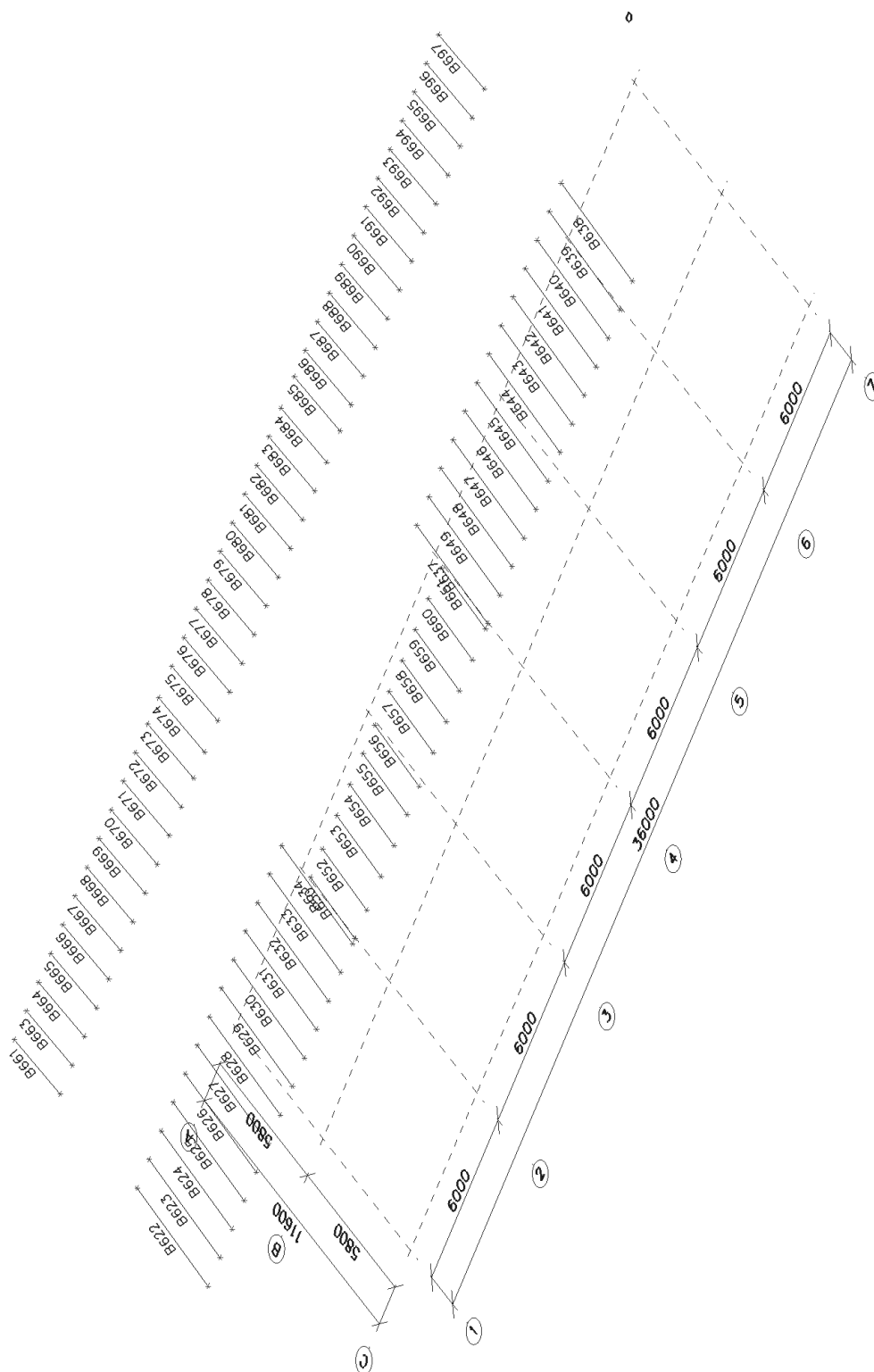
**Celkový posudek**

Jméno	dx [m]	Stav	Průřez	Materiál	UC <sub>Celkový</sub> [-]	UC <sub>Teplota</sub> [-]	UC <sub>Průřez</sub> [-]	UC <sub>Stabilita</sub> [-]	Kritická tepl. [°C]
B344	3,000-	POŽÁR/1	CS5 - SHS100/100/5.0	S 235	<b>0,60</b>	0,60	0,99	0,00	1151,60
B350	1,743+	POŽÁR/2	CS6 - MSH90x90x4.0	S 235	<b>0,73</b>	0,73	0,28	0,99	961,46
B472	0,000	POŽÁR/3	CS10 - RO70X5	S 235	<b>1,01</b>	1,01	0,56	1,00	695,27
B468	0,413	POŽÁR/1	CS11 - RO51X4	S 235	<b>1,01</b>	1,01	0,48	1,00	705,64

Jméno	Klíč kombinace
POŽÁR/1	vl.tíha + 0.20*VPR1 + užitné + stálé
POŽÁR/2	vl.tíha + užitné + stálé + 0.20*VPO2
POŽÁR/3	vl.tíha + 0.20*sníhC + užitné + stálé

## 14. Krokve

### 14.1. Popis prutů





## 14.2. Prvky

Jméno	Průřez	Materiál	Délka [m]	Poč. uzel	Konc. uzel	Typ
B622	CS20 - OBDEL (120; 200)	GL24h	5,100	N475	N476	nosník (80)
B623	CS20 - OBDEL (120; 200)	GL24h	5,100	N477	N478	nosník (80)
B624	CS20 - OBDEL (120; 200)	GL24h	5,100	N479	N480	nosník (80)
B625	CS20 - OBDEL (120; 200)	GL24h	5,100	N481	N482	nosník (80)
B626	CS20 - OBDEL (120; 200)	GL24h	5,100	N483	N484	nosník (80)
B627	CS20 - OBDEL (120; 200)	GL24h	5,100	N485	N486	nosník (80)
B628	CS20 - OBDEL (120; 200)	GL24h	5,100	N487	N488	nosník (80)
B629	CS20 - OBDEL (120; 200)	GL24h	5,100	N489	N490	nosník (80)
B630	CS20 - OBDEL (120; 200)	GL24h	5,100	N491	N492	nosník (80)
B631	CS20 - OBDEL (120; 200)	GL24h	5,100	N493	N494	nosník (80)
B632	CS20 - OBDEL (120; 200)	GL24h	5,100	N495	N496	nosník (80)
B633	CS20 - OBDEL (120; 200)	GL24h	5,100	N497	N498	nosník (80)
B634	CS20 - OBDEL (120; 200)	GL24h	5,100	N499	N500	nosník (80)
B637	CS20 - OBDEL (120; 200)	GL24h	5,100	N525	N526	nosník (80)
B638	CS20 - OBDEL (120; 200)	GL24h	5,100	N501	N513	nosník (80)
B639	CS20 - OBDEL (120; 200)	GL24h	5,100	N502	N514	nosník (80)
B640	CS20 - OBDEL (120; 200)	GL24h	5,100	N503	N515	nosník (80)
B641	CS20 - OBDEL (120; 200)	GL24h	5,100	N504	N516	nosník (80)
B642	CS20 - OBDEL (120; 200)	GL24h	5,100	N505	N517	nosník (80)
B643	CS20 - OBDEL (120; 200)	GL24h	5,100	N506	N518	nosník (80)
B644	CS20 - OBDEL (120; 200)	GL24h	5,100	N507	N519	nosník (80)
B645	CS20 - OBDEL (120; 200)	GL24h	5,100	N508	N520	nosník (80)
B646	CS20 - OBDEL (120; 200)	GL24h	5,100	N509	N521	nosník (80)
B647	CS20 - OBDEL (120; 200)	GL24h	5,100	N510	N522	nosník (80)
B648	CS20 - OBDEL (120; 200)	GL24h	5,100	N511	N523	nosník (80)
B649	CS20 - OBDEL (120; 200)	GL24h	5,100	N512	N524	nosník (80)
B650	CS20 - OBDEL (120; 200)	GL24h	3,178	N527	N531	nosník (80)
B651	CS20 - OBDEL (120; 200)	GL24h	3,178	N529	N532	nosník (80)
B652	CS20 - OBDEL (120; 200)	GL24h	3,178	N533	N534	nosník (80)
B653	CS20 - OBDEL (120; 200)	GL24h	3,178	N535	N536	nosník (80)
B654	CS20 - OBDEL (120; 200)	GL24h	3,178	N537	N538	nosník (80)
B655	CS20 - OBDEL (120; 200)	GL24h	3,178	N539	N540	nosník (80)
B656	CS20 - OBDEL (120; 200)	GL24h	3,178	N541	N550	nosník (80)
B657	CS20 - OBDEL (120; 200)	GL24h	3,178	N542	N543	nosník (80)
B658	CS20 - OBDEL (120; 200)	GL24h	3,178	N544	N545	nosník (80)
B659	CS20 - OBDEL (120; 200)	GL24h	3,178	N546	N547	nosník (80)
B660	CS20 - OBDEL (120; 200)	GL24h	3,178	N548	N549	nosník (80)
B661	CS20 - OBDEL (120; 200)	GL24h	2,822	N552	N551	nosník (80)
B663	CS20 - OBDEL (120; 200)	GL24h	2,822	N555	N556	nosník (80)
B664	CS20 - OBDEL (120; 200)	GL24h	2,822	N557	N558	nosník (80)
B665	CS20 - OBDEL (120; 200)	GL24h	2,822	N559	N560	nosník (80)
B666	CS20 - OBDEL (120; 200)	GL24h	2,822	N561	N562	nosník (80)
B667	CS20 - OBDEL (120; 200)	GL24h	2,822	N563	N564	nosník (80)
B668	CS20 - OBDEL (120; 200)	GL24h	2,822	N565	N566	nosník (80)
B669	CS20 - OBDEL (120; 200)	GL24h	2,822	N567	N568	nosník (80)
B670	CS20 - OBDEL (120; 200)	GL24h	2,822	N569	N570	nosník (80)
B671	CS20 - OBDEL (120; 200)	GL24h	2,822	N571	N572	nosník (80)
B672	CS20 - OBDEL (120; 200)	GL24h	2,822	N573	N574	nosník (80)
B673	CS20 - OBDEL (120; 200)	GL24h	2,822	N575	N576	nosník (80)
B674	CS20 - OBDEL (120; 200)	GL24h	2,822	N577	N578	nosník (80)
B675	CS20 - OBDEL (120; 200)	GL24h	2,822	N579	N580	nosník (80)
B676	CS20 - OBDEL (120; 200)	GL24h	2,822	N581	N582	nosník (80)
B677	CS20 - OBDEL (120; 200)	GL24h	2,822	N583	N584	nosník (80)
B678	CS20 - OBDEL (120; 200)	GL24h	2,822	N585	N586	nosník (80)
B679	CS20 - OBDEL (120; 200)	GL24h	2,822	N587	N588	nosník (80)
B680	CS20 - OBDEL (120; 200)	GL24h	2,822	N589	N590	nosník (80)
B681	CS20 - OBDEL (120; 200)	GL24h	2,822	N591	N592	nosník (80)
B682	CS20 - OBDEL (120; 200)	GL24h	2,822	N593	N594	nosník (80)
B683	CS20 - OBDEL (120; 200)	GL24h	2,822	N595	N596	nosník (80)
B684	CS20 - OBDEL (120; 200)	GL24h	2,822	N597	N598	nosník (80)
B685	CS20 - OBDEL (120; 200)	GL24h	2,822	N599	N600	nosník (80)
B686	CS20 - OBDEL (120; 200)	GL24h	2,822	N601	N602	nosník (80)
B687	CS20 - OBDEL (120; 200)	GL24h	2,822	N603	N604	nosník (80)

Jméno	Průřez	Materiál	Délka [m]	Poč. uzel	Konc. uzel	Typ
B688	CS20 - OBDEL (120; 200)	GL24h	2,822	N605	N606	nosník (80)
B689	CS20 - OBDEL (120; 200)	GL24h	2,822	N607	N608	nosník (80)
B690	CS20 - OBDEL (120; 200)	GL24h	2,822	N609	N610	nosník (80)
B691	CS20 - OBDEL (120; 200)	GL24h	2,822	N611	N612	nosník (80)
B692	CS20 - OBDEL (120; 200)	GL24h	2,822	N613	N614	nosník (80)
B693	CS20 - OBDEL (120; 200)	GL24h	2,822	N615	N616	nosník (80)
B694	CS20 - OBDEL (120; 200)	GL24h	2,822	N617	N618	nosník (80)
B695	CS20 - OBDEL (120; 200)	GL24h	2,822	N619	N620	nosník (80)
B696	CS20 - OBDEL (120; 200)	GL24h	2,822	N621	N622	nosník (80)
B697	CS20 - OBDEL (120; 200)	GL24h	2,822	N554	N553	nosník (80)

### 14.3. Posudek dřeva podle MSÚ

Lineární výpočet, Extrém : Dílec

Výběr : Vše

Kombinace : MSÚ-B

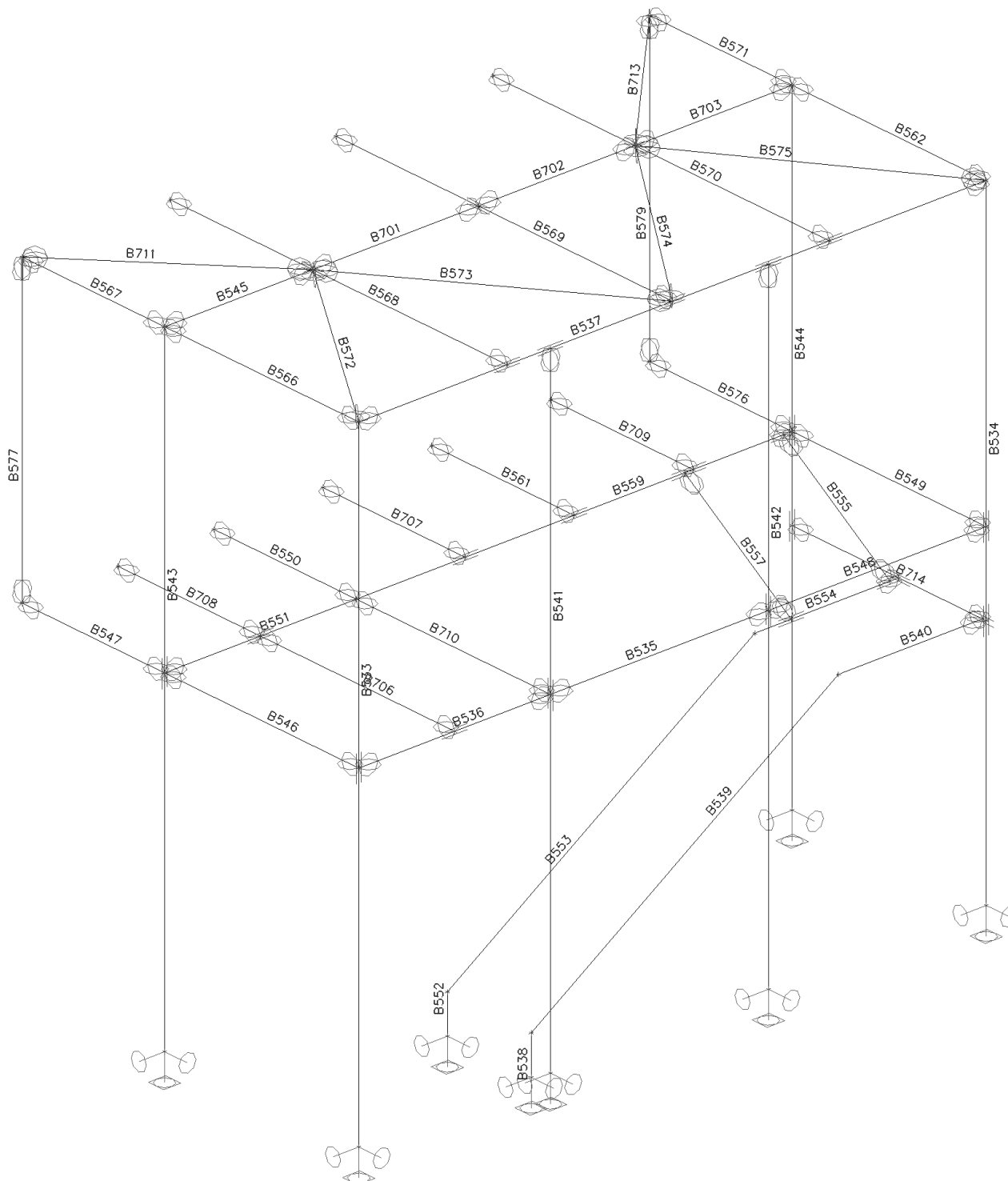
Posudek dřeva podle MSÚ

Nosník	Průřez	Materiál	dx [m]	Zatěžovací stav	Jedn. posudek [-]	Posudek v řezu [-]	Posudek stability [-]	CH/V/P
B622	CS20 - OBDEL	GL24h	1,822	MSÚ-B/1	<b>0,10</b>	0,10	0,10	-
B623	CS20 - OBDEL	GL24h	4,139	MSÚ-B/2	<b>0,32</b>	0,12	0,32	-
B624	CS20 - OBDEL	GL24h	1,822	MSÚ-B/3	<b>0,19</b>	0,19	0,19	-
B625	CS20 - OBDEL	GL24h	1,822	MSÚ-B/3	<b>0,19</b>	0,19	0,19	-
B626	CS20 - OBDEL	GL24h	1,822	MSÚ-B/1	<b>0,19</b>	0,19	0,19	-
B627	CS20 - OBDEL	GL24h	1,822	MSÚ-B/3	<b>0,19</b>	0,19	0,19	-
B628	CS20 - OBDEL	GL24h	1,822	MSÚ-B/3	<b>0,19</b>	0,19	0,19	-
B629	CS20 - OBDEL	GL24h	1,822	MSÚ-B/4	<b>0,19</b>	0,19	0,19	-
B630	CS20 - OBDEL	GL24h	1,822	MSÚ-B/3	<b>0,19</b>	0,19	0,19	-
B631	CS20 - OBDEL	GL24h	1,822	MSÚ-B/1	<b>0,19</b>	0,19	0,19	-
B632	CS20 - OBDEL	GL24h	1,822	MSÚ-B/3	<b>0,19</b>	0,19	0,19	-
B633	CS20 - OBDEL	GL24h	1,822	MSÚ-B/3	<b>0,19</b>	0,19	0,19	-
B634	CS20 - OBDEL	GL24h	4,139	MSÚ-B/2	<b>0,35</b>	0,12	0,35	-
B637	CS20 - OBDEL	GL24h	4,139	MSÚ-B/2	<b>0,36</b>	0,12	0,36	-
B638	CS20 - OBDEL	GL24h	1,822	MSÚ-B/1	<b>0,10</b>	0,10	0,10	-
B639	CS20 - OBDEL	GL24h	1,822	MSÚ-B/3	<b>0,28</b>	0,28	0,19	-
B640	CS20 - OBDEL	GL24h	1,822	MSÚ-B/3	<b>0,19</b>	0,19	0,19	-
B641	CS20 - OBDEL	GL24h	1,822	MSÚ-B/3	<b>0,19</b>	0,19	0,19	-
B642	CS20 - OBDEL	GL24h	1,822	MSÚ-B/1	<b>0,19</b>	0,19	0,19	-
B643	CS20 - OBDEL	GL24h	1,822	MSÚ-B/3	<b>0,19</b>	0,19	0,19	-
B644	CS20 - OBDEL	GL24h	1,822	MSÚ-B/3	<b>0,19</b>	0,19	0,19	-
B645	CS20 - OBDEL	GL24h	1,822	MSÚ-B/3	<b>0,20</b>	0,20	0,19	-
B646	CS20 - OBDEL	GL24h	1,822	MSÚ-B/3	<b>0,19</b>	0,19	0,19	-
B647	CS20 - OBDEL	GL24h	1,822	MSÚ-B/1	<b>0,19</b>	0,19	0,19	-
B648	CS20 - OBDEL	GL24h	1,822	MSÚ-B/4	<b>0,19</b>	0,19	0,19	-
B649	CS20 - OBDEL	GL24h	1,822	MSÚ-B/4	<b>0,19</b>	0,19	0,19	-
B650	CS20 - OBDEL	GL24h	1,822	MSÚ-B/2	<b>0,14</b>	0,09	0,14	-
B651	CS20 - OBDEL	GL24h	1,822	MSÚ-B/2	<b>0,14</b>	0,10	0,14	-
B652	CS20 - OBDEL	GL24h	1,822	MSÚ-B/1	<b>0,13</b>	0,13	0,11	-
B653	CS20 - OBDEL	GL24h	1,822	MSÚ-B/1	<b>0,19</b>	0,18	0,19	-
B654	CS20 - OBDEL	GL24h	1,822	MSÚ-B/3	<b>0,18</b>	0,18	0,18	-
B655	CS20 - OBDEL	GL24h	1,822	MSÚ-B/1	<b>0,13</b>	0,13	0,11	-
B656	CS20 - OBDEL	GL24h	2,217	MSÚ-B/4	<b>0,10</b>	0,05	0,10	-
B657	CS20 - OBDEL	GL24h	1,822	MSÚ-B/1	<b>0,13</b>	0,13	0,12	-
B658	CS20 - OBDEL	GL24h	1,822	MSÚ-B/4	<b>0,18</b>	0,18	0,17	-
B659	CS20 - OBDEL	GL24h	1,822	MSÚ-B/1	<b>0,18</b>	0,18	0,18	-
B660	CS20 - OBDEL	GL24h	1,822	MSÚ-B/1	<b>0,13</b>	0,13	0,11	-
B661	CS20 - OBDEL	GL24h	1,922	MSÚ-B/3	<b>0,03</b>	0,03	0,02	-
B663	CS20 - OBDEL	GL24h	1,922	MSÚ-B/3	<b>0,06</b>	0,06	0,06	-
B664	CS20 - OBDEL	GL24h	1,922	MSÚ-B/3	<b>0,06</b>	0,06	0,04	-
B665	CS20 - OBDEL	GL24h	1,922	MSÚ-B/3	<b>0,06</b>	0,06	0,04	-
B666	CS20 - OBDEL	GL24h	1,922	MSÚ-B/5	<b>0,06</b>	0,06	0,04	-

Nosník	Průřez	Materiál	dx [m]	Zatěžovací stav	Jedn. posudek [-]	Posudek v řezu [-]	Posudek stability [-]	CH/V/P
B667	CS20 - OBDEL	GL24h	1,922	MSÚ-B/5	<b>0,06</b>	0,06	0,04	-
B668	CS20 - OBDEL	GL24h	1,922	MSÚ-B/3	<b>0,06</b>	0,06	0,04	-
B669	CS20 - OBDEL	GL24h	1,922	MSÚ-B/3	<b>0,06</b>	0,06	0,04	-
B670	CS20 - OBDEL	GL24h	1,922	MSÚ-B/3	<b>0,06</b>	0,06	0,04	-
B671	CS20 - OBDEL	GL24h	1,922	MSÚ-B/5	<b>0,06</b>	0,06	0,04	-
B672	CS20 - OBDEL	GL24h	1,922	MSÚ-B/5	<b>0,05</b>	0,05	0,04	-
B673	CS20 - OBDEL	GL24h	1,922	MSÚ-B/4	<b>0,06</b>	0,06	0,04	-
B674	CS20 - OBDEL	GL24h	1,922	MSÚ-B/3	<b>0,06</b>	0,06	0,05	-
B675	CS20 - OBDEL	GL24h	1,922	MSÚ-B/3	<b>0,06</b>	0,06	0,04	-
B676	CS20 - OBDEL	GL24h	1,922	MSÚ-B/5	<b>0,05</b>	0,05	0,04	-
B677	CS20 - OBDEL	GL24h	1,922	MSÚ-B/5	<b>0,06</b>	0,06	0,04	-
B678	CS20 - OBDEL	GL24h	1,922	MSÚ-B/4	<b>0,06</b>	0,06	0,04	-
B679	CS20 - OBDEL	GL24h	1,922	MSÚ-B/4	<b>0,06</b>	0,06	0,04	-
B680	CS20 - OBDEL	GL24h	1,922	MSÚ-B/3	<b>0,06</b>	0,06	0,04	-
B681	CS20 - OBDEL	GL24h	1,922	MSÚ-B/3	<b>0,06</b>	0,06	0,04	-
B682	CS20 - OBDEL	GL24h	1,922	MSÚ-B/5	<b>0,06</b>	0,06	0,04	-
B683	CS20 - OBDEL	GL24h	1,922	MSÚ-B/5	<b>0,05</b>	0,05	0,04	-
B684	CS20 - OBDEL	GL24h	1,922	MSÚ-B/4	<b>0,06</b>	0,06	0,04	-
B685	CS20 - OBDEL	GL24h	1,922	MSÚ-B/3	<b>0,06</b>	0,06	0,05	-
B686	CS20 - OBDEL	GL24h	1,922	MSÚ-B/3	<b>0,06</b>	0,06	0,04	-
B687	CS20 - OBDEL	GL24h	1,922	MSÚ-B/5	<b>0,05</b>	0,05	0,04	-
B688	CS20 - OBDEL	GL24h	1,922	MSÚ-B/5	<b>0,06</b>	0,06	0,04	-
B689	CS20 - OBDEL	GL24h	1,922	MSÚ-B/4	<b>0,06</b>	0,06	0,04	-
B690	CS20 - OBDEL	GL24h	1,922	MSÚ-B/4	<b>0,06</b>	0,06	0,04	-
B691	CS20 - OBDEL	GL24h	1,922	MSÚ-B/3	<b>0,06</b>	0,06	0,04	-
B692	CS20 - OBDEL	GL24h	1,922	MSÚ-B/5	<b>0,06</b>	0,06	0,04	-
B693	CS20 - OBDEL	GL24h	1,922	MSÚ-B/5	<b>0,06</b>	0,06	0,04	-
B694	CS20 - OBDEL	GL24h	1,922	MSÚ-B/4	<b>0,06</b>	0,06	0,04	-
B695	CS20 - OBDEL	GL24h	1,922	MSÚ-B/4	<b>0,06</b>	0,06	0,04	-
B696	CS20 - OBDEL	GL24h	1,922	MSÚ-B/4	<b>0,06</b>	0,06	0,06	-
B697	CS20 - OBDEL	GL24h	1,922	MSÚ-B/4	<b>0,03</b>	0,03	0,02	-

## 15. Přístavba

### 15.1. Popis prutů



## 15.2. Prvky

Jméno	Průřez	Materiál	Délka [m]	Poč. uzel	Konc. uzel	Typ
B533	CS12 - HEB140	S 235	7,019	N369	N370	nosník (80)
B534	CS12 - HEB140	S 235	7,019	N371	N372	nosník (80)
B535	CS15 - IPE180	S 235	2,535	N373	N374	nosník (80)
B536	CS15 - IPE180	S 235	2,230	N373	N375	nosník (80)
B537	CS13 - HEA120	S 235	7,300	N369	N371	nosník (80)
B538	CS14 - 2U komora (U160)	S 235	0,429	N378	N376	nosník (80)
B539	CS14 - 2U komora (U160)	S 235	4,267	N379	N378	nosník (80)
B540	CS14 - 2U komora (U160)	S 235	1,674	N380	N379	nosník (80)
B541	CS23 - HEA160	S 235	7,019	N381	N382	nosník (80)
B542	CS23 - HEA160	S 235	7,019	N383	N384	nosník (80)
B543	CS12 - HEB140	S 235	7,019	N385	N386	nosník (80)
B544	CS12 - HEB140	S 235	7,019	N387	N388	nosník (80)
B545	CS7 - MSH70x70x4.0	S 235	1,725	N385	N412	nosník (80)
B546	CS15 - IPE180	S 235	2,550	N375	N395	nosník (80)
B547	CS15 - IPE180	S 235	1,870	N395	N390	nosník (80)
B548	CS15 - IPE180	S 235	2,535	N374	N391	nosník (80)
B549	CS15 - IPE180	S 235	2,550	N391	N400	nosník (80)
B550	CS22 - IPE140	S 235	1,870	N393	N394	nosník (80)
B551	CS16 - IPE300	S 355	2,230	N394	N395	nosník (80)
B552	CS14 - 2U komora (U160)	S 235	0,429	N396	N397	nosník (80)
B553	CS14 - 2U komora (U160)	S 235	4,267	N397	N398	nosník (80)
B554	CS14 - 2U komora (U160)	S 235	1,674	N398	N399	nosník (80)
B555	CS14 - 2U komora (U160)	S 235	1,670	N634	N635	nosník (80)
B557	CS14 - 2U komora (U160)	S 235	1,670	N402	N633	nosník (80)
B559	CS16 - IPE300	S 355	5,070	N400	N394	nosník (80)
B561	CS22 - IPE140	S 235	1,870	N405	N406	nosník (80)
B562	CS17 - IPE160	S 235	2,550	N371	N387	nosník (80)
B566	CS17 - IPE160	S 235	2,550	N369	N385	nosník (80)
B567	CS17 - IPE160	S 235	1,870	N385	N413	nosník (80)
B568	CS17 - IPE160	S 235	4,420	N411	N414	nosník (80)
B569	CS17 - IPE160	S 235	4,420	N409	N415	nosník (80)
B570	CS17 - IPE160	S 235	4,420	N407	N416	nosník (80)
B571	CS17 - IPE160	S 235	1,870	N387	N417	nosník (80)
B572	CS7 - MSH70x70x4.0	S 235	3,079	N369	N412	nosník (80)
B573	CS7 - MSH70x70x4.0	S 235	3,195	N412	N409	nosník (80)
B574	CS7 - MSH70x70x4.0	S 235	3,136	N409	N408	nosník (80)
B575	CS7 - MSH70x70x4.0	S 235	3,136	N408	N371	nosník (80)
B576	CS15 - IPE180	S 235	1,870	N400	N418	nosník (80)
B577	CS13 - HEA120	S 235	3,352	N390	N413	nosník (80)
B579	CS13 - HEA120	S 235	3,352	N418	N417	nosník (80)
B701	CS7 - MSH70x70x4.0	S 235	1,925	N412	N625	nosník (80)
B702	CS7 - MSH70x70x4.0	S 235	1,825	N625	N408	nosník (80)
B703	CS7 - MSH70x70x4.0	S 235	1,825	N408	N387	nosník (80)
B706	CS15 - IPE180	S 235	2,550	N626	N627	nosník (80)
B707	CS22 - IPE140	S 235	1,870	N628	N629	nosník (80)
B708	CS22 - IPE140	S 235	1,870	N627	N630	nosník (80)
B709	CS22 - IPE140	S 235	1,870	N403	N631	nosník (80)
B710	CS16 - IPE300	S 355	2,550	N394	N373	nosník (80)
B711	CS7 - MSH70x70x4.0	S 235	2,544	N413	N412	nosník (80)
B713	CS7 - MSH70x70x4.0	S 235	2,613	N408	N417	nosník (80)
B714	CS14 - 2U komora (U160)	S 235	2,550	N401	N632	nosník (80)

## 15.3. Posudek ocelových prvků na MSÚ EC-EN 1993

Lineární výpočet

Kombinace: MSÚ-B

Souřadný systém: Hlavní

Extrém 1D: Dílec

Výběr: Pojmenovaný výběr - přístavba

**Celkový posudek**

Jméno	dx [m]	Stav	Průřez	Materiál	UC <sub>Celkový</sub> [-]	UC <sub>Průřez</sub> [-]	UC <sub>Stabilita</sub> [-]
B533	3,352-	MSÚ-B/1	CS12 - HEB140	S 235	<b>0,21</b>	0,21	0,13
B534	7,019	MSÚ-B/2	CS12 - HEB140	S 235	<b>0,40</b>	0,06	0,40
B535	0,000	MSÚ-B/3	CS15 - IPE180	S 235	<b>0,03</b>	0,03	0,00
B536	1,115-	MSÚ-B/4	CS15 - IPE180	S 235	<b>0,20</b>	0,20	0,00
B537	4,765+	MSÚ-B/5	CS13 - HEA120	S 235	<b>0,29</b>	0,29	0,00
B538	0,000	MSÚ-B/6	CS14 - 2U komora	S 235	<b>0,14</b>	0,14	0,09
B539	1,422	MSÚ-B/4	CS14 - 2U komora	S 235	<b>0,51</b>	0,51	0,43
B540	1,674	MSÚ-B/4	CS14 - 2U komora	S 235	<b>0,42</b>	0,42	0,33
B541	7,019	MSÚ-B/2	CS23 - HEA160	S 235	<b>0,24</b>	0,06	0,24
B542	7,019	MSÚ-B/6	CS23 - HEA160	S 235	<b>0,55</b>	0,08	0,55
B543	7,019	MSÚ-B/7	CS12 - HEB140	S 235	<b>0,18</b>	0,09	0,18
B544	7,019	MSÚ-B/2	CS12 - HEB140	S 235	<b>0,25</b>	0,10	0,25
B545	0,000	MSÚ-B/3	CS7 - MSH70x70x4.0	S 235	<b>0,04</b>	0,04	0,00
B546	1,275-	MSÚ-B/8	CS15 - IPE180	S 235	<b>0,12</b>	0,12	0,11
B547	0,935-	MSÚ-B/8	CS15 - IPE180	S 235	<b>0,06</b>	0,06	0,06
B548	0,000	MSÚ-B/3	CS15 - IPE180	S 235	<b>0,03</b>	0,03	0,00
B549	0,000	MSÚ-B/9	CS15 - IPE180	S 235	<b>0,02</b>	0,01	0,02
B550	0,935-	MSÚ-B/8	CS22 - IPE140	S 235	<b>0,24</b>	0,24	0,24
B551	1,115+	MSÚ-B/4	CS16 - IPE300	S 355	<b>0,40</b>	0,23	0,40
B552	0,429	MSÚ-B/2	CS14 - 2U komora	S 235	<b>0,23</b>	0,23	0,14
B553	2,845	MSÚ-B/4	CS14 - 2U komora	S 235	<b>0,41</b>	0,41	0,35
B554	0,212+	MSÚ-B/4	CS14 - 2U komora	S 235	<b>0,32</b>	0,32	0,20
B555	0,835-	MSÚ-B/10	CS14 - 2U komora	S 235	<b>0,11</b>	0,11	0,00
B557	0,000	MSÚ-B/2	CS14 - 2U komora	S 235	<b>0,10</b>	0,10	0,01
B559	1,250-	MSÚ-B/6	CS16 - IPE300	S 355	<b>0,37</b>	0,15	0,37
B561	0,935-	MSÚ-B/10	CS22 - IPE140	S 235	<b>0,27</b>	0,27	0,00
B562	1,275-	MSÚ-B/11	CS17 - IPE160	S 235	<b>0,05</b>	0,04	0,05
B566	1,275-	MSÚ-B/11	CS17 - IPE160	S 235	<b>0,05</b>	0,04	0,05
B567	0,935-	MSÚ-B/11	CS17 - IPE160	S 235	<b>0,04</b>	0,02	0,04
B568	2,186	MSÚ-B/11	CS17 - IPE160	S 235	<b>0,27</b>	0,27	0,00
B569	2,186	MSÚ-B/11	CS17 - IPE160	S 235	<b>0,26</b>	0,26	0,25
B570	2,186	MSÚ-B/11	CS17 - IPE160	S 235	<b>0,26</b>	0,26	0,00
B571	0,935-	MSÚ-B/11	CS17 - IPE160	S 235	<b>0,03</b>	0,02	0,03
B572	0,000	MSÚ-B/11	CS7 - MSH70x70x4.0	S 235	<b>0,04</b>	0,04	0,00
B573	0,000	MSÚ-B/12	CS7 - MSH70x70x4.0	S 235	<b>0,05</b>	0,05	0,00
B574	1,568-	MSÚ-B/13	CS7 - MSH70x70x4.0	S 235	<b>0,04</b>	0,02	0,04
B575	0,000	MSÚ-B/14	CS7 - MSH70x70x4.0	S 235	<b>0,03</b>	0,03	0,00
B576	0,935-	MSÚ-B/8	CS15 - IPE180	S 235	<b>0,06</b>	0,06	0,06
B577	0,000	MSÚ-B/15	CS13 - HEA120	S 235	<b>0,23</b>	0,02	0,23
B579	0,000	MSÚ-B/9	CS13 - HEA120	S 235	<b>0,08</b>	0,02	0,08
B701	0,000	MSÚ-B/11	CS7 - MSH70x70x4.0	S 235	<b>0,06</b>	0,06	0,00
B702	0,000	MSÚ-B/11	CS7 - MSH70x70x4.0	S 235	<b>0,06</b>	0,06	0,00
B703	0,000	MSÚ-B/16	CS7 - MSH70x70x4.0	S 235	<b>0,01</b>	0,01	0,00
B706	1,275-	MSÚ-B/17	CS15 - IPE180	S 235	<b>0,23</b>	0,23	0,22
B707	0,935-	MSÚ-B/8	CS22 - IPE140	S 235	<b>0,26</b>	0,26	0,25
B708	0,935-	MSÚ-B/17	CS22 - IPE140	S 235	<b>0,23</b>	0,23	0,22
B709	0,935-	MSÚ-B/2	CS22 - IPE140	S 235	<b>0,26</b>	0,26	0,25
B710	1,275-	MSÚ-B/18	CS16 - IPE300	S 355	<b>0,03</b>	0,02	0,03



Jméno	dx [m]	Stav	Průřez	Materiál	UC <sub>Celkový</sub> [-]	UC <sub>Průřez</sub> [-]	UC <sub>Stabilita</sub> [-]
B711	0,000	MSÚ-B/19	CS7 - MSH70x70x4.0	S 235	<b>0,08</b>	0,08	0,00
B713	0,000	MSÚ-B/11	CS7 - MSH70x70x4.0	S 235	<b>0,05</b>	0,05	0,00
B714	1,150-	MSÚ-B/2	CS14 - 2U komora	S 235	<b>0,56</b>	0,56	0,00

#### 15.4. Požární odolnost ocelových prvků EC-EN 1993 - 15 minut

Lineární výpočet

Kombinace: POŽÁR

Souřadný systém: Hlavní

Extrém 1D: Dílec

Výběr: Pojmenovaný výběr - přístavba

**Celkový posudek**

Jméno	dx [m]	Stav	Průřez	Materiál	UC <sub>Celkový</sub> [-]	UC <sub>Teplota</sub> [-]	UC <sub>Průřez</sub> [-]	UC <sub>Stabilita</sub> [-]	Kritická tepl. [°C]
B533	3,352+	POŽÁR/1	CS12 - HEB140	S 235	<b>0,89</b>	0,89	0,50	1,00	675,68
B534	4,263+	POŽÁR/1	CS12 - HEB140	S 235	<b>0,98</b>	0,98	0,53	1,00	613,46
B535	1,267-	POŽÁR/2	CS15 - IPE180	S 235	<b>0,61</b>	0,61	0,97	0,42	1117,03
B536	1,115-	POŽÁR/3	CS15 - IPE180	S 235	<b>0,95</b>	0,95	0,73	1,00	719,47
B537	4,765+	POŽÁR/3	CS13 - HEA120	S 235	<b>0,77</b>	0,77	0,62	1,00	853,14
B538	0,000	POŽÁR/1	CS14 - 2U komora	S 235	<b>0,70</b>	0,70	1,00	0,86	864,67
B539	1,422	POŽÁR/3	CS14 - 2U komora	S 235	<b>0,93</b>	0,93	1,00	0,99	650,33
B540	1,674	POŽÁR/3	CS14 - 2U komora	S 235	<b>0,89</b>	0,89	1,00	0,92	680,29
B541	3,352+	POŽÁR/1	CS23 - HEA160	S 235	<b>0,90</b>	0,90	0,57	1,00	712,56
B542	3,352+	POŽÁR/1	CS23 - HEA160	S 235	<b>0,94</b>	0,94	0,50	1,00	683,75
B543	6,286	POŽÁR/4	CS12 - HEB140	S 235	<b>0,80</b>	0,80	0,40	1,00	752,89
B544	4,263+	POŽÁR/1	CS12 - HEB140	S 235	<b>0,86</b>	0,86	0,27	0,99	696,43
B545	0,000	POŽÁR/2	CS7 - MSH70x70x4.0	S 235	<b>0,64</b>	0,64	0,99	0,00	1090,53
B546	1,275-	POŽÁR/4	CS15 - IPE180	S 235	<b>0,97</b>	0,97	0,38	1,00	702,19
B547	0,935-	POŽÁR/4	CS15 - IPE180	S 235	<b>0,79</b>	0,79	0,59	1,00	862,36
B548	1,267-	POŽÁR/2	CS15 - IPE180	S 235	<b>0,62</b>	0,62	0,93	0,35	1099,75
B549	1,275-	POŽÁR/4	CS15 - IPE180	S 235	<b>0,62</b>	0,62	0,24	0,99	1096,29
B550	0,935-	POŽÁR/4	CS22 - IPE140	S 235	<b>0,98</b>	0,98	0,83	1,00	710,25
B551	0,000	POŽÁR/3	CS16 - IPE300	S 355	<b>0,96</b>	0,96	0,84	1,00	669,92
B552	0,429	POŽÁR/1	CS14 - 2U komora	S 235	<b>0,80</b>	0,80	1,00	0,87	760,96
B553	2,845	POŽÁR/3	CS14 - 2U komora	S 235	<b>0,90</b>	0,90	0,98	0,99	671,07
B554	0,424-	POŽÁR/3	CS14 - 2U komora	S 235	<b>0,87</b>	0,87	0,99	0,89	699,88
B555	0,835-	POŽÁR/1	CS14 - 2U komora	S 235	<b>0,71</b>	0,71	0,99	0,66	851,99
B557	0,000	POŽÁR/1	CS14 - 2U komora	S 235	<b>0,68</b>	0,68	0,99	0,07	885,41
B559	3,802+	POŽÁR/3	CS16 - IPE300	S 355	<b>0,95</b>	0,95	0,94	1,00	679,14
B561	0,935-	POŽÁR/3	CS22 - IPE140	S 235	<b>1,00</b>	1,00	0,84	0,99	696,43
B562	1,275-	POŽÁR/5	CS17 - IPE160	S 235	<b>0,76</b>	0,76	0,31	1,00	903,85
B566	1,275-	POŽÁR/5	CS17 - IPE160	S 235	<b>0,75</b>	0,75	0,32	1,00	919,98
B567	0,935-	POŽÁR/5	CS17 - IPE160	S 235	<b>0,66</b>	0,66	0,30	1,00	1040,98
B568	2,550-	POŽÁR/5	CS17 - IPE160	S 235	<b>0,89</b>	0,89	0,84	1,00	775,94
B569	2,186	POŽÁR/5	CS17 - IPE160	S 235	<b>0,90</b>	0,90	0,72	1,00	769,02
B570	2,550-	POŽÁR/5	CS17 - IPE160	S 235	<b>0,89</b>	0,89	0,83	1,00	775,94
B571	0,935-	POŽÁR/5	CS17 - IPE160	S 235	<b>0,66</b>	0,66	0,31	1,00	1037,52
B572	1,539-	POŽÁR/5	CS7 - MSH70x70x4.0	S 235	<b>0,67</b>	0,67	1,00	0,00	1055,96
B573	1,598-	POŽÁR/3	CS7 - MSH70x70x4.0	S 235	<b>0,71</b>	0,71	0,99	0,00	994,88

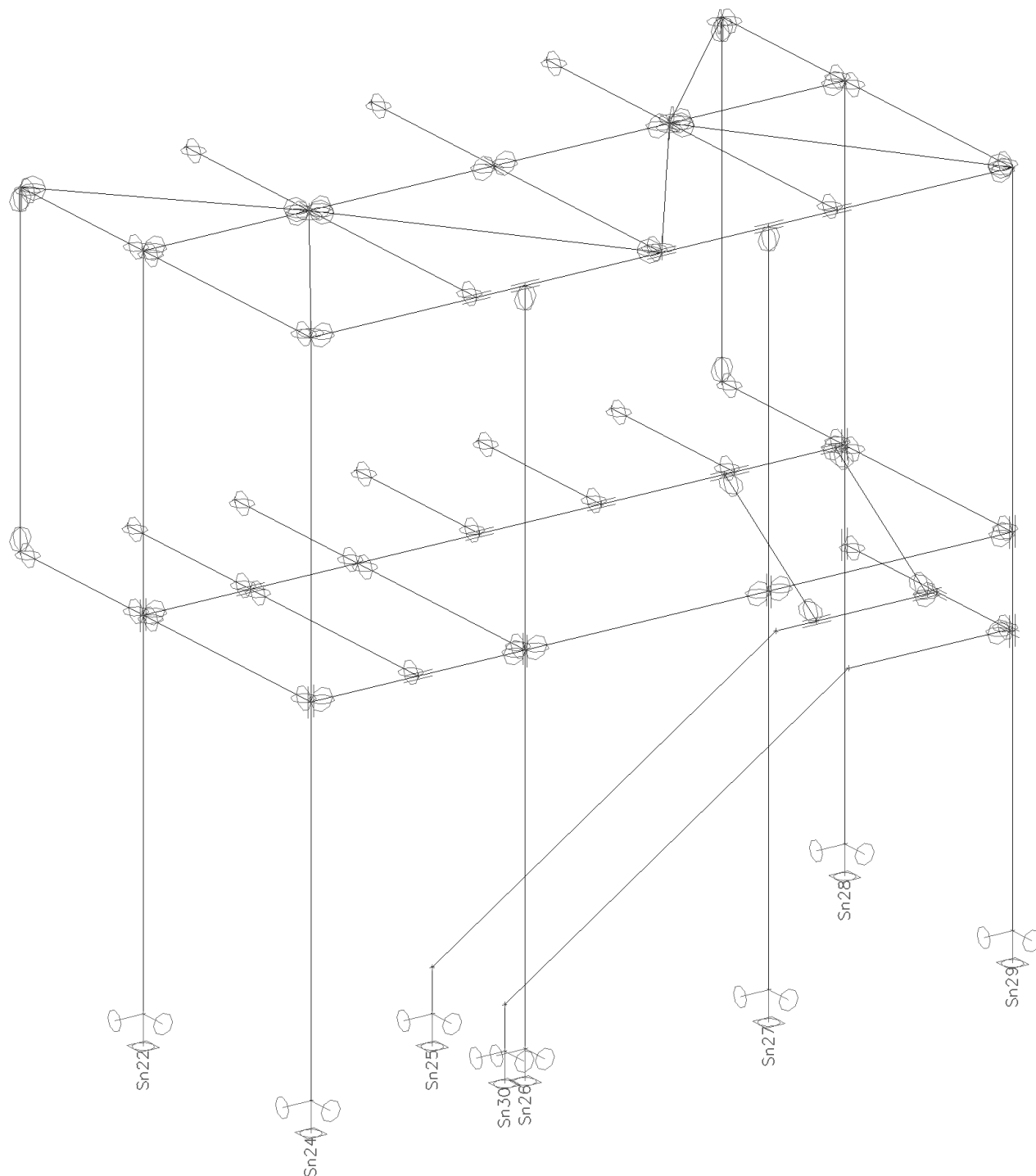
Jméno	dx [m]	Stav	Průřez	Materiál	UC <sub>Celkový</sub> [-]	UC <sub>Teplota</sub> [-]	UC <sub>Průřez</sub> [-]	UC <sub>Stabilita</sub> [-]	Kritická tepl. [°C]
B574	1,568-	POŽÁR/6	CS7 - MSH70x70x4.0	S 235	<b>0,76</b>	0,76	0,30	1,00	925,74
B575	1,568-	POŽÁR/5	CS7 - MSH70x70x4.0	S 235	<b>0,68</b>	0,68	0,98	0,00	1038,67
B576	0,935-	POŽÁR/1	CS15 - IPE180	S 235	<b>0,80</b>	0,80	0,60	1,00	860,06
B577	1,117	POŽÁR/6	CS13 - HEA120	S 235	<b>0,76</b>	0,76	0,31	0,99	870,43
B579	1,117	POŽÁR/4	CS13 - HEA120	S 235	<b>0,62</b>	0,62	0,31	0,99	1061,72
B701	0,962-	POŽÁR/5	CS7 - MSH70x70x4.0	S 235	<b>0,68</b>	0,68	0,99	0,00	1038,67
B702	0,912-	POŽÁR/5	CS7 - MSH70x70x4.0	S 235	<b>0,68</b>	0,68	0,98	0,00	1040,98
B703	0,913-	POŽÁR/7	CS7 - MSH70x70x4.0	S 235	<b>0,62</b>	0,62	0,46	0,98	1137,77
B706	1,275-	POŽÁR/3	CS15 - IPE180	S 235	<b>0,95</b>	0,95	0,83	1,00	722,93
B707	0,935-	POŽÁR/3	CS22 - IPE140	S 235	<b>0,99</b>	0,99	0,84	1,00	702,19
B708	0,935-	POŽÁR/3	CS22 - IPE140	S 235	<b>0,96</b>	0,96	0,82	1,00	720,63
B709	0,935-	POŽÁR/1	CS22 - IPE140	S 235	<b>1,00</b>	1,00	0,80	1,00	696,43
B710	1,275-	POŽÁR/4	CS16 - IPE300	S 355	<b>0,61</b>	0,61	0,56	0,99	1057,11
B711	1,272-	POŽÁR/5	CS7 - MSH70x70x4.0	S 235	<b>0,77</b>	0,77	0,99	0,00	909,61
B713	1,306-	POŽÁR/5	CS7 - MSH70x70x4.0	S 235	<b>0,67</b>	0,67	1,00	0,00	1057,11
B714	1,150-	POŽÁR/1	CS14 - 2U komora	S 235	<b>0,97</b>	0,97	1,00	0,84	627,29

Jméno	Klíč kombinace
POŽÁR/1	vl.tíha + užitné + stálé + 0.20*VPŘ4
POŽÁR/2	vl.tíha + užitné + stálé + 0.20*VPO2
POŽÁR/3	vl.tíha + užitné + stálé + 0.20*VPŘ2
POŽÁR/4	vl.tíha + užitné + stálé + 0.20*VPO1
POŽÁR/5	vl.tíha + 0.20*sníhC + užitné + stálé
POŽÁR/6	vl.tíha + 0.20*VPŘ1 + užitné + stálé
POŽÁR/7	vl.tíha + užitné + stálé + 0.20*VPŘ3



## 16. REAKCE

### 16.1. Popis podpor



## 16.2. Podpory v uzlech

Jméno	Uzel	Systém	Typ	X	Y	Z	Rx	Ry	Rz
Sn22	N386	GSS	Standard	Tuhý	Tuhý	Tuhý	Volný	Volný	Tuhý
Sn24	N370	GSS	Standard	Tuhý	Tuhý	Tuhý	Volný	Volný	Tuhý
Sn25	N396	GSS	Standard	Tuhý	Tuhý	Tuhý	Volný	Volný	Tuhý
Sn26	N382	GSS	Standard	Tuhý	Tuhý	Tuhý	Volný	Volný	Tuhý
Sn27	N384	GSS	Standard	Tuhý	Tuhý	Tuhý	Volný	Volný	Tuhý
Sn28	N388	GSS	Standard	Tuhý	Tuhý	Tuhý	Volný	Volný	Tuhý
Sn29	N372	GSS	Standard	Tuhý	Tuhý	Tuhý	Volný	Volný	Tuhý
Sn30	N376	GSS	Standard	Tuhý	Tuhý	Tuhý	Volný	Volný	Tuhý

## 16.3. Reakce

Lineární výpočet, Extrém : Uzel

Výběr : Pojmenovaný výběr - podpory

Kombinace : MSÚ-B

Podpora	Stav	Rx [kN]	Ry [kN]	Rz [kN]
Sn22/N386	MSÚ-B/1	<b>-1,37</b>	0,24	78,34
Sn22/N386	MSÚ-B/2	<b>5,01</b>	-0,08	66,95
Sn22/N386	MSÚ-B/3	4,99	<b>-0,09</b>	78,08
Sn22/N386	MSÚ-B/4	-1,35	<b>0,25</b>	67,21
Sn22/N386	MSÚ-B/5	5,00	-0,09	<b>66,94</b>
Sn22/N386	MSÚ-B/6	1,26	-0,02	<b>95,36</b>
Sn24/N370	MSÚ-B/1	<b>-3,72</b>	2,68	42,57
Sn24/N370	MSÚ-B/2	<b>0,75</b>	-1,28	<b>36,21</b>
Sn24/N370	MSÚ-B/3	0,42	<b>-1,28</b>	42,53
Sn24/N370	MSÚ-B/4	-3,39	<b>2,68</b>	36,26
Sn24/N370	MSÚ-B/6	-2,19	0,31	<b>52,78</b>
Sn25/N396	MSÚ-B/7	<b>10,52</b>	0,22	<b>23,67</b>
Sn25/N396	MSÚ-B/8	<b>23,23</b>	0,39	<b>37,60</b>
Sn25/N396	MSÚ-B/2	14,51	<b>0,11</b>	26,14
Sn25/N396	MSÚ-B/9	21,93	<b>0,44</b>	33,35
Sn26/N382	MSÚ-B/8	<b>-1,29</b>	3,43	55,08
Sn26/N382	MSÚ-B/7	<b>-0,78</b>	5,79	35,24
Sn26/N382	MSÚ-B/5	-0,84	<b>-2,74</b>	32,98
Sn26/N382	MSÚ-B/10	-0,92	<b>5,80</b>	43,58
Sn26/N382	MSÚ-B/2	-0,83	-2,74	<b>32,98</b>
Sn26/N382	MSÚ-B/6	-1,19	0,68	<b>58,68</b>
Sn27/N384	MSÚ-B/8	<b>-1,30</b>	8,21	42,46

Podpora	Stav	Rx [kN]	Ry [kN]	Rz [kN]
Sn27/N384	MSÚ-B/7	<b>-0,78</b>	13,69	27,27
Sn27/N384	MSÚ-B/11	-0,98	<b>-6,79</b>	30,64
Sn27/N384	MSÚ-B/12	-1,02	<b>13,69</b>	25,94
Sn27/N384	MSÚ-B/2	-0,84	-6,79	<b>23,32</b>
Sn27/N384	MSÚ-B/6	-1,20	1,75	<b>47,33</b>
Sn28/N388	MSÚ-B/3	<b>-5,68</b>	-0,63	85,00
Sn28/N388	MSÚ-B/12	<b>-0,35</b>	-0,04	71,46
Sn28/N388	MSÚ-B/13	-4,05	<b>-0,66</b>	100,62
Sn28/N388	MSÚ-B/14	-0,42	<b>-0,04</b>	72,27
Sn28/N388	MSÚ-B/15	-0,41	-0,04	<b>71,44</b>
Sn28/N388	MSÚ-B/6	-2,44	-0,53	<b>103,43</b>
Sn29/N372	MSÚ-B/3	<b>-7,93</b>	-1,74	56,77
Sn29/N372	MSÚ-B/7	<b>-3,81</b>	1,97	53,55
Sn29/N372	MSÚ-B/16	-7,90	<b>-1,74</b>	56,10
Sn29/N372	MSÚ-B/14	-4,83	<b>2,21</b>	44,08
Sn29/N372	MSÚ-B/15	-4,81	2,21	<b>43,40</b>
Sn29/N372	MSÚ-B/17	-5,80	0,87	<b>70,90</b>
Sn30/N376	MSÚ-B/7	<b>-0,90</b>	0,11	<b>16,92</b>
Sn30/N376	MSÚ-B/9	<b>13,76</b>	0,11	27,19
Sn30/N376	MSÚ-B/2	5,33	<b>0,05</b>	20,19
Sn30/N376	MSÚ-B/10	0,00	<b>0,12</b>	19,96
Sn30/N376	MSÚ-B/8	12,15	0,12	<b>29,86</b>

## 17. KOTVENÍ



### Profis Anchor 2.8.6

www.hilti.com

Společnost: Ing. Jan Budil  
Projektant:  
Adresa:  
Telefon / fax:  
E-mail: budil@jbstatika.cz

Strana: 1  
Projekt:  
Dílčí projekt / pozice č.:  
Datum: 21.01.2020

#### Komentář uživatele:

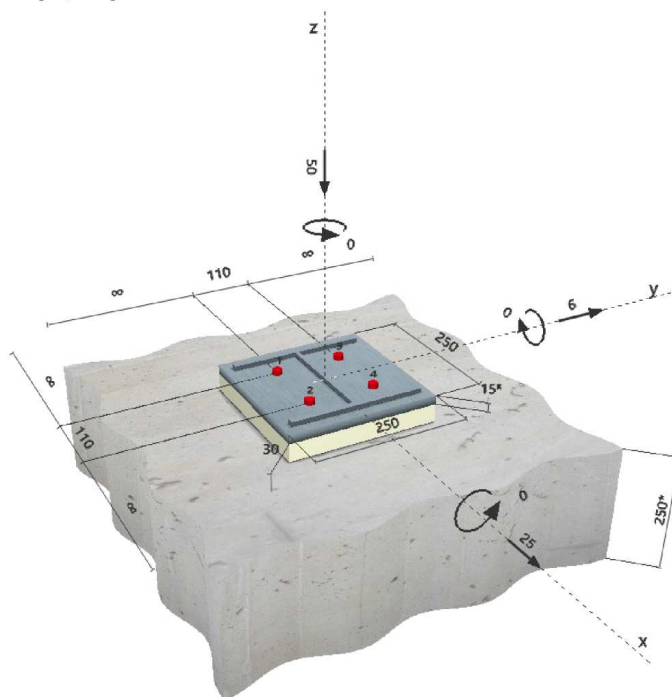
### 1 Vstupní data

Typ a velikost kotvy:	HIT-HY 200-A + HAS-U 8.8 M16
Období návratu (životnost v letech):	50
Efektivní kotvení hloubka:	$h_{ef,act} = 200 \text{ mm}$ ( $h_{ef,limit} = - \text{mm}$ )
Materiál:	8.8
Certifikát č.:	ETA 11/0493
Vydání / Platný:	30.08.2019   -
Posouzení:	Návrhová metoda ETAG BOND (EOTA TR 029)
Distanční montáž:	bez upnutí (kotva); stupeň zadržení (kotevní deska): 2,00; $e_b = 30 \text{ mm}$ ; $t = 15 \text{ mm}$ Hilti malta: , víceúčelová, $f_{c,Grout} = 30,00 \text{ N/mm}^2$
Kotevní deska:	$l_x \times l_y \times t = 250 \text{ mm} \times 250 \text{ mm} \times 15 \text{ mm}$ ; (Doporučená tloušťka kotevní desky: nepočítána)
Profil:	IPBI/HEA profil, IPBI 220 / HE 220 A; ( $V \times \bar{S} \times T \times T$ ) = $210 \text{ mm} \times 220 \text{ mm} \times 7 \text{ mm} \times 11 \text{ mm}$
Základní materiál:	s trhlinami beton, C20/25, $f_{c,cube} = 25,00 \text{ N/mm}^2$ ; $h = 250 \text{ mm}$ , teplota krátkodobá/dlouhodobá: 40/24 °C
Montáž:	<b>kotevní otvor vrtaný přiklepem, montážní podmínky: suché</b>
Výztuž:	Žádná výztuž nebo osová vzdálenost výztuže $\geq 150 \text{ mm}$ (jakýkoliv $\emptyset$ ) nebo $\geq 100 \text{ mm}$ ( $\emptyset \leq 10 \text{ mm}$ ) Žádná podélná výztuž okraje



R - Uživatel je odpovědný za zajištění pevné patní desky pro zadanou tloušťku a příslušná řešení (výztuže atd.)

#### Geometrie [mm] & Zatížení [kN, kNm]



Je potřebné zkontrolovat shodu vstupních údajů se skutečnými podmínkami a přijatelnost výsledků.  
PROFIS Anchor (c) 2003-2009 Hilti AG, FL-9494 Schaan Hilti je registrovaná obchodní značka společnosti Hilti AG, Schaan



www.hilti.com

Profis Anchor 2.8.6

Společnost: Ing. Jan Budil  
Projektant:  
Adresa:  
Telefon I fax:  
E-mail: budil@jbstatika.cz

Strana: 2  
Projekt:  
Dílní projekt / pozice č.:  
Datum: 21.01.2020

## 2 Posouzení I Využití (Rozhodující stavy)

		Výpočtové hodnoty [kN]		Využití		
Zatížení	Posouzení	Zatížení	Únosnost	$\beta_N / \beta_V$ [%]	Stav	
Tah	-	-	-	- / -	-	
Smyk	Porušení oceli (s distanční montáží)	6,427	9,368	- / 69	OK	
Zatížení		$\beta_N$	$\beta_V$	$\alpha$	Využití $\beta_{N,V}$ [%]	Stav
Kombinace zatížení tah/smyk		-	-	-	-	-

## 3 Upozornění

- Prosím berte v úvahu všechny detaily a připomínky/varování uvedené v podrobném protokolu!

**Upevnění je bezpečné!**

## 4 Poznámky, požadavky na vaši kooperaci

- Veškeré informace a data obsažená v Softwaru se týkají výhradně použití výrobků Hilti a vycházejí ze zásad, předpisů a bezpečnostních nařízení v souladu s technickými směrnicemi a provozními, montážními a instalačními pokyny společnosti Hilti, jimiž se uživatel musí striktně řídit. Veškerá čísla obsažená v Softwaru představují průměrné hodnoty, a proto je před použitím příslušného výrobku Hilti nutno provést testy pro jeho konkrétní použití. Výsledky výpočtů provedených pomocí Softwaru vycházejí především z vami zadaných dat. Nesete proto výhradní odpovědnost za bezchybnost, úplnost a relevantnost zadávaných dat. Mimoto nesete výhradní odpovědnost za kontrolu výsledků vzešlých z výpočtů a za to, že si tyto výsledky před jejich použitím pro konkrétní zařízení necháte ověřit a schválit od odborníka, zejména co se týče souladu s příslušnými normami a povoleními. Software slouží pouze jako pomůcka pro interpretaci norem a povolení bez jakékoli záruky ohledně bezchybnosti, přesnosti a relevantnosti výsledků nebo vhodnosti pro konkrétní použití.
- Abyste předešli škodám, které by Software mohl způsobit, nebo omezili jejich rozsah, musíte přijmout veškerá nutná a přiměřená opatření. Obzvláště je třeba pravidelně zálohovat programy a data a v případě potřeby provádět aktualizace Softwaru, které společnost Hilti pravidelně nabízí. Nepoužíváte-li funkci AutoUpdate, která je součástí Softwaru, je nutné zajistit aktuálnost vami používané verze Softwaru ručními aktualizacemi prostřednictvím internetových stránek společnosti Hilti. Společnost Hilti nenese žádnou zodpovědnost za důsledky vzešlé z vami zaviněného porušení povinností, jako je například nutnost obnovy ztracených či poškozených dat nebo programů.



## Profis Anchor 2.8.6

www.hilti.com

Společnost: Ing. Jan Budil  
Projektant:  
Adresa:  
Telefon I fax:  
E-mail: budil@jbstatika.cz

Strana: 1  
Projekt:  
Dílčí projekt / pozice č.:  
Datum: 21.01.2020

### Komentář uživatele:

## 1 Vstupní data

### Typ a velikost kotvy:

HIT-HY 200-A + HAS-U 8.8 M16

Období návratu (životnost v letech):

50

Efektivní kotvení hloubka:

$h_{ef,act} = 200 \text{ mm}$  ( $h_{ef,limit} = - \text{mm}$ )

Materiál:

8.8

Certifikát č.:

ETA 11/0493

Vydání I Platný:

30.08.2019 | -

Posouzení:

Návrhová metoda ETAG BOND (EOTA TR 029)

Distanční montáž:

bez upnutí (kotva); stupeň zadržení (kotevní deska): 2,00;  $e_b = 30 \text{ mm}$ ;  $t = 15 \text{ mm}$

Kotevní deska:

Hilti malta: , víceúčelová,  $f_{c,Grout} = 30,00 \text{ N/mm}^2$

$I_x \times I_y \times t = 160 \text{ mm} \times 190 \text{ mm} \times 15 \text{ mm}$ ; (Doporučená tloušťka kotevní desky: nepočítána

Profil:

IPB/HEB profil, IPB 140 / HE 140 B; ( $V \times \bar{S} \times T \times T$ ) =  $140 \text{ mm} \times 140 \text{ mm} \times 7 \text{ mm} \times 12 \text{ mm}$

Základní materiál:

s trhlinami beton, C20/25,  $f_{c,cube} = 25,00 \text{ N/mm}^2$ ;  $h = 250 \text{ mm}$ , teplota krátkodobá/dlouhodobá: 40/24 °C

Montáž:

kotevní otvor vrtaný příklepem, montážní podmínky: suché

Výztuž:

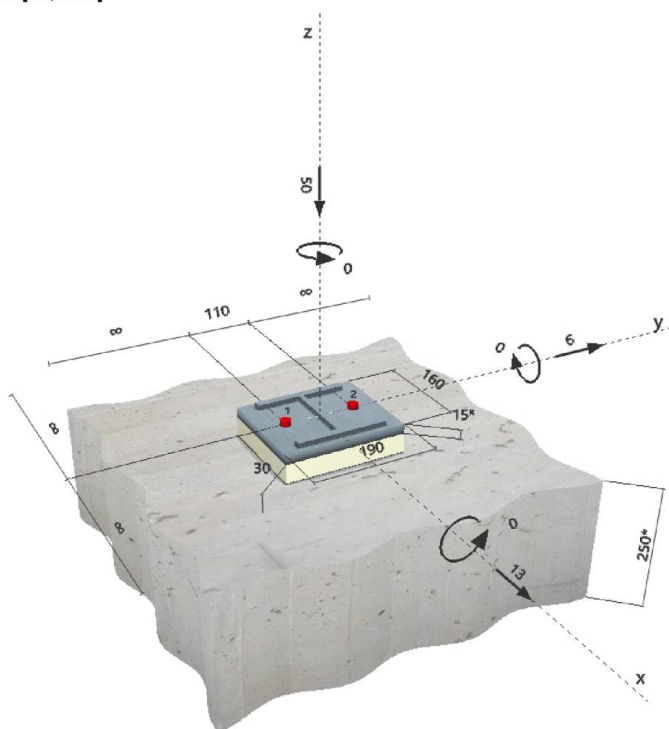
Žádná výztuž nebo osová vzdálenost výztuže  $\geq 150 \text{ mm}$  (jakýkoliv  $\emptyset$ ) nebo  $\geq 100 \text{ mm}$  ( $\emptyset \leq 10 \text{ mm}$ )

Žádná podélná výztuž okraje



<sup>R</sup> - Uživatel je odpovědný za zajištění pevné patní desky pro zadanou tloušťku a příslušná řešení (výztuže atd.)

### Geometrie [mm] & Zatížení [kN, kNm]





www.hilti.com

Profis Anchor 2.8.6

Společnost: Ing. Jan Budil  
Projektant:  
Adresa:  
Telefon I fax:  
E-mail: budil@jbstatika.cz

Strana: 2  
Projekt:  
Dílní projekt / pozice č.:  
Datum: 21.01.2020

## 2 Posouzení I Využití (Rozhodující stavy)

		Výpočtové hodnoty [kN]		Využití		
Zatížení	Posouzení	Zatížení	Únosnost	$\beta_N / \beta_V$ [%]	Stav	
Tah	-	-	-	- / -	-	
Smyk	Porušení oceli (s distanční montáží)	7,159	9,368	- / 77	OK	
Zatížení		$\beta_N$	$\beta_V$	$\alpha$	Využití $\beta_{N,V}$ [%]	Stav
Kombinace zatížení tah/smyk		-	-	-	-	-

## 3 Upozornění

- Prosím berte v úvahu všechny detaily a připomínky/varování uvedené v podrobném protokolu!

## Upevnění je bezpečné!

## 4 Poznámky, požadavky na vaší kooperaci

- Veškeré informace a data obsažená v Softwaru se týkají výhradně použití výrobků Hilti a vycházejí ze zásad, předpisů a bezpečnostních nařízení v souladu s technickými směrnici a provozními, montážními a instalačními pokyny společnosti Hilti, jimiž se uživatel musí striktně řídit. Veškerá čísla obsažená v Softwaru představují průměrné hodnoty, a proto je před použitím příslušného výrobku Hilti nutno provést testy pro jeho konkrétní použití. Výsledky výpočtů provedených pomocí Softwaru vycházejí především z vami zadaných dat. Nesete proto výhradní odpovědnost za bezchybnost, úplnost a relevantnost zadávaných dat. Mimoto nesete výhradní odpovědnost za kontrolu výsledků vzešlých z výpočtů a za to, že si tyto výsledky před jejich použitím pro konkrétní zařízení necháte ověřit a schválit od odborníka, zejména co se týče souladu s příslušnými normami a povoleními. Software slouží pouze jako pomůcka pro interpretaci norem a povolení bez jakékoli záruky ohledně bezchybnosti, přesnosti a relevantnosti výsledků nebo vhodnosti pro konkrétní použití.
- Abyste předešli škodám, které by Software mohl způsobit, nebo omezili jejich rozsah, musíte přijmout veškerá nutná a přiměřená opatření. Obzvláště je třeba pravidelně zálohovat programy a data a v případě potřeby provádět aktualizace Softwaru, které společnost Hilti pravidelně nabízí. Nepoužíváte-li funkci AutoUpdate, která je součástí Softwaru, je nutné zajistit aktuálnost vami používané verze Softwaru ručními aktualizacemi prostřednictvím internetových stránek společnosti Hilti. Společnost Hilti nenese žádnou zodpovědnost za důsledky vzešlé z vami zaviněného porušení povinností, jako je například nutnost obnovy ztracených či poškozených dat nebo programů.



## 18. ZÁKLAD - PŘÍSTAVBA

Ing. Jan Budil

VD HNĚVKOVICE  
Základový pas - PŘÍSTAVBA

### Posouzení plošného základu

#### Vstupní data

##### Nastavení

(zadané pro aktuální úlohu)

##### Materiály a normy

Betonové konstrukce : EN 1992-1-1 (EC2)  
Součinitele EN 1992-1-1 : standardní

##### Sedání

Metoda výpočtu : ČSN 73 1001 (Výpočet pomocí edometrického modulu)  
Omezení deformační zóny : procentem Sigma, Or  
Koef. omezení deformační zóny : 10,0 [%]

##### Patky

Výpočet pro odvodněné podmínky : EC 7-1 (EN 1997-1:2003)  
Posouzení tažené patky : standardní postup  
Dovolená excentricita : 0,333  
Metodika posouzení : výpočet podle EN1997  
Návrhový přístup : 2 - redukce zatížení a odporu

Součinitele redukce zatížení (F)			
Trvalá návrhová situace			
		Nepříznivé	Příznivé
Stálé zatížení :	$\gamma_G =$	1,35 [-]	1,00 [-]

Součinitele redukce odporu (R)			
Trvalá návrhová situace			
Součinitel redukce svislé únosnosti :	$\gamma_{Rvs} =$	1,40 [-]	
Součinitel redukce vodorovné únosnosti :	$\gamma_{Rhs} =$	1,10 [-]	

##### Parametry zemín

##### Třída S3, ulehla

Objemová tíha :  $\gamma = 17,50 \text{ kN/m}^3$   
Úhel vnitřního tření :  $\varphi_{ef} = 31,50^\circ$   
Soudržnost zeminy :  $c_{ef} = 0,00 \text{ kPa}$   
Edometrický modul :  $E_{oed} = 28,50 \text{ MPa}$   
Obj.tíha sat.zeminy :  $\gamma_{sat} = 18,50 \text{ kN/m}^3$

##### Založení

##### Typ základu: základový pas

Hloubka od původního terénu  $h_z = 1,75 \text{ m}$   
Hloubka základové spáry  $d = 1,75 \text{ m}$   
Tloušťka základu  $t = 1,50 \text{ m}$   
Sklon upraveného terénu  $s_1 = 0,00^\circ$   
Sklon základové spáry  $s_2 = 0,00^\circ$   
Objemová tíha zeminy nad základem = 20,00 kN/m<sup>3</sup>

##### Geometrie konstrukce

##### Typ základu: základový pas

Celková délka pasu = 2,00 m  
Šířka pasu (x) = 0,60 m  
Šířka sloupu ve směru x = 0,14 m  
Objem pasu = 0,90 m<sup>3</sup>/m

Zadané zatížení je uvažováno na 1bm délky pasu.



Ing. Jan Budil

VD HNĚVKOVICE  
Základový pas - PŘÍSTAVBA

### Materiál konstrukce

Objemová tíha  $\gamma = 23,00 \text{ kN/m}^3$

Výpočet betonových konstrukcí proveden podle normy EN 1992-1-1 (EC2).

#### Beton : C 25/30

Válcová pevnost v tlaku  $f_{ck} = 25,00 \text{ MPa}$

Pevnost v tahu  $f_{ctm} = 2,60 \text{ MPa}$

Modul pružnosti  $E_{cm} = 31000,00 \text{ MPa}$

#### Ocel podélná : B500

Mez kluzu  $f_{yk} = 500,00 \text{ MPa}$

#### Ocel příčná: B500

Mez kluzu  $f_{yk} = 500,00 \text{ MPa}$

### Posouzení čís. 1

Výpočet proveden s automatickým výběrem nejnepříznivějších zatěžovacích stavů.

Spočtená vlastní tíha pasu  $G = 27,95 \text{ kN/m}$

Spočtená tíha nadloží  $Z = 3,10 \text{ kN/m}$

### Posouzení svislé únosnosti

Tvar kontaktního napětí : obdélník

Nejnepříznivější zatěžovací stav číslo 1. (Zatížení č. 2)

Parametry smykové plochy pod základem:

Hloubka smykové plochy  $z_{sp} = 1,00 \text{ m}$

Dosah smykové plochy  $l_{sp} = 3,10 \text{ m}$

Výpočtová únosnost zákl. půdy  $R_d = 611,11 \text{ kPa}$

Extrémní kontaktní napětí  $\sigma = 241,43 \text{ kPa}$

### Svislá únosnost VYHOVUJE

### Posouzení excentricity zatížení

Max. excentricita ve směru délky patky  $e_x = 0,040 < 0,333$

Max. excentricita ve směru šířky patky  $e_y = 0,000 < 0,333$

Max. prostorová excentricita  $e_t = 0,040 < 0,333$

### Excentricita zatížení základu VYHOVUJE

### Posouzení vodorovné únosnosti

Nejnepříznivější zatěžovací stav číslo 1. (Zatížení č. 2)

Zemní odpor: klidový

Výpočtová velikost zemního odporu  $S_{pd} = 7,52 \text{ kN}$

Horizontální únosnost základu  $R_{dh} = 77,03 \text{ kN}$

Extrémní horizontální síla  $H = 2,00 \text{ kN}$

### Vodorovná únosnost VYHOVUJE

### Únosnost základu VYHOVUJE

### Posouzení čís. 1

#### Sednutí a natočení základu - vstupní data

Výpočet proveden s automatickým výběrem nejnepříznivějších zatěžovacích stavů.

Výpočet proveden s uvažováním koeficientu  $\kappa_1$  (vliv hloubky založení).

Napětí v základové spáře uvažováno od upraveného terénu.

Spočtená vlastní tíha pasu  $G = 20,70 \text{ kN/m}$

Ing. Jan Budil

VD HNĚVKOVICE  
Základový pas - PŘÍSTAVBA

Spočtená tíha nadloží  $Z = 2,30 \text{ kN/m}$

Sednutí středu délkové hrany  $= 1,7 \text{ mm}$

Sednutí středu šířkové hrany 1  $= 2,4 \text{ mm}$

Sednutí středu šířkové hrany 2  $= 2,1 \text{ mm}$

(1-hrana max.tlačená; 2-hrana min.tlačená)

#### Sednutí a natočení základu - výsledky

##### Tuhost základu:

Spočtený vážený průměrný modul přetvárnosti  $E_{\text{def}} = 21,17 \text{ MPa}$

Základ je ve směru délky tuhý ( $k=22878,71$ )

Základ je ve směru šířky tuhý ( $k=4941,80$ )

##### Posouzení excentricity zatížení

Max. excentricita ve směru délky patky  $e_x = 0,038 < 0,333$

Max. excentricita ve směru šířky patky  $e_y = 0,000 < 0,333$

Max. prostorová excentricita  $e_t = 0,038 < 0,333$

##### Excentricita zatížení základu VYHOVUJE

##### Celkové sednutí a natočení základu:

Sednutí základu  $= 2,3 \text{ mm}$

Hloubka deformační zóny  $= 2,27 \text{ m}$

Natočení ve směru šířky  $= 0,509 \text{ (tan}^{\circ}1000)$ ;  $(2,9\text{E-}02^{\circ})$

## 19. Závěr

Navržená ocelová konstrukce nástavby a přístavby VD Hněvkovice při daném zatížení a při dodržení konstrukčních zásad a statických předpokladů (jakost materiálu, statické schéma, dimenze profilů, navržené detaily apod.) **VYHOVUJE** na mezní stav únosnosti a použitelnosti.

Konstrukce splňuje požadavek na požární odolnost 15 minut bez dalších protipožárních opatření (nátěr, obklad apod.).

Založení objektu přístavby je navrženo plošné na žlb. základových pasech. Pro návrh založení byl použit IGP z původní dokumentace - Technická zpráva arch. číslo 02 674 86 1 příl.1 Rdt=0,3MPa. Před započítím stavebních prací je nutné ověřit základové poměry v místě stavby a pokud budou zjištěny rozdíly oproti předpokladu, musí být základové konstrukce předimenzovány.

**Únosnost stávající žlb. prefa konstrukce a její zesílení je řešeno v samostatné části stavebně konstrukčního řešení.**

**NEDÍLNOU SOUČÁSTÍ STATICKÉHO VÝPOČTU JE TECHNICKÁ ZPRÁVA A VÝKRESOVÁ DOKUMENTACE.**